

се сжатия её внутренней части. Вокруг Курбатовского массива видно как бы раздвигание древней складчатой структуры и её приспособление к очертаниям массива.

В зоне Верхне-Тильмского антиклинария расположена система складок его ядра и Кудалинская синклиналь. Проявление здесь регионального рассланцевания отмечали В.А.Яковлев (Яковлев, 1947) и М.Н.Петрусеевич (1957), выделившие на месте нынешней чильчинской свиты тольку очковых гнейсов и милонитов. Позже М.Д.Крылова (Крылова, 1965) описала эти породы под названием узловатых гнейсов. Юго-восточная часть зоны отделена от Средне-Тильмской полосы долгоживущими тыгукитскими разломами, наиболее ранние движение по которому сопровождались образованием бластомилонитов, таких же, как и в Тукуринтской зоне; бластомилониты падают к юго-западу под углами 40–60°. В северо-западной части зона ограничена нечетко. Вдоль левобережья р.Зимы выделяется её внешняя часть шириной до 3 км, в которой расланцевание проявлено слабо и неравномерно. Отдельные полосы неравномерного, реже общего рассланцевания, вытянуты вдоль контактов механически тетеротенных пачек, встречаются также на некотором удалении от внешней части зоны в Средне-Тильмской полосе. В большей части зоны преобладает общее рассланцевание. Лишь участками, преимущественно в северной части района, сохраняются реликты неизмененных пород.

Вторичные деформации особенно воздействовали на глинистые гнейсы чильчинской свиты. Значительная часть этих пород подверглась разлинованию. Линзы, размером 0,5–2 см в поперечнике, имеют существенно кварцево-полевошпатовый состав, уплощены параллельно сланцевости и облекаются более мелкозернистым следистым субстратом. Вследствие неравномерного проявления вторичных дифференциальных движений в гнейсах часто наблюдаются фрагменты ненарушенной полос-

частости, по ориентировке которых можно уверенно определять истинное залегание пород. В таких местах видно, что гнейсы первоначально представляли собой лентовидные милониты; разлинованию подверглись полоски метатекта. Местами породы также тонкорассланцованны. Вторичное сжатие сопровождалось развитием клинажа осевой плоскости.

Совокупность первичных и вторичных деформаций обуславливает очень сложный облик складчатой структуры в гнейсах чильчинской свиты. В береговых обрывах р.Гилья между устьями рр.Сиваги (верхней) и Джалы антиклиналь второго порядка имеет следующее строение. Ядро её представляет собой систему прямых или слабо наклонных складок, шириной 1–3 км, образованных разлинованными и очковыми портфиробластическими гнейсами. Своды антиклинальных складок пологие, относительно плавные, а падение крыльев крутое, до вертикального. Ядра синклинальных складок сжаты. В крыле антиклинали наблюдается система опрокинутых складок, в крыльях которых проявлено рассланцевание и разлинование, а в приосевых частях развит клинаж, обусловливший стебельчатую текстуру гнейсов. Иногда в сводах антиклинальных структур отмечается листархоничные сильно сжатые трёхневидные осложнения. В структуре, в поле развития чильчинской свиты, четко обособлены брахиформные складки, отличающиеся гораздо более сложной морфологией, чем складки в полосе первичной складчатости. В обнажениях по долине р.Пилья часто наблюдаются купола шириной до нескольких километров, имеющие пологие своды и крутие, иногда опрокинутые крылья. Крупные брахиформные структуры фиксируются также на правобережье р.Джалынты, в верховых рр.Шыкака, Тыгукита и в других местах. В крыльях этих складок гнейсы особенно сильно разлинованы, а в ядрах куполов проявлены порфиробластическая фельдшпатизация или окварцевание.

Ширина складок, образованных рассланцеванными гнейсами, обычно

составляет десятки метров и больше. На их фоне всегда сохраняются реликты первичных мелких складок и плюек, разбитых сланцеватостью, наклонных и асимметричных на крыльях крупных складок и прямых и почти симметричных в ядрах этих складок. Шарниры первичных складок и вторичная линейность субпараллелены. Эти особенности свидетельствуют об унаследованном характере преобразования складчатой структуры. Крупные деформированные складки образуют изгибы от меридионального направления к широтному (рис.4), что говорит о неповсеместном совпадении направлений первичного и вторичного сжатия. Будучи интенсивно перемятыми, породы чильчинской свиты в целом залегают относительно полого, что объясняет весьма значительную ширину их выхода.

Нейсы щелочноzemельного ряда, состоящие джигалинскую свиту, гораздо меньше затронуты наложенными деформациями. Общее расщепление (раззинование) прослеживается в них обычно на расстояние нескольких сотен метров от контакта с чильчинской свитой, затем становится более слабым и участками неравномерным. В ядре Кудулинской синклинали, сложенной породами джигалинской свиты, вторичное складкообразование выражено слабо. Рассланцевание здесь связано, видимо, с общей плавной деформацией складки, выражавшейся в её некотором сжатии, изгибе шарнира и, возможно, в запрокидывании северо-восточного крыла.

Внутри ядра Верхне-Лилейского антиклинария разрывы, синхронные с наложенной складчатостью, распространены мало. Они представлены небольшими внутриформационными срывами, контролируемыми маломощными зонами бластомилонитов. В ядре Кудулинской синклинали таким срывам приурочены тела метасоматических тринитов (Mg-Pt_1). Наложенные деформации в антиклинарии привели к усложнению морфологии первичных складок и изгибам их осевых плоскостей. Рост кудулинской свите сопровождался растяжением (раз-

динованием) пород, указывает на то, что эти породы, будучи более пластичными, испытывали автономное выступление. Можно полагать, что если Тукуринская зона представляла собой ложе древнего прогиба, то зона ядра антиклинария являлась смежной областью поднятия. О синхронности движений в этих зонах свидетельствует сходство наложенных дислокаций и сопровождавшего их метаморфизма.

Движение мезозойской тектонической актилизации выражались в интенсивных блоковых перемещениях, которым сопутствовали проявления математизма и вулканизма. Разломы контролируются катаклизмами, претерпевшими местами гидротермальные изменения. Северо-западное, северо-восточное и субширотное простирации разломов подчинены анизотропии ранее сформированной структуры. Крупные разрывы прослеживаются на 60-70 км и сопровождаются зонами катаклаза шириной 200-300 м. Активизация подверглись также древние разломы. Наиболее интенсивные многократные движения происходили по Тыгукитскому разлому, вдоль которого проявлялись последовательно донтирузийский катаклаз, интрузия гранитоидов, постинтрузийный катаклаз, внедрение лав и последийский катаклаз. Ширина зоны катаклаза вдоль этого разлома достигает 0,7-1 км. Падает она почти вертикально. Северо-восточный блок взображен на Г-Г₁,5 км. Кругопадающие зоны катаклаза часто наблюдаются вдоль древних разломов Тукуринской зоны, где они рассекают граниты Курбатовского массива. К востоку от Тукуринской зоны мезозойские разрывы, проходящие между низьями рр. Канлы и Лежелулы, явно наследуют древнее широтное структурное направление. Плоскости смещений подавляющего большинства крупных разрывов мезозойского возраста падают под углами 60-90°. Движения по разломам были, по меньшей мере, трехкратными. Ранние борозды скольжения залегают почти вертикально (преимущественно это сбросы), последние наклонно и почти горизонтально (сбросо-сквиги, свиты), а последнейшие снова

субвертикально. Системы борозд совместно наблюдались в зонах разломов, локализованных среди протерозойских образований. В мезозойских интрузиях фиксируются лишь поздние сбросы. Сдвиги, особенно часто встречающиеся вдоль поперечных северо-восточных нарушений, видимо, связаны со становлением массивов раннемеловых гранитоидов, как бы разливавших при своем внедрении породы рамы. В ядре антиклиниория, особенно вблизи Штыкманского массива, в гнейсах часто наблюдаются также пологопадающие и горизонтальные зеркала скольжения, вдоль которых породы подверглись сильной хлоритизации. В мезозойских гранитах подобных зеркал нет. Возникшие в процессе тектонического сжатия, эти зеркала, скорее всего, связаны со сдвигом поднятием ядра антиклиниория, причем Штыкманский массив был, видимо, приурочен к расколу свода.

Важную роль своеобразного барьера в процессе мезозойских движений играл Тыгукитский разлом, смыкаясь с которым, многие поперечные нарушения затухают или сменяют амплитуды перемещений. К юго-западу от разлома, в бассейнах рек Джалтулы, Сивагли, Курбатового, Атагана фиксируется система сближенных нарушений северо-восточного направления. Многие из них являются сдвигами и смещают отдельные блоки Курбатовского массива на 2–3 км. Северо-западнее Тыгукитского разлома большая часть этих нарушений затухает. Такое же влияние разлома оказывал и на крупные северо-восточные разрывы, проходящие через низовья р.Штыкака, ограничивая их с юго-запада. Некоторые нарушения северо-восточного простирации смещают Тыгукитский разлом.

Мезозойские разрывы ограничивают сложную систему горстов и грабенов, перемещенных относительно друг друга на расстояния до нескольких сотен метров. К системе Джалтуланско-Сиваглинского грабена присоединены раннемеловые осадочно-эфузивные образования, наблюдавшиеся в низовьях рр.Джалтулы, Сивагли, Курбатого, Дерпуга. Отделенные блоки

ограничены здесь нарушениями северо-западного и северо-восточного, реже широтного направления. Толща раннемеловых пород залегает полого, спокойно, местами даже горизонтально, однако, возле разломов слой задраны и падают под углами 30–50°, простираясь параллельно линиям тектонических нарушений. Внутри толщи наблюдается множество разрывов, контролируемых катаклазитами и зеркалами скольжения. Плоскости сместителей и борозды скольжения падают под углами 60–90°. Выходы толщи располагаются в виде цепочки широтного направления. Пространственно они тянутся к полю распространения меловых интрузий, и, скорее всего, вместе с ними являются производными единого вулканоплатонического цикла. Наличие углистых остатков в составе отложений указывает на континентальные условия их накопления.

История геологического развития территории в общих чертах представляется следующей. В раннем протерозое район испытал геосинклинальное развитие, выразившееся в накоплении мощных существенно терригенных (гнейсы) и отчасти вулканогенных (амфиболиты) отложений, складчатости, региональном прогрессивном метаморфизме и ультраметаморфизме, интрузиях основного и ультрасосновного состава (Майско-Джалгинский комплекс), а затем среднего и кислого состава (древнетанновый комплекс). После консолидации первичной структуры в протерозое произошла значительная тектоническая активизация, связанная с геосинклинальным развитием Усть-Гилийской серии. В это время южная часть района (Ткурингская зона) являлась областью прогиба, а северо-западная (зона ядра Верхне-Гилийского антиклиниория) областью поднятия.

Движение в этот период сопровождалось наложенной складчатостью, региональным регressiveным метаморфизмом в условиях эпилот-амфиболовой фации и становлением гранитоидов позднестанового и марагайского комплексов. Примерно со середины протерозоя и до середины мезозоя район находился в стадии платформенного развития и преобладающего проявления

процессов денудации. В мезозое район вновь испытал блоково-сводовые движения, сопровождавшиеся матманизом и вулканизмом.

ГЕОМОРФОЛОГИЯ

Территория листа представляет собой неравномерно расчлененное низкогорье. Широкие водоразделы отличаются уплощенными поверхностями и ступенчатыми (ярусными) строением склонов, что может указывать на возникновение низкогорья в результате элайротических движений на месте бывшей здесь ранее равнины. Движения эти были постепенно, судя по возрасту аллювиальных отложений соктаханской синты, встречающихся на водоразделе хр. Тукуринги (Заморуев, 1963).

Современный рельеф представляет собой сочетание генетически однородных наклонных эрозионно-денудационных и денудационно-эрозионных, субгоризонтальных денудационных и эрозионно-аккумулятивных поверхностей. По особенностям сочетания генетически однородных поверхностей выделяются участки глубоко расчлененного и слабо расчлененного рельефа.

Низкогорный глубоко расчлененный рельеф развит в южной части района, на побережье р. Мал. Джелтулака (до устья р. Алакингы), в бассейнах рр. Кавли, Талги и Бол. Мотоктака, вдоль узкой прибрежной полосы левобережья р. Гилля, ограниченной Тыгукитским разломом. Абсолютные высоты водоразделов здесь в среднем 750–800 м (до 977 м), относительные превышения 400–500 м. Плоские или слабо всхолмленные денудационные поверхности водоразделов имеют ширину 300–1000 м. Они покрыты чехлом элювия, среди которого изредка возвышаются скальные останцы. Склоны гор преимущественно круты, местами до 40°, покрыты каменистыми осадками. На абсолютных высотах 650–700 м относительно хорошо сохраняются пелименты шириной до 400 м. Гипсометрически ниже ступенчатость склонов выражена слабо. Крутизна склонов обычно увеличивается к подножиям, имеющим выпуклые очертания.

Долины мелких рек, как правило, U-образной поперечной формы.

Поперечные профили долин крупных рек (Гилля, Кавли, Тыгукита) ящи-ко- или корытообразные. Ширина днищ долин этих рек достигает 1 км.

Река Гилль здесь находится в стадии преобладающей глубинной эрозии. Долина её сравнительно узка и образует приоткрытые излучины (зрезанные меандры). Врез гилльской долины здесь достигает 250–300 м.

В этой долине хорошо выражена лишь верхнечетвертичная терраса высотой 7–10 м и шириной местами до 1 км. Реликты среднечетвертичной террасы, шириной до 100–200 м, расположаются на высоте 30–50 м, а третья, в основном, эрозионная терраса условно раннечетвертичного возраста имеет высоту 100–150 м. Небольшие притоки р. Гилля образовали в низовьях узкие глубоко врезанные долины со значительно наклонными тальвегами. В среднем течении долины расширяются, а продольные профили выплюкиваются. Мелкие водотоки (например, руч. Грудновский) часто имеют эзисичие долины и водопадами стекают в р. Гилль.

Низкогорный слабо расчлененный рельеф развит северо-восточнее Тыгукитского разлома и на клиноидном участке, охватывающем бассейны рр. Акмачи, Акталяка и среднее течение р. Мал. Джелтулака. Абсолютные высоты здесь почти такие же как на крутосклонном низкогорье, но высокие вершины (г. Мал. Янкан, 956 м) встречаются редко и в виде останцов возвышаются над более низким рельефом. Относительные высоты водоразделов не более 400 м, в среднем 200–300 м. Реликтовые денудационные поверхности, шириной до 1 км, развиты на высотах 700–800 м. Склоны гор отличаются вогнутым профилем, южные склоны всегда пологи северных. На южных склонах господствуют плоскостной смыг и солифлюкция, на северных основными агентами денудации являются морозное выветривание и гравитационный снос. У подножий склонов часто встречаются пелименты. Особенно значительной шириной, до 4–8 км, они достигают в верховых Амунакты, Сивагли, Колбачи и Шыккак, представляя собой

почти горизонтальные, часто заболоченные поверхности, на которых развит остроногий мелкосопочник.

Гидросеть в этом типе рельефа зрелая. Речные долины обычно пологосклонные, нередко асимметричные, что является следствием преобладающего развития боковой эрозии, широкие днища их заняты комплексом низких пойменных и надпойменных аккумулятивных террас. Русла рек меандрируют, изобилуют протоками. Река Гилы течет здесь в выработанной долине, днище которой имеет ширину 2-4 км, лишь местами сузяясь до 1-1,5 км, и состоит из двух пойм и четырех террас. Здесь различаются низкая и высокая (до 4 м) пойма (Q_{1u}), две низкие аккумулятивные террасы (Q_{1l}) высотой 5-7 м, отделенные небольшим уступом и изобилиующие старичными озерами, четко выраженная дюнальная терраса (Q_{1l}) высотой 15-20 м и высокая (50-60 м) терраса (Q_2), общично переколящая в поверхность педилюнции. Такой же комплекс террас имеется в долинах крупных притоков р.Гилы, где наиболее четко выражена раннечетвертичная терраса, прослеживающаяся далеко вверх по долинам и занимает основные части их днищ.

Гидросеть слабо расчлененного низкогорья развивается неравномерно. В междууречье около большой излучины р.Гилы перепад уровня базиса эрозии (около 200 м) обуславливает различную интенсивность вреза и отступающей эрозии притоков, текущих к северу и югу. Более энергично развивающиеся реки Агалан, Тыгукит и Олонгро называют отступление главного водораздела междууречья к северу и, соответственно, отмирание рек Шыкжака и Джалингры. Значительная ширина долин последних не гармонирует с небольшими размерами текущих по ним рек. Пологие верховья их долин обычно плавно вписываются в широкие седловины водораздела и затем превращаются более глубокими врезами Агалана и Олонгро. Местами водораздел счищается и верховья рек почти смыкаются по системам переключенных и отмерших склоновых долин. Особенно четко

реликтовая долина прослеживается вдоль смыкающихся широких верховьев рек Дергутка, Амунакты, Колбычи, Липлака и Джалингры, где местами сохраняются песчаные отложения, сходные с отложениями наиболее высокой террасы р.Гилы. Вероятно, в нижнем плейстоцене здесь проходила древняя долина р.Гилы, впоследствии перехваченная притоками протекавшей выше р.Тынды. Свообразно развивалась река Мал.Джелтулак, которая на протяжении всего плейстоцена почти непрерывно отступала к северу, впреки правилу Бара-Бабинз, подмывая левый берег. В результате этого она выработала асимметричную долину с очень пологим террасированным правым склоном. Такое развитие реки связано с положением её в крыле склонового поднятия хребта Тукуринты, с которого река в периоды поднятий как бы стачивалась. Об этом, в частности, свидетельствует большая синклинированность и заметный уклон ($3-6^\circ$) поверхности высоких террас р.Мал.Джелтулака.

Анализ особенностей рельефа позволяет сделать следующие выводы. Максимум поднятия района, судя по эрозионному врезу (до 300-400 м), приходится на неогеново-нижечетвертичное время. Поднятие, видимо, имело волновой характер, с наибольшими величинами в хр.Тукуринты и междууречье большой излучины р.Гилы, где абсолютные отметки наибольшие. К концу раннего плейстоцена рельеф стабилизировался, гидросеть достигла зрелости, о чем свидетельствуют наличие песков в поймах рек и врезанные меандры р.Гилы. В среднем плейстоцене район яновъ испытал циклические поднятия, относительно интенсивные лишь на участках современного глубоко расчлененного рельефа, где гидросеть находилась в стадии преобладающей глубинной эрозии (эрозия меандров). Во второй половине позднего плейстоцена поднятие прекратилось и в долинах рек происходила аккумуляция аллювия. Климат был не только более теплым, чем ныне (произрастали дуб и яблоня), но и более засушливым, обусловливавшим большую водообильность рек. В современную эпоху

район находится в стадии медленного высыпания; эрозионный врез не превышает мощности нижнечетвертичного аллювия. Поэтому в участках долин, не подвергающихся отступающей эрозии, выявленной местными перепадами базисов, происходит отложение аллювия.

Охарактеризованные особенности формирования рельефа способствовали образованию аллювиальных россыпей. Наиболее благоприятные условия для этого создавались в слабо расчлененном рельефе, где можно ожидать развитие нижнечетвертичных (?) террасовых и потребленных, среднечетвертичных террасовых, верхнечетвертичных долинных и террасовых и современных русловых и косовых россыпей. В условиях глубоко расчлененного рельефа могут иметь значение лишь для последних типа россыпей, так как остальные, в основном, уничтожены последующей эрозией.

ПОЛЕЗНЫЕ ИСКОПАЕМЫЕ

Российские месторождения золота и Курбатовское проявление свинцовых руд известны в районе в дореволюционные годы. В настоящее время к их списку добавлены рудопроявления железа, титана, меди, молибдена, золота, ниобия, редких земель, графита, мусковита, листена.

МЕТАЛЛИЧЕСКИЕ ПОЛЕЗНЫЕ ИСКОПАЕМЫЕ

Ч е р н ы е м е т а л ы

М а г н е т и т о в ы е р у д ы представлены магнетитовыми кварцитами, образующими линзовидные залежи в гнейсах Дмитриевской сопки. Они встречаются в верхнем и среднем течении р.Гилы (Г3, 43), в долине р.Салмокита (37) и в бассейне р.Бол.Могохтака (61). Мощность тел не превышает 25 м, длина 0,5-0,7 км. Содержание железа в рудах 20-46,2%. Над телами фиксируются незначительные локальные аномалии напряженности магнитного поля. Практического значения явления не имеют.

Т и т а н . Рудопроявление титана (19) открыто на правобережье

руч.Оларинского, в его верхнем течении. Оно приурочено к телу таб-брю-амфиболитов размером 0,5x2 км. В Южном контакте тела, в пологе шириной около 50 м амфиболиты сильно рассланцованны, хлоритизированы и пронизаны сетью кварцево-карбонатных прожилков с рутилом и ильменитом. Содержание титана в породах, обогащенных этими минералами, достигает 2-3%. Специальное рудопроявление не изучалось.

Рутил и ильменит постоянно встречаются в тяжелой фракции аллювиальных отложений района. Повышенная, но неравномерная концентрация этих минералов (до 1174 г/куб.м) наблюдалась в аллювии бассейна р.Штыкака (Шеболдасов, 1960).

Ц в е т н ы е м е т а л ы

М е д ь . Проявления меди обнаружены в долине р.Гилы в 2 км ниже устья р.Редильяна (6) и в 4 км ниже устья р.Дерлуга (29). Минерализация приурочена к зонам катаклаза мирины, соответственно, 30 и 3 м.

В них отмечаются редкие прожилки и линзы кварцево-карбонатного сос-тава, мощностью до 10 см, содержащие гнесда халькопирита, пирита, прореж галенита. Содержание меди в прожилках 0,3-2%, в околососудистых пространствах до 0,05%. В бассейне среднего течения р.Мал.Лхелтулака, по результатам донного опробования, выделен солевой ореол рассеяния меди (40). Площадь ореола около 154 кв.км. Содержание меди в пробах 0,003-0,005%, при фоне 0,001%. Вероятно, в ореоле могут быть найдены мелкие рудопроявления, приуроченные к зонам катаклаза. Все эти рудопроявления меди не имеют самостоятельного значения и являются спутниками более широко проявленной сульфидной полиметаллической минерализации.

С з и н е ц . Непрорыленное месторождение свинца Курбатовское (23) расположено в пойме руч.Курбатого в 3,5 км выше его устья. Оно находится в северной части Курбатовского массива гранитов вблизи выхода раннекемовой осадочно-зёфузивной толщи, в более глубоком по-

отношено к ней азационном врезе (порядка 150 м). Структурно месторождение приурочено к зоне Джелтулакско-Сиватлинского тягбена. По данным В.А.Кузьмичева (Кузьмичев, 1951), площадь месторождения с неравномерным оруденением составляет 60х30 м. Здесь сосредоточено около десяти невыдержаных по простиранию и падению разноориентированных рудных жил и прожилков мощностью 2-35 см, разделенных участками белых вкрапленных руд. Наиболее крупная жила мощностью в среднем 20 см прослежена в северо-восточном направлении на 12,5 м. В составе руд (в порядке уменьшения содержания) присутствуют галенит, тетраэдрит, халькопирит, пирит, пирротин, сфалерит, самородное золото. Вторичные минералы — церуссит, антимонит, борнит, малахит, халькоцин. Окологрунтовые изменения выражены в окварцевании, карбонатизациии, хлоритизации, сернистации. Среднее содержание свинца в самой крупной жиле 12,68%. В ассоциации с ним присутствует золото (2,4%, до 6 г/т), а также серебро. Во вкрапленных рудах содержание свинца 0,2-0,6%. На глубину месторождение не изучалось. Ориентировочные запасы свинца в главной жиле составляют около 18,2 т. В 350 и 1700 м выше по долине от главного рудного тела имеются еще два участка выходов маломощных (до 8 см) прожилков сульфидных руд. Все рудные тела были обнаружены в пойме ручья, в склонах долины они отсутствуют. Возможно, месторождение приурочено к нарушению, простирающемуся вдоль долины, и руды локализованы в местах пересечения этого нарушения с разломами северо-восточного простирания. Не исключено, что в склонах долины руды отсутствуют в связи с выклиниванием тел в высоких частях азационного вреза.

Поски, проведенные в зоне Джелтулакско-Сиватлинского тягбена с целью выявления новых рудных тел (Годзевич, 1966), показали, что вблизи выходов раннемеловых эфузивов нарушения северо-восточного простирания, как правило, контролируют белую полиметаллическую минерализацию. На площади около 80 кв.км галенит в количестве от единичных знаков до 125 г/т был обнаружен в 218 протолочках из 415, отобранных из гидротермально измененных катаклизитов. В ассоциации с ним встречаются сфалерит, барит, реже тетраэдрит, халькопирит, золото, молибденит, флюорит. Ширина минерализованных зон от 3 до 200 м. Содержание свинца в них составляет 0,01-0,05 %. Такие зоны открыты в долине р.Гиля около устья р.Агалана (32), на правобережье р.Лерпук (21), а также на водоразделах между ручьями и реками Фарто и Курбаты, Курбаты и Бол.Джелтулаком, Бол.Джелтулаком и Адымчи, где со свинцом часто ассоциирует золото (22,24,31). Минерализация, в основном, тяготеет к кетевказитам по гранитам, среди гнейсов и порфиритов она встречается реже. По данным металлометрического опробования, прошедшего в районах Курбатовского месторождения и других рудопроявлений, в делавии в слабо повышенных количествах присутствуют свинец (0,003-0,007%, при фоне 0,001%), цинк, медь (0,005-0,01%, при фоне 0,002%) и серебро (0,0005-0,0005%), которые не образуют четких ореолов рассеяния. Это свидетельствует об отсутствии выходов на поверхность крупных рудных тел. В связи с тем, что все обнаруженные минерализованные зоны находятся в менее глубоком азационном врезе, чем Курбатовское месторождение, можно полагать, что с глубиной оруденение должно быть более интенсивным.

Около устья р.Бол.Могоктака проявления свинца и цинка (63,65) приурочены к системе сближенных зон катаклаза широтного простирания шириной 1-50 м. В них встречаются кварцево-карбонатные прожилки и жилы, содержащие неравномерную минерализацию галенита, сфалерита, пирита, реже халькопирита. Мощность жил не превышает 20 см. Содержание свинца в них достигает 0,6 %, цинка 0,3%, меди 0,02%; отмечается золото (до 0,8 г/т) и серебро (до 0,003%). Промышленного интереса эти проявления не представляют.

Сходная минерализация установлена также в низовьях р.Олонгро (39), где в квартцево-карбонатных прожилках, цементирующих катаклизмы, присутствуют свинец (до 0,1%), цинк (0,03%) и серебро (до 0,001%).

В низовьях р.Бол.Могохтака на её левобережье С.Т.Шитин (Шитин, 1960) по результатам спектрометрического опробования выделил солевой ореол рассеяния свинца (62). Содержание свинца в дельции достигает здесь 0,01-0,2%. Изучение этого ореола, проведенное Г.Н.Нохокатыко (Новохатыко, 1963), не дало положительных результатов.

Ц и н к . По результатам донного опробования выделяются две солевые ореола рассеяния цинка. Один из них, площадью около 120 кв.км, охватывает участки бассейнов нижнего течения рр.Джелтулы, Гилья и Бол.Могохтака (51). Содержание цинка в потоках рассеяния в среднем 0,01%. Реже встречаются свинец (0,003%) и медь (до 0,006%).

Ореол связан с мелкими неперспективными проявлениями полиметаллов и дальнейшего изучения не заслуживает. Другой ореол, площадью около 170 кв.км, вытянут вдоль Тыгукитского разлома от водораздела рр.Атала и Антрадака до низовьев р.Олонгро (30). Здесь расположена апикальная часть Антрадакского массива и сосредоточено большое количество даек порфиров. В потоках рассеяния постоянно содержится цинк в количестве 0,01%, реже свинец (0,003%) и молибден (0,001-0,003%). Площадь ореола не определена. Судя по тому, что содержания цинка и свинца здесь такие же, как и в первом ореоле, находки крупных залежей полиметаллических руд в зоне Тыгукитского разлома маловероятны.

Б л а г о р о д н ы е м е т а л л ы

З о л о т о . Встречается в россыпях ирудопроявлениях раннепротерозойского и мезозойского возрастов. Раннепротерозойскиерудопроявления расположены главным образом в Тукуригской зоне (42, 44), где золото встречается в окварцованных бластомионитах и высокотемпературных кварцевых и кварцево-полевошпатовых жилах, связанных с позднеэстаковыми гранитами ($\text{P}_{\text{t},1}$). Содержание золота в них составляет сотые доли г/т. Вероятно, подобные многочисленные незначительные рудопроявления обусловили золотоносность аллювия в южной части района. Золото в этих россыпях более высокопробное, чем в длинах ручьев, размывающих участки с мезозойским оруднением.

Рудопроявления золота мезозойского возраста приурочены к зонам катаклаза и гидротермального изменения пород и обычно пространственно и генетически связаны с полиметаллической минерализацией. В бассейне рр.Штыкака и Сиваги (верхней) распространены проявления кварцево-жильного типа (2, 8, 9, 10, 18). Они локализованы в зонах нарушенного северо-восточного простирия, трассируемых лайками гранит-порфиров и кварцевых порфиров. Жилы сложены кальдероновым кварцем. В коренном залегании они были изучены лишь в низовьях р.Штыкака (18). Мощность жил не превышает 30 см, по простирию они не-прерывно простяжены на 7-10 м. Содержание золота неравномерное, при максимальном значении 2 г/т. В жилах встречаются также барит (до 650 г/т) и шеелит. Остальные проявления этого типа, обнаруженные в результате опробования глыб кварца из аллювимально-дельвийских развалов, характеризуются содержаниями золота до 1 г/т.

Довольно часто золото наблюдается в кварцево-сульфидных и кварцево-карбонатно-сульфидных жилах с пиритом, галенитом и сфalerитом. Подобные жилы встречаются в долине р.Гилья около устьев руч.Нечанного (71), р.Бол.Могохтака (64) и р.Джелтулы (75), а также в нижнем течении рр.Джелтулы (38) и Бол.Джелтуака (26). Они расположены в зонах катаклаза северо-восточного и широтного простирия, мощность жил до 30-40 см. Содержание золота не превышает 2-2,4 г/т. Низкие концентрации золота и малая мощность тел не позволяют положительно оценить известные в районе рудопроявления жильного типа.

Более перспективными, вероятно, являются рудопроявления в минерализованных зонах среди березитизированных катализированных гранитов северо-восточной части Курбатовского массива. Они сосредоточены в полосе сближенных ветвящихся разломов северо-восточного и широтного простираний (зона Джелтулакско-Сиваглинского тягбена), пересекающих руч. Фарто и низовья руч. Курбатого и р. Бол. Джелтулака. Ширина этой полосы около 2 км. Здесь граниты вдоль многочисленных нарушенний окварцованны, серидитизированы, пиритизированы, иногда карбонатизированы и турмалинизированы, часто содержат белую якрапленность галенита и сфалерита. Ширина отдельных зон гидротермально измененных пород достигает 200 м. Минерализация золота в зонах была установлена в 65 протоложках, отобранных из 16 разрозненных участков, сосредоточенных на площади 2x6 км (Голдевич, 1966б, 1967). Большей частью золото встречалось в катаклазитах по гранитам, реже по гнейсам и вулканогенным породам. В подавляющем большинстве проб содержание металла не превышает десятих долей г/т. Лишь на левобережье р. Бол. Джелтулака (22), а также на водоразделе ручьев Курбатого и Фарто (24) и по долине руч. Фарто (31) в отдельных штуфах, весом 2-5 кг, содержание золота доходит до 1-3,5 г/т.

При бороздовом опробовании одной из зон, расположенной на водоразделе Курбатого и Фарто, золото было установлено в 2 из 6 проб (сечением 1 x 0,1 м) в количестве 0,4-0,6 г/т. Спектрометаллometрическое опробование, проведенное по сетке 250x50 м, показало спорадическое присутствие золота (0,02-1 г/т) в делювии и элювии на водоразделе ручьев Курбатого и Фарто и на правобережье руч. Фарто. В местах пересечений рудоконтролирующих зон канавами и шурфами золото было встреченено в количестве 1-19 знаков в 20 штуках, отобранных из южных элювия и делювия. Объем работ, выполненный на участке, недостаточен для того, чтобы дать ему окончательную оценку.

Наличие россыпей золота, широкое проявление белой золотой минерализации, гидротермальное изменение пород, обилие разломов, развитие химически и механически контрастных пород (порфиритов и гранитов), нетрудный последненемеловой эрозионный прес позволяет считать эту полосу разломов перспективной для нахождения месторождений золота. Как источник золота, могут представлять интерес также полиметаллические руды Курбатовского месторождения, концентрация золота которых близка к промышленной (до 6 г/т).

В зоне Джелтулакско-Сиваглинского тягбена, в районе выходов эффиузивов белая минерализация рудного золота (0,03-0,1 г/т) встречалась в долине р. Гилюя, в 1,5-3,5 км выше по течению от устья р. Бол. Джелтулака и на правобережье р. Дерлуга на склонах высоты с отм. 882,0 м.

Месторождения россыпного золота сосредоточены в бассейне среднего течения р. Гилюя. Все они отработаны, большей частью, старательми, не оставившими сведений о характере россыпей.

Долинная россыпь р. Бол. Джелтулака (27) имеет длину 1,5 км и продолжается выше по течению реки на территории листа N-51-XI. Ширина россыпи около 80 м, средняя мощность горной массы 4,2 м, содержание золота 15 г/т/куб.м., проба 833,6-923. По категории C₂ россыпь признана непромышленной.

Русловая россыпь руч. Курбатого (25) имеет длину 3,5 км и ширину около 50 м; она начинается в 5 км выше его устья. Отработка россыпей производилась старательми вручную в 1913-1940 гг. В лучшие годы золотодобычи (1915-1916 гг.) содержание золота в массе достигло 4-7 г/куб.м. По сведениям С. М. Рудометчикова (Рудометчиков, 1940б), максимальные концентрации золота приурочены к трем участкам, расположенным ниже зон катаклиза, сужущих долину под косым углом, где золото наиболее крупное, неокатанное, в сростках с кварцем. Проба

820. Количество золота, добывого в 1934-1939 гг. составило 64,5 кт.

Россыпь руч.Фарто (28) примечена к русловой части долины в её среднем и нижнем течении. Длина россыпи около 2 км, площадь отработанной части около 0,1 км². Золото неокатанное, часто в сростках с квартцем. Сведения о его добыве нет.

Русловые россыпи среднего и нижнего течений ручьев Западного (33), Гамазовского (35), Раковского (36) (левых притоков р.Гилля) были отработаны старователями в начале этого столетия. Они расположены близко друг от друга в краевой части Курбатовского массива. Длина россыпи руч.Заветного 1,1 км, Гамазовского 1,8 км, Раковского 2,2 км, ширина 20-40 м. Сведения о содержании и количестве добывого золота нет. В отвалах россыпей встречается много гнейс сливного кварца с бедной минерализацией золота (0,03 г/т).

Россыпь руч.Кипучего (левого притока р.Кавы) (56) отработана старователями. Судя по сохранившимся отвалам, золото добывалось вручную в прирусовой части долины в двух участках среднего течения общей длиной около 5 км. Сведения о золотодобыве не сохранились.

Россыпь руч.Бол.Мотоктака (60) расположена в его нижнем и среднем течении и образует отвальное в низовьях руч.Мал.Мотоктака. Длина россыпей около 6 км, ширина 40-90 м, мощность торфов 2 м, песков 0,2-1,4 м, содержание золота 94-1065 мг/куб.м, проба 860. Россыпь отрабатывалась старователями с 1917 г. В результате переработки в 1959 г. были подсчитаны запасы золота в количестве 193 кг, отнесенные к забалансовому, с возможным пристостом запасов за счет доразведки среднего и верхнего участков.

Русловая россыпь р.Гилля (67) начинается от устья руч.Бол.Мотоктака и продолжается за восточную границу района. Общая длина россыпи 93 км, средняя ширина 27 м, мощность рыхлых отложений в среднем 1,6 м (0,2-3,2 м), среднее содержание золота 307 мг/куб.м. Око-

ло устья р.Талги выделен участок с непромышленным содержанием металла (50-120 мг/куб.м). До 1939 г. россыпь отрабатывалась вручную старователями, в 1940-1959 гг. драгами.

Россыпь руч.Мурзинонского (притока р.Джелтула) (70), отработанная старователями, расположена в прирусовой части нижнего и среднего течения ручья. Длина около 2 км. Сведения о количестве добывого золота нет.

Русловая россыпь в низовьях р.Джелтулы (73) имеет общую длину 12 км, среднюю ширину 26 м, среднюю мощность горной массы 1,97 м, содержание золота составляет 307 мг/куб.м, проба 932. С дореволюционного времени разрабатывалась старователями. В 30-40-х гг. была разведана, в 1951-1959 гг. эксплуатировалась драгами. Добыча золота составила 185,5 кт.

Русловая россыпь среднего течения руч.Труфанорского (притока р.Талги) (75) имеет длину 1 км, отработана ямным способом старователями. Сведения об эксплуатации нет.

Поиски россыпного золота, с проходкой буровых и шурфовых линий, производились также по рр.Бол.Лхелтулаку в нижнем течении (Зай-ви, 1956ф), Мал.Джулулаку, Гиллю между устьями рр.Бол. и Мал.Джелтулаков (Спицын, 1959ф), Гтыкжаку (Шеболдасов, 1960ф). При этом новые россыпные месторождения золота открыты не были и изученные участки долин оценены отрицательно. Проведенные поиски имели рекогносцировочный характер. Поэтому с такой оценкой в ряде случаев соглашаться трудно. В долинах р.Гилля и Мал.Джелтулака Л.Н.Спицын был произведен буровые скважины по линиям, отстоящим друг от друга на 4-8 км. При этом вполне могли быть пропущены участки россыпей с богатыми содержаниями. Поиск и разведка россыпного золота в бассейне верхнего течения р.Гилля не производились.

Плаковое опробование обнаружило присутствие золота в количестве

I-16 знаков в аллювии большинства крупных рек района. Особенно часто золото встречается в косах верхнего течения р.Гилля, где оно об разует два выдержаных потока рассеяния протяженностью 10 и 6 км ниже по течению от устьев рр.Кудули и Джалинты. В среднем течении р.Сиватли (верхней) вблизи коренного рудопроявления (2) выделен шли ховой ореол рассеяния золота (I), в районе которого возможно обнару жение новых проявлений этого металла. Довольно часто встречается также в аллювии правых притоков р.Мал.Джелтулака. Долины указанных рек не разделялись и вполне благоприятны для образования россыпей.

Все богатые россыпи в районе являются руслоными и долинными. Отложения террас изучавшими их геологами (Чудинов, 1955; Спиндин, Губайдуллин, 1964-67 и др.) признаны лишь слабо золотоносными. Если это закономерно, то разрыв основных коренных источников золота в районе начался только в конце плейстоцена и поэтому можно ожидать увеличение с глубиной концентрацией золота в коренных рудопроявле ниях.

С е р е б р о в значительных количествах присутствует в полиметаллических рудах Курбатовского месторождения. Оно находится в изоморфной примеси в сульфидах (главным образом, в блеклой руде) и самостоятельного практического значения не имеет. Серебро с галени том было обнаружено спектральным анализом в количестве 0,0001-0,003% в 54 протолочках гипотермально измененных катаклазитов в зоне Джелтулакско-Сиватлинского грабена. Незначительное содержание серебра (0,0001%) установлено в нескольких пробах раннепротерозой ских гранитов ($\text{U}-\text{Pb}$). С этими источниками, видимо, связаны два со левых ореола рассеяния серебра, выделенных по результатам донного опробования. Один из них расположен в низовых рр.Аммичи и Сиватли (нижней) (20), имеет площадь около 50 кв.км. Содержание серебра в пробах 0,0001-0,0003%. Другой ореол (17), площадью около 10 кв.км,

расположен в бассейне нижнего притока р.Кудули; содержание серебра в пробах 0,0001%.

Редкие металлы

В о л ф р а м . Из минералов вольфрама в районе распространен шеелит. Он спорадически отмечался совместно с сульфидами и золотом в протолочках жильного кварца и катаклазитов, в количествах до 20 г/т, при содержании вольфрама в пробах до 0,01%. I-II зерен шеелита часто встречались в шлихах из бассейнов рр.Аталаана и Мал.Джел тулака. На левом склоне долины р.Гилля между устьями ручьев Тамазов ского и Раконского установлен шлиховой ореол рассеяния шеелита (34), площадью около 10 кв.км, с содержанием от 10 знаков до 180 мг/куб.м. Совпадение этого ореола с участком развития золотоносных россыпей позволяет считать его площадь перспективной для обнаружения золото вольфрамовых рудопроявлений.

М о л и б д е н . Минерализация молибдена, как и золото-поли металлическая, приурочена к разрывам нарушениям мезозойского воз раста. Мolibденовые рудопроявления обнаружены в верхнем течении р.Гилля, выше устья р.Штыкака (7) и в 9 км выше по течению р.Гилля (16) от её устья в различных участках единой полосы сближенных разломов северо-восточного простирания. Минерализация наблюдается в кварцевых жилах среди катаклазитов по гнейсам и раннемеловым (?) гранодиоритам. Мощность жил 5-30 см. Содержание молибдена до 33-40 г/т, содержание молибдена 0,0005-0,03%. В ассоциации с молибденом присутствует пирит. Эти проявления самостоятельного значения не имеют, но свидетельствуют о возможном наличии в контролирующих зонах жигутий, возможно, более перспективных рудопроявлений. Бедная минерализация молибдена (0,001-0,002%) обнаружена в широтных зонах катаклаза, пересекающих р.Гилль около устья р.Бол.Могоктака (68,69) и по долине р.Гилля между устьями рр.Талги и Джелтулы (74). В пробах донных осадков содержание молибдена не более 0,0005-0,001%.

Потоки рассеяния с такими содержаниями объединены в два соловых оре-
ла рассеяния, расположенных в бассейне верхнего и среднего течения
р.Шылжака (II) и на левобережье р.Гилля между устьями рр.Зимовичи
и Диялака (4). В этих ореолах возможно обнаружение новых, видимо,
незначительных проявлений молибдена.

Н и о б и й. Редкоземельно-ниобиевые минерализации, приуро-
ченную к кварцево-альбитовым пегматитам, впервые установили А.П.Иг-
новатов (Игноватов, 1960) в среднем течении р.Кавли на её левобе-
режье (53). Здесь были обнаружены развалы пегматитов, содержащих
колумбит (до 19,6 г/т), фергасонит (до 6,54 г/т) и монацит (до
15,21 г/т). Другое проявление ниобия расположено на правом склоне
долины р.Кавли ниже по течению от устья руч.Кильчего (52), где бы-
ла вскрыта среди гнейсов унажинской свиты пегматитовая жила, мощ-
ность 2 м, с белкой вкрапленностью колумбита, эвксинита, ортита,
монацита, ксенотима. Содержание ниобия в пробах из жилы не превыша-
ет 0,01%. При поисках, проведенных В.Л.Паном (1966), в бассейне
р.Кавли обнаружены еще три пункта минерализации ниобия (до 0,02%),
связанные с наличием в пегматитах фергасонита. Колумбит (обозначен-
ный на карте полезных ископаемых индексом №²) в пределах территории
встречен всего в 3-х шлихах из аллювия. Практического интересарудо-
проявления ниобия не представляют.

Р е д к и е з е м л и. Лантан, иттрий, церий. Проявления ред-
ких земель, тесно ассоциированных с торием, встречаются в метасомати-
ческих гранитах марагайского комплекса и в окварцованных бластоми-
лонитах. Они струптированы на трех разобщенных участках.

В верхнем течении р.Гилля в ядре кудлинской синклинали эти
рудопроявления приурочены, в основном, к телам гранитов марагайско-
го комплекса, часто обладающих повышенной радиоактивностью. Около
устья руч.Опаринского (15) в вытянутом теле гранитов, размером око-

ло 2х0,6 км, в 5 точках выявлены неравномерная гнездовая вкрапле-
нность монацита и ортита. Размер гнезд, обладающих повышенной радио-
активностью (37-75 мкр/час, при фоне 15-18 мкр/час), от 0,1х0,2 м
до 0,5х0,6 м. Содержание церия до 0,06-0,2%, лантана 0,02-0,2%, ит-
трия 0,002%, гадния 0,00%. В 3,5 км выше устья руч.Опаринского в
долине р.Гилля (14) в жиле метасоматического гранита встречено ли-
зийское тело эпидотово-биотитовых бластомилонитов размером 0,1х1 м,
содержащих 1-3% церия, 0,7% лантана, 0,001% иттрия, 0,05% гадния.
Фоновые содержания лантана в гранитах составляют 0,001-0,02%, церия
до 0,05-0,06%. К метасоматическим гранитам в верхнем течении р.Ги-
лля на её правобережье приурочен соловой ореол рассеяния лантана и
иттербия (12), выявленный по результатам донного опробования, пло-
щадью около 7 кв.км. Содержание лантана в донных пробах 0,008-0,01%,
при купевом фоне, содержание иттербия 0,0002%. В таких же количест-
вах эти элементы спорадически встречаются в донных пробах по сосед-
ним ручьям, дренирующим граниты марагайского комплекса.

Два проявления редких земель встречены на левом склоне долины
р.Гилля южнее горы Стрелки. Одно из них расположено в 1,5 км выше
по течению от устья р.Могота (3). Здесь пласт кварцитов чимчанской
свиты рассечен зоной кварцево-диулитовых бластомилонитов, шириной
0,5-0,8 м, падающей на северо-запад под углом 10-30°. Зона имеет
видимую длину 7 м и на флангах срезана кругопадающими разрывами. На
всем видимом протяжении в нижней части зоны застает тело ортит-мо-
нацитовых пород мощностью 5-10 см, содержащих церий 3-6%, лантан
0,5%, иттрий 1%, иттербий 0,002-0,003%, торий до 1,75%. По данным
минералогического анализа, ортит и монацит в рудном теле содержатся
примерно в равном количестве. Монацит представлен четырьмя окрашен-
ными разновидностями, одна из которых характеризуется высоким содер-
жанием иттрия (до 10%). В окружающих бластомилонитах церий и лантан

содержатся в солях долей процента. Положение смытенных флантов зоны под мощным деловием установить не удалось.

Другое рудопроявление обнаружено в 5 км выше по течению от устья р.Могота (5). Оно приурочено к неравномерно бластомилонитизированым окварцованным эпилитово-блеститовым гнейсам, содержащим линзовидный участок, сечением 0,1x0,4 м, обогащенный монацитом (4,5 кг/т). В пробе, отобранный из этого тела, установлены церий 2-5%, лантан 0,5%, иттрий 0,05%.

Следующая группа рудопроявлений расположена в бассейне р.Мал. Джелтулака, в Тукунгирской зоне (41,45,46,47). Повышенные концентрации редких земель (больше 0,1%) приурочены здесь, в основном, к прожилкам и жилам блеститовых пегматоидных метасоматических гранитов, развитых вдоль малоомощных зон бластомилонитизации среди гнейсов. Мощность жил от нескольких сантиметров до 1,5 м, видимая длина достигает 10-15 м. Минерализация неравномерная, гнездовая, представлена монацитом, ортитом, реже ксенотитом, ферросомитом. По результатам штучного опробования, содержание редкоземельных элементов в жилах следующее: лантан 0,05-1%, церий 0,05-1%, скандий до 0,003%, гафний 0,01-0,05%, торий 0,05-0,7% и редко ниобий 0,02-0,03%. Максимальные концентрации редких элементов приурочены к гнездовым обособлениям минералов (сечением до 10x20 см). В целом по жилам содержание лантана и церия не превышает солях и десятых долей процента. Особо интересно рудопроявление на склоне долины первого вниз по течению от устья р.Алакинты правого притока р.Мал.Джелтулака (47). В 2,2 км от его устья среди бластомилонитов найдена глыба метасоматита, размером 25x18x8 см, содержащего 30-45% монацита и ортита. Спектральный анализом в ней установлены церий 1%, лантан 1%, иттрий 0,3%, торий 0,3%, гафний 0,01%, скандий 0,001%. В коренном залеганиирудное тело обнаружить не удалось.

В бассейне р.Мал.Джелтулака обнаружено еще 32 точки минерализации редких земель в жилах пегматоидных гранитов и в скварцовых блеститомилонитах. Содержание суммы редкоземельных элементов в этих проявлениях не превышает 0,1%.

Рудопроявления редких земель изучены крайне недостаточно. Большинство из них не имеет практического значения вследствие малой величины рудных тел или низких содержаний. Однако, участки, в которых группированы эти проявления — верхнее течение р.Гилья, окрестности горы Стрелки, бассейн р.Мал.Джелтулака —, несомненно заслуживают дальнейшего изучения.

По данным штучного опробования, монацит (помещенный на карту полезных ископаемых индексом Ce), не образуя четких ореолов рассеянный, встречается в аллювии по всей территории листа. Весовые концентрации этого минерала в аллювии (30-50 г/куб.м) установлены в верховьях ручьев Курбатого и Танюка.

НЕМЕТАЛЛИЧЕСКИЕ ПОЛЕЗНЫЕ ИСКОПАЕМЫЕ

Д и с т е н (кианит) в качестве породообразующего минерала широко распространен на юге района в глиноzemистых гнейсах чимчанской и унажинской свит, содержащих обычно 1-7% этого минерала. Повышенное содержание дистена (10,4%) установлено в слое глиноzemистых гнейсов, мощностью 4 м, в бассейне среднего течения р.Кавли (58). Это проявление однено отрицательно (Большихапов, 1962).

М у с к о в и т. Непромышенные месторождения мусковита (48, 49, 50, 54, 55) сосредоточены в пегматитовом поле, расположенным в бассейнах р.Кавли и первых нижних притоков р.Мал.Джелтулака. Площадь поля около 110 кв.км. Структурно оно приурочено к широкой части ядра Кавлинской синклиниали. Мощность пегматитовых жил 0,5-25 м. Простижение их северо-западное. Мусковитоносные пегматиты имеют существенно кварцево-олигоклазовый состав. Они дифференцированы на

участки с пегматитовой блоковой и граубекской структурой и содержат обособления кварцево-мусковитового замещающего комплекса. На южном водоразделе руч. Кипучего (55) в коренном залегании изучены при пегматитовые жилы. Наиболее крупная из них, мощностью 20-25 м, прослежена по простирианию на 250 м. Размеры пластин мусковита достигают 20 кв. см. Содержание кристаллов в жиле (определенено визуально) около 3%. В двух других смежных жилах, мощностью 2,5-3 м, кристаллы мусковита, сечением более 2 кв. см., содержатся в количестве 2%.

На водоразделе между р. Кавли и руч. Грибановским (59) обнаружена жила мощностью 0,8 м. Обособления кварцево-мусковитового комплекса составляет около 20% её объема, отдельные кристаллы мусковита достигают размера 10-15 см в поперечнике. Среднее содержание их в жиле около 10%. Остальные месторождения (48, 49, 50, 54, 57) представлены жилами пегматитов, содержащих кристаллы мусковита, размером до 6 кв. см, в количестве 5-10%.

Ценность большинства месторождений мусковита сложится на счет вследствие деформированности кристаллов, обусловленной рассланцеванием пород. Лишь в восточной части поля, где первичная складчатая структура почти не нарушена последующими дислокациями, местами в пегматитах сохраняются кристаллы высокого качества (59). Но такие жили слишком малоисленны, чтобы иметь практическое значение. Редко-земельно-ниобиевая минерализация в мусковитоносных пегматитах не наблюдалась.

Г р а ф и т . На левом берегу р. Гилля в 3 км ниже по течению от устья р. Бол. Мотоктака (66) наблюдались выходы тектонических брекчий, с цементированных гравитом, который образует натечно-скрупловатые и чешуйчатые агрегаты. Зона брекчий имеет ширину около 20 м и простирается на северо-запад. Содержание гранита (визуально) 20-30%. В нижнем течении р. Джелтулы (72) обнаружен выход, шириной около 40 м,

графит-кварц-полевошпатовых сланцев, падающих на юго-восток под углом 30°. Содержание графита 10-50%. Специально эти рудопроявления не изучались, перспективность их не ясна.

СТРОИТЕЛЬНЫЕ МАТЕРИАЛЫ

В качестве бутового камня и щебня могут применяться разнообразные интрузивные породы, запасы которых не ограничены. Как обильно-вочные материалы широкое применение найдут ранненемеловые (?) граниты, слагающие Тыгукский, Штыкакский, Лево-Хамидинский и Тильский массивы, а также порфириты, туфы и туфобрекчи из состава вулканогенно-осадочной толщи, развитой около устья р. Бол. Джелту-

лаха. Ранненемеловые (?) гранитоиды разбиты преимущественно трещинами перпендикулярными системами трещин, ограничивающими блоки объемом 0,5-4 куб. м. Цвет гранитоидов зеленовато-серый, серый, светло-серый, реже розовый. Наиболее декоративны розовые мелкозернистые лейкократовые граниты (f, Cr₁) с мелкопятнистым рисунком скоплений дымчато-серого кварца. Порфириты, туфы и туфобрекчи образуют блоки объемом до 1-2 куб. м. Окраска их темно-серая, зелено-серая, реже сиреневая. Особенно красивы полированные штуфы темнитизированных, хлоритизированных, эпилитизированных тубобрекчий, образующих слои мощностью до 20-30 м. Они состоят из цветных угловатых обломков порфиритов и гранитов, сцементированных мелкозернистой зеленоватой (за счет эпилита и хлорита) массой с серебристым отливом (за счет тематита).

Пески, галечники и гравий, широко распространенные в долине р. Гилля и низовьях его крупных притоков, можно применять для строительства дорог и использовать в качестве наполнителя для бетона и асфальта. Запасы песчано-гравийно-галечного материала неисчерпамы в пойме и низкой надпойменной террасе р. Гилля. Эти отложения имеют мощность 1-5 м и наиболее распространены в среднем течении р. Гилля

между устьями рр. Алтана и Салюкита. Пески наиболее характерны в составе отложений высоких террас. Наиболее мощности (8-II и) за- лежи песков достигают на правобережье р.Гилы около устьев р.Бол. Джелтулака и руч.Курбатого. Пески мелко- и среднезернистые, квад- во-полевошпатовые, хорошо отсортированные, с незначительной примесью суплинка и галек.

Специальные лабораторные испытания строительных материалов не производились.

Охарактеризованныерудопроявления по времени образования хоро- до увязываются с тремя этапами тектоно-магматического развития рай- она. К периоду геосинклинального развития ильянской серии относит- ся формирование осадочно-метаморфическихрудопроявлений магнетитовых руд и листена, проявленный мусковита и ниобия в пегматитах, связанных с древнеэстансовыми гранитами. К периоду протерозойской антиклинации относятсярудопроявления редких земель, связанные с метасоматитами по бластомионитам, минерализация золота, связанная с жильными дери- ватами позднестановых гранитов и окварцованными бластомионитами, и, вероятно, титановая минерализация, возникшая в результате вторично-го обогащения рассланцеванных габбро-амфиболитов. К мезозойскому этапу относятся среднетемпературные гидротермальные проявления поли- металлов, золота и молибдена, приуроченные к зонам катаклаза. Несмотря на благоприятные предпосылки для образования месторождений раз-личных полезных ископаемых, в районе неизвестны перспективные обь- екты для поисков. В значительной мере это обусловлено особенностями современного эрозионного преса. Протерозойда настолько глубоко эро- дированы, что в них сохраняется лишь наиболее высокотемпературные рудные образования, роль которых в целом невелика. Последний эро- зионный прес, имевший большое значение для мезозойскихрудопроявле- ний, неравномерный. В участках, где сохраняются выходы осадочно-эр-

фузивнойтолщи, он невелик и именно здесь встречаются повышенные концентрациирудных компонентов. Эти участки представляют наиболь- ший интерес.

Практическое значение из протерозойских проявлений может иметь ториен-редкоземельнаяминерализация, представленная, в основном, монацитом. Участки сосредоточения этих проявлений рекомендуются для дальнейшего изучения. В них целесообразно провести специализирован- ные поиски со шпуровой радиометрической съемкой, так как местность сильно залегнала, и значительным объемом канальных работ для вскрытия аномалий. Дальнейшего изучения заслуживают проявления бота- тых руд в районе г.Стрелки (3), где необходимо оценить перспективырудносности франтов зоны, и на правобережье р.Мал.Джелтулака (47), где возможно обнаружениерудных тел с высокой концентрацией редких земель.

Изрудопроявлений мезозойского возраста может представлять практический интерес золото-серебряно-полиметаллическаяминерализация в Джелтулакско-Сылаглинском традионе. На участке в низовых рек и ручьев Аючи, Бол.Джелтулака, Курбатого, Фарто, Дерлуга, Сиватли рекомен- дуется провести дальнейшее изучение минерализованных зон с целью установления возможных выходов богатыхрудных тел на поверхность, а также выяснения перспективрудносности зон на глубину. В комплексе работ необходимо предусмотреть гидрохимическое опробование.

Поиски в рекомендованных зонах целесообразно проводить совместно с геологической съемкой масштаба 1:50 000, позволяющей более четко локализовать перспективные зоны. Съемкой следует охватить площади листов N-51-35-А, 36-Б, 47-Г с целью изучения редкоземельноймине- рализации и листов N-51-47-А, 35-В, Г с уклоном на поискирудного зо- лота и полиметаллов.

В районе далеко не исчерпаны перспективы открытия месторождений

россыпного золота. Для нахождения россыпей благоприятна долина верхнего течения р.Гилля, перспективность которой отмечал Л.П.Слицин (Слицин, 1959г.). В связи с наличием многочисленных коренных источников перспективна также суженная часть долины р.Гилля между устьями ручьев Курбатого и Дерлуга. В расположенной ниже по течению широкой части долины, где русло сильно обуждает, низкое содержание золота, установленное Л.П.Слициным (Слицин, 1959г.), видимо, является закономерным. Находки золотоносных россыпей возможны в долинах рр.Сивагли (верхней), Акгадака и правых притоков р.Мал.Джелтулака, где золото установлено в многочисленных шлихах.

ПОДЗЕМНЫЕ ВОДЫ

Территория листа расположена в Становом горно-складчатом гидрогеологическом массиве. Особенности режима подземных вод обусловлены здесь многолетней мерзлотой, мощностью около 100м, и относительно небольшим развитием покрова рыхлых отложений на массивно-кристаллическом основании. По отношению к многолетней мерзлоте подземные воды являются надмерзлотными, межмерзлотными и подмерзлотными.

Н а д м е р з л о т н ы е в о д ы циркулируют в деятельном слое аллювиальных, элювиально-делювиальных отложений (пластово-поровые воды) и трещиноватых кристаллических пород (трещинно-жильные воды). Водоупором является верхняя граница многолетней мерзлоты и нетрещиноватые коренные породы. Режим и глубина затекания надмерзлотных вод непостоянны. Зимой, в течение около 6 месяцев, они полностью промерзают. Летом воды циркулируют на глубине 0,5-4 м, в зависимости от мощности деятельного слоя. Питание, в основном, осуществляется за счет атмосферных осадков и оттаяния мерзлых грунтов.

Наиболее водообильны аллювиальные отложения р.Гилля и её крупных притоков. Существенно песчано-гальечный состав аллювия способствует способной инфильтрации и циркуляции вод. Многочисленные выс-

ходящие источники аллювиальных вод встречаются в поколах уступов террас вдоль всей долины р.Гилля. Дебит их достигает 1,5-2 л/сек.

Вода прозрачная, иногда с чуть желтоватым оттенком, приятная на вкус.

На прииске Курбатовском эти воды питают родник, который использовался населением для бытовых нужд. Температура воды в нем летом достигает 5-7°, дебит 2 л/сек. Воды аллювиальных отложений гидрокарбонатные натриево-кальциевые, рН=6,3-6,7. Общая жесткость 0,22-0,30 мг-экв/л.

Воды элювиально-делювиальных отложений залегают обычно на глубине 0,5-3 м. Выдающимися породами являются супеси, суглинки с дресвой-обломочным материалом. Водоносные горизонты, вскрывавшиеся канавами и шурфами, широко распространены на склонах гор и имеют мощность до 0,5 м. Источники этих вод приурочены к подножиям склонов гор. Дебит их не превышает 0,5 л/сек. Вода в них чистая, прозрачна, гидрокарбонатная, реже нитратно-гидрокарбонатная со смешанным составом катионов.

Трещинно-жильные надмерзлотные воды имеют ограниченное распространение. Несколько ненапорные источники этих вод, с дебитом 0,1-0,5 л/сек, иногда встречаются в скальных выступах трещиноватых пород в зонах разломов по берегам рек Гилля, Мал.Гилля, Бол. и Мал.Джелтулаков. Согласно анализу пробы, взятой в одном из таких источников около устья р.Мал.Гилля, вода гидрокарбонатная кальциево-магниево-натриевая, при общей жесткости 0,48 мг-экв/л и рН=6,6.

М е ж м е р з л о т н ы е в о д ы находятся в толще многолетней мерзлоты. Они, в основном, приурочены к таликам, участки которых распространены среди сравнительно мощных наносов аллювия в долинах рек Гилля, Бол. и Мал.Джелтулаков и руч.Курбатого. По данным Л.П.Слицина (Слицин, 1959г.), талики затекают на глубине выше 6 м. По р.Гиллю вблизи устья р.Дерлуга встречен талик шириной более 250 м. В

долинах рек Бол. и Мал.Джелтулаков ширина таликов достигает 60-80 м.

В плане они представляют собой извилистые полосы с ответвлениями, уходящими под протоки и старину. Питание вод таликов осуществляется за счет поверхностных, надмерзлотных и подмерзлотных вод. Зимой в результате напорного излияния межмерзлотных и подмерзлотных вод в долинах крупных рек образуется мощные наледи и гидролакколиты. Ресурсы и состав межмерзлотных вод не известны.

П о д м е р з л о т н ы е з о д ы изучены наиболее слабо. С ними, видимо, связанны многочисленные напорные источники, встречающиеся вдоль зон крупных разломов (Тыгукитского, зоны Джелтулакско-Сиваглинского гравена и других). Большая часть канав в зоне Тыгукитского разлома (в бассейнах рек Штыкака и Агалана) даже на волоразделах быстро заполнялась напорными водами при углублении в грунт на 1-1,5 м. На волоразделе Курбатого-Фарто поступление напорных вод из трещиноватых катализитов достигало 0,2-0,5 л/сек с 1 кв.м. Напорные источники, бьющие из зон разломов, встречаются среди гнейсов на левобережье р.Мал.Джелтулака (дебит 2 л/сек) и в эффеузивных породах на правобережье р.Гилю в 4 км выше по течению от устья р.Бол.Джелтулака. Вода пресная, прозрачна, приятна на вкус, температура 3-5°С. По составу подмерзлотные воды существенно гидрокарбонатные кальциевые с незначительной примесью катионов натрия и магния, pH=6,5-6,7. В водах, циркулирующих по трещинам эффеузивных пород, повышена общая жесткость (1,83 мг-экв/л).

Район, видимо, беден ресурсами полезных вод. Для круглогодичного водоснабжения могут использоваться лишь межмерзлотные и подмерзлотные воды.

ЛИТЕРАТУРА

О п у б л и к о в а н ы я

А л ь б о з Ю.А., М о ш к и н В.Н. Основные черты мезозой-
ского интрузивного магматизма восточной части Станового хребта.

Инф.сб. ВСЕГЕИ, № Г7, 1959.

А н е р т Э.Э. Геологические исследования в Зейском золотоносном районе в 1900 г. Геологические исследования в золотоносных областях Сибири, Амуро-Приморский район (Гизос, АПр), вып. III, 1902.

Б а д е в и ч Л. Материалы для изучения Амурского края в горно-промышленном отношении. СПБ, 1894.

Д а з е з а н о в с к и й Ю.К. Дальнекуро-Становая складчатая об-

ласть. Геологическое строение СССР, т.Ш, Госгеолтехиздат, 1958.

З а м о р у е в В.В., С е ъ И.И. О древнем оледенении Верхне-Зейской депрессии и хребта Тукурингра-Джады. Изв.АН СССР, серия географическая, № 6, 1963.

З о л о т о р М.Г. Связь золотого оруденения с магматическими породами среднего состава мезозойских и кайнозойских вулканических зон материковой части Дальнего Востока. "Советская геология", № 7, 1965.

И в а н о в М.М. Геологические исследования в Зейском золотоносном районе в 1900 г. (Гизос, АПр), вып. 3, СПБ, 1902.

И з а н о в М.М. Геологические исследования в области бассейнов рр. Большого Ольдоя и Гилю в 1903 г. (Гизос, АПр), вып. 6, СПБ, 1906.

К а ц А.Г. Геологическая карта СССР, масштаб 1:200 000. Серия Становая, лист № 52-1. Объяснительная записка. Госгеолтехиздат, 1963.

К о р ж и н с к и й Д.С. Пересечение Станового хребта по Амуро-Якутской магистрали и его геологические комплексы. Тр. ЦНИГРИ, вып. 41, 1935.

Кориковский с.п. о возрасте метаморфических пород западной части Станового хребта. Тр.Вост.-Сиб.геол.инст., вып.5, Москва, 1962.

Красный Л.И. Юрские и меловые гранитоиды в хребтах Становом, Джугджуре, Прибрежном и вопросы математизма "вынескладчатых" областей. Изд.вузов.Геол. и разведка, № 3.1960.

Крылов М.Д. О нижней и верхней границах Станового комплекса. Тр.ЛАГЕД АН СССР, вып.19.1964.

Крылов М.Д. Уловатые гнейсы в южном обрамлении Алданского шита. Сб. "Региональный метаморфизм докембрийских формаций СССР". Изд."Наука", 1965.

Мидлендорф А.А. Путешествие на Север и Восток Сибири, часть I.1860.

Мошкин В.Н. Нижнепротерозойские образования хребтов Станового и Джугджура. Сб."Докембрий Восточных районов СССР". Тр.ВСЕГИ, Новая серия, вып.59, 1961.

Петрушевич М.Н. и др. Государственная геологическая карта СССР, масштаб 1:1 000 000, лист №-51 (Сковородино). Объяснительная записка. Госгеотехиздат, 1957.

Райхли И.Б. Полезные воды Хабаровского края. Сб."Региональная гидрогеология Сибири и Дальнего Востока", вып.2.Иркутск, 1962.

Скательский Ю.П. Геологическая карта СССР №-са 1:200000, лист №-52-ХIII, серия Становая. Объяснительная записка. Госгеотехиздат, 1963.

Судоев И.Г., Неселов А.Н. О возрасте становогого комплекса. Тр.ЛАГЕД, вып.12, 1961.

Судовик Н.Г. и др. Геология и петрология южного обрамления Алданского шита. Изд."Наука", 1965.

Тугаринов А.Н., Войтекевич Г.В. Докембрийская геохронология материалов. Изд."Недра", 1966.

Федоровский В.С. Геологическая карта СССР масштаба 1:200 000, лист №-52-ХIV, серия Становая. Объяснительная записка. Изд."Недра", 1965.

Хлапонин А.И. Геологические исследования в Зейском золотоносном районе в 1900 г. (Гиазос, АПр), вып.3, СПБ, 1902.

Яворовский П.К. Геологические исследования в Зейском золотоносном районе в 1899 г. (Гиазос, АПр), вып.2. СПБ. 1901.

Фондохранилище

Афонасов М.Н. и др. Отчет о результатах геологосъемочных и поисковых работ №-ба 1:50 000, проведенных в бассейнах верхнего течения рек Джелтула, Большой Иликан, Малый Иликан. 1966.

Белов В.А. Отчет о работах, произведенных по р.Гилло в 1934 г. (Амурская область, ДВК). 1934.

Березовский М. . Заключения о Курбатовском синеволовом месторождении и возможном золоторудном месторождении в районе приска Джелтула, 1931. Фонды Примска Соловьевска.

Большаков В.Н. Технический отчет по электроразведочным работам Гилской партии. 1938.

Болышев В.С. и др. Отчет о результатах геологических поисковых работ на алманиновое сырье в среднем течении р.Гилль. 1962.

Тодзевич Б.Л. Геологическое строение и полезные ископаемые юго-восточной части листа №-51-ХII. 1964.

Тодзевич Б.Л. Геологическое строение и полезные ископаемые северной части листа №-51-ХII. 1965.

х) Место хранения указывается лишь для работ, отсутствующих в фондах ДВГУ.

Годзеев Б.Л. Геологическое строение и полезные ископаемые юго-западной части листа №-51-ХII. 1966.

Годзевич Б.Л. Геологическое строение и полезные ископаемые центральной части листа №-51-ХII. 1967.

Зайчи Г.Н., Антипин Г.С. Отчет о работах Джалтулакской поисково-съемочной партии за 1955 г. 1956.

Ингатов Г.Р. и др. Отчет об аэропоисковых и наземных работах, проведенных партией № 16 в 1959 г. в северной части Амурской области, 1960.

Ингатов А.П. и др. Геологический отчет о поисково-съемочных работах в бассейне верхнего и среднего течения р.Гилей на редкие металлы и серебро. 1960.

Ингатов А.П. и др. Геологический отчет о поисково-съемочных работах в бассейне среднего течения р.Гилей на редкие элементы. 1961.

Капал. Г. и др. Геологическое строение и полезные ископаемые между реками Иенгра-Гимлой и бассейна р.Мал.Гилей. 1961.

Казачихина Л.Л. Отчет о методической работе на тему "Определение спорово-пыльцевого комплекса из отложений, содержащих кости трогонтериевого слона". 1966.

Кузьмичев В.А., Левченко В.А. и др. Отчет о геолого-поисковых работах в бассейне среднего течения р.Гилей в 1950 г. (примк Курбатовский). 1951.

Кузьмичев В.А. Отчет о геолого-поисковых работах на полиметалии в бассейне среднего течения р.Гилей (примк Курбатовский) в 1950-51 гг. 1952.

Левкин Н.Ф., Родионов В.И. Отчет о поисково-разведочных работах на рудное и россыпное золото в бассейне среднего и верхнего течения р.Гилей, правого притока р.Зеи за 1957-58 гг. 1959.

Сухин М.В. Геологическая карта СССР масштаба 1:200 000, лист №-51-ХI, серия Становая. Объяснительная записка.

Левкин Н.Ф. Объяснительная записка к подсчету запасов по Джалтулакскому россыпному месторождению (по состоянию на 1-е янв. 1958 г.). 1958.

Мюллер. Отчет о работе поисково-разведочной партии по р.Мал.Джалтулак и смежным клячам. 1931. Фонды приска Соловьевска.

Новожатко Г.Н. Отчет о результатах поисковых работ на полиметалии в бассейне кр.Бол.Мотоктай. 1963.

Остапенко В.И. Отчет о произведенных разведочных работах на Курбатовском полиметаллическом рудном месторождении. 1942. Фонды приска Соловьевска.

Пан В.П. и др. Промежуточный отчет о результатах геолого-съемочных работ масштаба 1:50 000, проведенных в бассейне верхнего течения р.Кавли. 1966.

Парников С.П. Геологическая карта СССР масштаба 1:200 000, лист №-51-Х III, серия Становая. Объяснительная записка. 1964.

Рассказов Ю.П. Отчет по теме "Расчленение древних метаморфических толщ хребтов Станового и Тукуринги". 1966.

Рудометчиков С.М. Краткий отчет о геолого-поисковых работах на приске Курбатовском. 1940.

Сартаков О.М. Геологическое строение бассейна среднего течения р.Гилей. 1947.

Сипарова Ю.А. Геологическая карта СССР масштаба 1:200 000, лист №-51-ХI, серия Становая. Объяснительная записка. 1963.

Спидин Л.П. Отчет о результатах поисковых и разведочных работ на рудное и россыпное золото в бассейне среднего и верхнего течения р.Гилей, правого притока р.Зеи за 1957-58 гг. 1959.

Сухин М.В. Геологическая карта СССР масштаба 1:200 000,

лист №-5I-IX, серия Становая. Объяснительная записка. 1966.

СПИСОК

Приложение I

Ф е д о р о в с к и й В.С. Стратиграфия, объем и границы Удо-
канской серии докембрия Восточной Сибири. Диссертация. 1968. Фонды
ЧГУ.

Ч е р н о с к у т о в П.В. Отчет начальника Гилейской поиско-
во-разведочной партии Черноскутова П.В. 1934. Фонды Треста "Амурз-
лого", г.Свободный.

Ч у д и н о в М.Т. Отчет о работах Гилейской геолого-поиско-
вой экспедиции на рудное золото, проведенных в 1954 г. 1955.

Ш е б о л л а с о в В.А. и др. Отчет о результатах поисково-
разведочных работ Урканской партии за 1958-59 гг. 1960.

Ш е с т а к о в К.Д. Отчет о работе поисковой группы в райо-
не приска Курбатовского в 1948 г. 1949. Фонды приска Соловьевска.

Ш и т и н С.Т. и др. Промежуточный отчет о поисках коренных
месторождений золота в бассейнах руч.Бол.Могота и среднего течения
р.Гилей, проведенных Гилей-Моготской партией в 1959 г. 1960.

Э п и т е й н Р.Ю. Отчет о геологических исследованиях в бас-
сейне среднего течения р.Гилей в 1936 г. 1937.

Я к о в л е в В.А. Геологическое строение бассейна верхнего
текущия р.Гилей. 1947.

Я л и н и ч е в Е.В. Геологическая карта СССР масштаба
1:200 000, серия Становая, лист №-52-VII. Объяснительная записка.
1967.

№ п/п	Фамилия и именинни автора	Название работы	Год со- став- ления мате- риала, ин- форма- ция		Местонахож- дение мате- риала, ин- форма- ция	Номер
			3	4		
1						
2		Кадастр месторождений зо- лота Амурской области Объяснительная записка к подсчету запасов на 1 ян- варя 1956 г. Трест "Амур- золото"	1956	Фонды ДВТУ, 0010267 Фонды ДВТУ, 009532		
3		Объяснительная записка к отчетному балансу запасов треста "Амурзолото" на 1957 г.	1958		Фонды ДВТУ, 009535	
4	Большиханов В.С. и др.	Отчет о результатах геоло- го-поисковых работ на алло- миневое сырье в среднем течении р.Гилей	1962		Фонды ДВТУ, 09446	
5	Годзевич Б.Л.	Геологическое строение и полезные ископаемые по- восточной части листа №-5I-XII	1964		Фонды ДВТУ, 010467	

			1	2	3	4	5
6	Годзевич Б.Л.	Геологическое строение и полезные ископаемые северной части листа №51-ХII	1965	Фонды ДВГТУ, 010982	тулякскому российскому месторождению (по состоянию на 1 января 1958г.)		
7	Годзевич Б.Л.	Геологическое строение и полезные ископаемые юго-западной части листа №51-ХII	1966	Фонды ДВГТУ, 0256	Промежуточный отчет о результатах геологических работ масштаба 1:50 000, проведенных в бассейне нижнего течения р.Кавли	1966	Фонды ДВГТУ, 011802
8	Годзевич Б.Л.	Геологическое строение и полезные ископаемые центральной части листа №51-ХII	1967	Фонды ДВГТУ, 0307	Шитин С.П.	Промежуточный отчет о поисках коренного месторождения золота в бассейне р.Гилы, проведенных Гилей-Могоцкой партией в 1959 г.	1960
9	Иногузов А.П. и др.	Геологический отчет о поисково-рекогносцировочных работах в бассейне верхнего и среднего течения р.Гилей на редкие металлы и серебро	1959	Фонды ДВГТУ, 08449			Фонды ДВГТУ, 08661
10	Кузьмичев В.А.	Отчет о геолого-поисковых работах на полиметаллическом среднем течении р.Гилей (приток Кубаговский) в 1950-51 гг.	1952	Фонды ДВГТУ, 04032			
11	Левкин Н.Ф.	Объяснительная записка к подсчету запасов по Дмел-	1958	Фонды ДВГТУ, 007232			

Приложение 2

С П И С О К

ПРОМЫШЛЕННЫХ МЕСТОРОЖДЕНИЙ ПОЛЕЗНЫХ ИСКОПАЕМЫХ,
ПОКАЗАННЫХ НА ЛИСТЕ №-51-ХII КАРТЫ ПОЛЕЗНЫХ ИСКОПАЕМЫХ
МАСШТАБА 1:200 000

№ по карте	Индекс клетки на карте	Наименование месторождения и вид полезного иско- паемого	Состояние эксплуатации	Тип месторождения (К-коренное, Р-россыпь, р-риада (прилож. I))	№ использо- вания- емого	№ использо- вания- емого
					1	2
					3	4
					5	6
60	ГУ-4	Благородные металлы Золото	МЕТАЛЛИЧЕСКИЕ ИСКОПАЕМЫЕ Благородные металлы	Отработано	P	I
35	III-2	р.Гамазовский	III-4	частично	23	III-4
67	ГУ-К	р.Гилой	р.Курбатый	Отработано	P	8
73	ГУ-4	р.Джелтула	III-4	р.Бол.Джелтулак	P	2,3
33	III-2	р.Заветный	III-4	Золото	P	2,3
56	ГУ-3	р.Кильчий	НЕМЕТАЛЛИЧЕСКИЕ ИСКОПАЕМЫЕ	III-4	P	8
25	III-1	р.Курбатый	Слюдо-мусковит	р.Кильчий	P	5
70	ГУ-4	р.Муразинский	Междуречье Алакин-	ГУ-2	P	4
36	III-2	р.Раковский	гра-Кавли	гра-Кавли	P	10
76	ГУ-4	р.Труфановский	Междуречье Алакин-	ГУ-2	P	8
28	III-2	р.Фарто	гра-Кавли	ГУ-2	P	5

Приложение 3

С П И С О К

НЕПРОМЫШЛЕННЫХ МЕСТОРОЖДЕНИЙ ПОЛЕЗНЫХ ИСКОПАЕМЫХ,
ПОКАЗАННЫХ НА ЛИСТЕ №-51-ХII КАРТЫ ПОЛЕЗНЫХ ИСКОПАЕМЫХ
МАСШТАБА 1:200 000

№ по карте	Индекс клетки на карте	Наименование месторождения и вид полезного иско- паемого	Состояние эксплуатации	Тип месторождения (Р-россыпь, материя (прилож. I))	№ использо- вания- емого	№ использо- вания- емого
					1	2
					3	4
					5	6
54	ГУ-3	р.Кильчий	Междуречье Алакин-	ГУ-2	P	7
55	ГУ-3	Басс.Кавли	гра-Кавли	ГУ-2	P	5

Приложение 4

СПИСОК
ПРОЯВЛЕННЫХ ПОЛЕЗНЫХ ИСКОПАЕМЫХ,
ПОКАЗАННЫХ НА ЛИСТЕ №51-ХI КАРТ ПОЛЕЗНЫХ ИСКОПАЕМЫХ
МАСШТАБА 1:200 000

I	2	3	4	5	6
57	IV-3	Басс.Кавли	Не эксплуатируется	R	5
59	IV-3	Басс.Кавли	"	R	5

№ по карте	Индекс на карте	Название(местона- хождение) проявле- ния и вид полезно- го ископаемого	Характеристика проявления	№ ис- пользо- ванного материя- ла(при- лом. I)
61	IV-4	р.Бол.Могохтах Чернешметаллы	Магнетитовые руды Магнетитовые кварциты с вкрапленной и полос- чатой текстурой. Содер- жание железа 39,5% (хим.анализ)	13

I	2	3	4	5
43	IV-2	р.Гилей	Магнетитовые кварциты с вкрапленной и полос- чатой текстурой. Содер- жание магнетита около 30%	6
37	III-3	р.Салмохит	Магнетитовые кварциты. Содержание магнетита 30% длжение железа 35,3- 46,2% (хим.анализ)	7

I	2	3	4	5	I	2	3	4	5
19	I-4	р.Оларинский	Титан	Рассланцованные амфиболиты с вкрапленностью рутила и ильменита. Содержание титана 2-3%.	6	21	II-2	р.Лертуг	Свинца 0,001-0,05%
6	I-2	р.Гилой	Медь	Швейтникеи. Кварцево-карбонатная жила с гнездами сульфидов. Содержание меди до 2%.	6	63	IV-4	р.Мал.Мотоктах	Гидротермально измененные кварцево-карбонатные жили с вкрапленностью таленита. Содержание свинца 0,1%.
29	III-2	р.Гилой	Свинец	Кварцево-карбонатная жила с гнездами сульфидов. Содержание меди 0,3-1%.	7	39	III-4	р.Олонгро	Гидротермально измененные катализиты с вкрапленностью таленита. Содержание свинца 0,1%.
40	IV-I	р.Мал.Джелтулак	Свинец	Спектрометаллометрический определение сульфидного ореола рассеяния	7	30	III-3	рр.Анградак, Тыгык и Бол.Мотоктак	Цинк Спектрометаллометрический определение сульфидного ореола рассеяния
65	IV-4	р.Бол.Мотоктак	Кварц	Кварцево-карбонатные жили с гнездами таленита. Содержание свинца до 0,6%.	5	51	IV-4	р.Гилой	Спектрометаллометрический определение сульфидного ореола рассеяния
62	IV-4	р.Бол.Мотоктак	Свинец	Благородные металлы. Золото. Катализированные граниты. Содержание золота до 1 г/т	7	22	III-I	р.Бол.Джелтулак	Глины кварца с сульфидами. Содержание золота 2 г/т
32	III-2	р.Гилой	Гидротермально измененный катализит с вкрапленностью таленита. Содержание	8	64	IV-4	р.Гилой	Глины кварцево-сульфидных пород. Содержание золота 2 г/т	13

1	2	3	4	5
71	IV-4	р.Гилей	Карбонатно-кварцевая жи-ла.Содержание золота 0,5 г/т	5
75	IV-4	р.Гилей	Брекчированные породы с сульфидами.Содержание золота до 2,4 г/т	13
38	III-4	р.Джелтула	Кварц с сульфидами.Со-держание золота 0,04 г/т	5
24	III-I	Водораздел рр.Кур-батый-Фарто	Березитизированные катак-лазиты по гранитам.Содер-жание золота до 3,5 г/т	7
42	IV-I	р.Мал.Джелтулак	Глыбы сливного кварца.	7
44	IV-2	р.Мал.Джелтулак	Содержание золота 0,05 г/т	7
18	I-4	р.Перевальный, правый приток р.Штыкжака	Обломки халцедоновидно-го кварца.Содержание зо-лота 0,07 г/т	6
2	I-I	р.Сивагли	Глыбы халцедоновидного кварца.Содержание золота 0,02-1 г/т	6
1	I-I	р.Сивагли	Птиховой реол рассеяния	6
31	III-2	р.Фарто	Катаклизированные граниты. Содержание золота до 1г/т	7

1	2	3	4	5
8	I-3	р.Штыкжак	Жилы халцедоновидного кварца. Содержание золота 0,05-2 г/т	6,8
9	I-3	р.Штыкжак	Обломки халцедоновидного кварца. Содержание золота 0,1 г/т	6
10	I-3	р.Штыкжак	Катаклизированные биотито-гнейсы. Содержание золота до 0,1 г/т	6
20	II-I	р.Гилей	Серебро	
17	I-4	Басс.р.Кудали	Спектрометаллометрический ореол рассеяния	7
34	III-2	рр.Тамазовский и Раковский	Спектрометаллометрический ореол рассеяния	6
4	I-I	р.Гилей	Мolibден	
16	I-4	р.Гилей	Спектрометаллометрический ореол рассеяния	6
6			Кварцевые и кварц-полевошпато-вые жилы с молибденитом. Содер-жание молибдена до 0,03%	6
68	IV-4	р.Гилей	Кварцевая жила с молибденитом. Содержание молибдена 0,001%	5
69	IV-4	р.Гилей	Окварцованные катаклизиты с мо-либденитом. Содержание молибдена	5

			1	2	3	4	5
			1	2	3	4	5
74	IV-4	р.Гилой			0,003%.		
					Катализиты с молибденом. Со- держание молибдена 0,02%		
7	I-3	р.Шыкжак			Кварцевые жили с молибденом. Содержание молибдена 0,003-0,03%		
					Спектрометаллоргический ореол рассеяния		
II	II-3	р.Штыкжак			Ниобий		
					Пегматитовая жила с вкрапленностью 5 колумбита. Содержание ниobia 0,008- 0,01%		
52	IV-3	р.Кавли			Пегматитовая жила с колумбитом (19,6 г/т) и фергусонитом (6,54 г/т)		
					Редкие земли		
53	IV-3	р.Кавли			Бластиомилониты с орбитом и мона- цитом. Содержание лантана 0,5%, церия 3-6%		
					Окварцированные гнейсы с вкрапленно- стью монацита. Содержание церия 2-5%, лантана 0,5%, иттрия 0,05%, тория 0,3%, монацита 4-3 кг/т		
3	I-I	р.Гилой			6		
					Линза эпидот-биотитовых бластоми- лонитов с монацитом и орбитом. Со- держание церия I-3%, лантана 0,7%, иттрия 0,001%, иттербия 0,001%,		
4	I-4	р.Гилой			6		
					7		
45	IV-2	р.Мал.Джелту- лак			9		
					Метасоматические кварц-плагио- каль-микроклиновые граниты. Со- держание церия 0,01-0,02%, церия 0,05-0,06%, иттрия 0,001- 0,002%.		
46	IV-2	р.Мал.Джелту- лак			6		
					Метасоматические кварц-плагиокла- з-микроклиновые граниты. Со- держание церия 0,05%, лантана 0,05%, иттрия 0,1%, тория 0,1%, циркония 1%, ниобий 0,03%		
5	I-I	р.Гилой			6		
					7		
47	IV-2	р.Мал.Джел- тулак			47		
					7		
					Кварц-плагиоклаз-микроклиновые метасоматиты. Содержание церия 1%, лантана 1%, иттрия 0,2%, гафния 0,01%, скандия 0,001%, циркония 0,3%, фосфора 3%		

I	2	3	4	5
НЕМЕТАЛЛИЧЕСКИЕ ИСКОПАЕМЫЕ				
58	IV-3	Керамические сырье р.Казы	Листен Пачка гнейсов. Содержание листена 10,4%	4
72	IV-4	Несиликатные Графит р.Пиль	Катаклазиты с графитом. Содержание графита до 20-30% Кварц-полевошпат-графитовые сланцы. Содержание графита до 50%	5
66	IV-4		Катаклазиты с графитом. Содержание графита до 20-30% Кварц-полевошпат-графитовые сланцы. Содержание графита до 50%	5

В брошюре пронумеровано 121 стр.

Технический редактор П.С.Левитан

Сдано в печать 19/УП 1974 г. Подписано к печати 1/XI 1976 г.
Тираж 200 экз. Формат 60x90/16 Печ.л. 7,75 Заказ 491 с

Центральное специализированное производственное
хозрасчетное предприятие
Всесоюзного геологического фонда

МИНИСТЕРСТВО ГЕОЛОГИИ СССР
МИНИСТЕРСТВО ГЕОЛОГИИ РСФСР
СЕВЕРО-ЗАПАДНОЕ ТЕРРИТОРИАЛЬНОЕ ГЕОЛОГИЧЕСКОЕ УПРАВЛЕНИЕ

Уч. № 0274

ГЕОЛОГИЧЕСКАЯ КАРТА СССР

МАСШТАБА 1:200 000

СЕРИЯ КАРЕЛЬСКАЯ

Лист Р-36-ХХII

Объяснительная записка

В брошюре пронумеровано 102 стр.

Редактор Р.Н.Ларченко
Технический редактор Е.М.Павлова
Корректор Л.Л.Сеникова

Сдано в печать 20/IX 1973 г. Подписано к печати 29/I 1976 г.

Тираж 150 экз. Формат 60x90/16 Печ. л. 6,5 Заказ 1295с

Центральное специализированное производственное
предприятие
Всесоюзного геологического фонда

ВВЕДЕНИЕ

Территория листа Р-36-ХII расположена в Южной Карелии и занимает центральную часть Онежско-Ладожского перешейка. Тектонические координаты ее: $33^{\circ}00'$, $-34^{\circ}00'$, в.д. и $61^{\circ}20'$, $-62^{\circ}00'$, с.ш. Площадь листа составляет 3914 км^2 . Административно эта территория относится к Прионежскому и, незначительная часть, Олонецкому районам Карельской АССР.

Рассматриваемая территория представляет собой равнину, где, в соответствии с особенностями геологического строения, выделяется несколько участков с тектонически различными формами рельефа, наиболее крупными из которых являются Шуйская низина и Олонецкая возвышенность. Шуйская низина, занимающая центральную часть территории и полого наклоненная на восток, представляет собой обширную плоскую равнину, в пределах которой абсолютные отметки поверхности колеблются от 55–60 до 90–100 м. Однообразный равнинный характер ее рельефа лишь местами нарушается одиночными холмами и грядами.

К юго-западу от Шуйской низины отмечается площадь преимущественного развития холмисто-грядового ландшафта с абсолютными отметками поверхности от 100 м в южной до 240 м в северной части, где рельеф отличается максимальной расщепленностью (Урокская гряда). Относительные высоты гряд и холмов иногда достигают 40–60 м. Такой же характер рельефа наблюдается и к северу от Шуйской низины. Абсолютные отметки поверхности в этой части территории несколько ниже – от 100 до 160 м. Значительным развитием здесь также пользуются плоские заболоченные участки. В юго-восточной части описываемой территории четко выделяется платообразная Олонецкая возвышенность, абсолютные отметки поверхности которой колеблются в пределах 180–314 м. К крутым ступенчатым северному и западному склонам возвышенности примикают южнокоренные образования карельского оледенения. Северо-восточнее оз. Ник.

Падозеро на кристаллических породах развит холмисто-травяной рельеф с абсолютными отметками 90-150 м при колебаниях относительных высот до 30-40 м.

Гидрографическая сеть относится к бассейну Балтийского моря и связана непосредственно как с Онежским, так и Ладожским озерами, водораздел между которыми расположен севернее озер Топорное, Топозеро, отходит с юга оз. Святозеро и далее на северо-восток проходит в пределах северной Олонецкой возвышенности. Реки местами характеризуются большей разработанностью русла, чем в более северных районах Карелии. Среди них наиболее крупными являются р.Шуя с притоками Сяньгой, Кутежной, Задней и Святрекой, р.Важенка с Тужшей и Рандозеркой, р.Тогорная с Топозерской и р.Люба. Многочисленные озера занимают около 12-15% площади листа. Большинство из них расположено в понижениях аккумулятивного рельефа. Наиболее крупным (270 км²) является оз.Самозеро с изрезанной береговой линией и далеко в озеро выступающими полуостровами (наволоками). Вагатозеро, Штогозеро и множество более мелких озер, размещавшихся неравномерно по всей территории, имеют в основном овальноизометричные или неправильные очертания.

Климатические условия района характеризуются неустойчивостью озера вытянуты согласно ориентировке элементов рельефа (оз.Святозеро, Пеллозское, Пряжинское и др.).

Передко озера вытянуты согласно ориентировке элементов рельефа, обусловленной расположением его в зоне активной циклонической деятельности. Продолжительная относительно мягкая зима сменяется коротким прохладным летом при значительной облачности и большим количестве осадков в течение года. Среднегодовая температура +2,5°, среднегодовая сумма осадков – 529 мм.

Главными путями сообщения являются Октябрьская ж.д. между станциями Падозеро и Эссоила на линии Петрозаводск-Сортавала-Ленинград, а также участки шоссейных дорог, соединяющих г.Петрозаводск-г.Суоярви, г.Петрозаводск-г.Олонец, с ответвлением Упос-Пряжа на с.Верхозеро. Кроме того, имеется сеть грунтовых дорог, связывающих между собой населенные пункты района. Наиболее крупными из них являются пос.Пряжа, пос.Верхний Олонец, с.Эссоиль, пос.Матросы, Интерпоселок, с.Святозеро и пос.Верхненажинский.

Бедущей отраслью народного хозяйства является лесоразработка промышленность. Сельское хозяйство и звероводство играют второстепенную роль. В районе оз.Самозера развит речной промысел.

Территория листа Р-36-ХХII не привлекала внимания исследователей вследствие широкого развития мощного покрова четвертич-

ных отложений. Большинство известных геологов и естествоиспытателей XIX и начала XX вв. занимались изучением геологического строения и полезных ископаемых на долине обнаженных частей Прионежья, непосредственно примыкающих к западному берегу Онежского озера. В работах Г.Бутенева (1830), Я.Зембидского (1830), В.Комарова (1842, 1951), Р.Мурчисона (1845) и Г.П.Гельмерсена (1860) приводятся первые отрывочные сведения о пещерниках и вулканических породах Прионежья. Позднее геологические исследования на побережье Онежского озера производились в значительно больших объемах. В них участвовали такие крупные исследователи как А.А.Иностранцев (1871-1877) и Ф.Ю.Леэлинсон-Лессинг (1888).

В период с 1901 по 1944 г. изучением геологического строения Западного Прионежья занимались как советские, так и финские геологи: С.А.Яковлев (1903), В.Рамсей (Ramsay, 1902-1906), В.Вальт (Wahl, 1908), П.А.Борисов (1910), В.М.Тимофеев (1909-1935), П.Эскола (Eskola, 1921-1925), Н.Д.Судовиков (1937,1939), М.А.Гильярова (1941-1955), Р.Мармо (Marmo, 1949) и др. В опубликованных статьях этих исследователей излагаются различные взгляды на геологию и стратиграфию докембрийских образований района. Наиболее существенное значение для понимания геологического строения и распространения полезных ископаемых в Западном Прионежье имеют исследования В.М.Тимофеева, основные результаты которых опубликованы в ряде статей и очерков в 1909-1935 гг. В своей сводной работе В.М.Тимофеев (1935) дал полную стратиграфическую схему докембрия Карелии с учетом данных предшествующих исследователей и основал разделение песчаников Прионежья на две толщи – каменнообрекую и шоткинскую, объединив их в единую ютникскую формацию верхнепротерозойского возраста. Карапито-песчаники шоткинского типа В.И.Тимофеевым отнесены к континentalным образованиям, нижележащие каменнообрековые песчаники – к отложениям мелководного бассейна, а суйсарский вулканический комплекс – к верхам ятултайской формации (онежскому отелю).

И.Седерхольм (Sederholm, 1932), занимавшийся изучением геологии Балтийского щита, относил каменнообрековые песчаники и ображования суйсарского вулканического комплекса к отложениям нижнего ютия (хогланда), а песчаники с внедрившимися в них интрузионными пластами габбро-диабазов – к верхнему ютию. В работах М.А.Гильяровой (1941-1955) рассматриваются вопросы стратиграфии и петрологии суйсарского вулканического комплекса, в частности, верхний протерозой подразделяется на нижний (хогландий), включающий суйсарский комплекс, и верхний

иотний, к которому отнесены каменнодорские песчаники и южно-кварцито-песчаники.

В 1942–1944 гг. в районе нижнего течения р.Шуя исследование проводились финским геологом В.Марко (Марко, 1949), который относит суйсарский вулканический комплекс и кварцито-песчаники Лотозера в раннекотийским образованием, а каменнодорские песчаники – к среднему иотнию.

В 1935–1936 гг. И.М.Покровская проводила первые детальные исследования четвертичных отложений в пределах Онежско-Ладожского перешейка, в результате которых в долине р.Шуя были выделены морские осадки и отмечены береговые линии первого ильменского моря. Для района оз.Сямозера И.М.Покровской составлена карта четвертичных отложений масштаба 1:100 000.

В 1936 г. была опубликована сводная работа Б.Ф.Землякова "Четвертичная геология Карелии", в которой автор положительно решает вопрос о позднеледниковом морском проливе между Белым и Балтийским морями по долине р.Шуи. Существование этого пролива позднее было подтверждено работами финских исследователей Э.Холла (Нуттра, 1943) и К.Мёльдера (Mölder, 1944).

После Великой Отечественной войны, с 1945 по 1952 г., в пределах территории листа Р-36-ХIII проводились поисковые и поиско-разведочные работы на выявленных здесь магнитных аномалиях (Намошко, 1946; Виленский, 1950ф; Шаганова, 1951ф; Алексеева, 1953ф). В результате проведенных работ была выяснена природы аномалий. По участкам Киндасово-Маньгинской зоны были также ориентировочно определены запасы железных руд в количестве 1,8 мин.т при содержании железа растворимого от 27,63 до 32,18%.

В 1946–1950 гг. К.О.Кратц занимался изучением основных пород Прионежья. Осадочные образования иотния К.О.Кратц относит к отложениям поздних моласс карельской фазы, слагающих структуру типа платформенной синеклизы.

Из монографических сводок наиболее существенными являются: по геологии хогландин – иотния Балтийского шита работы А.А.Полканова (1956), по геокронологии – А.А.Полканова и Э.К.Герлинга (1961). Среди сводных работ следует также отметить Государственную геологическую карту масштаба 1:1 000 000 листа Р-36, 36 с южной геологической запиской (Перевозчикова, 1959).

В 1959 г. Л.П.Гайдобина в диссертационной работе обобщает многолетние наблюдения над литологическими особенностями и условиями образования иотнических песчаников Прионежья. Песчаники, развитые у города Мурно-Каже на р.Важенке, автор сопоставляет с песчаниками третьей пачки Каменного бора.

В 1959 г. Г.С.Биске публикует сводную работу "Четвертичные отложения и геоморфология Карелии", в которой огриданально рассматривает вопрос о позднеледниковых соединениях Белого и Балтийского морей.

Ряд работ посвящен изучению постседиментационных преобразований пород иотнской формации Прионежья (Копелиович, Симанович, 1964; Симанович, 1964ф). В статьях Е.В.Библикова, А.И.Тугаринова и др. (1963, 1964) приводятся результаты определения абсолютного возраста песчаников и алевролитов петрозаводской и щоткинской свит по спирально-урновому методу.

В 1953 г. на территории листа были начаты плановые геологические съемки. На небольшой площади в районе с.Падозера проводились поисково-съемочные работы масштаба 1:50 000 (Полова, Ляшенко, 1954ф). В 1956 г. рассматриваемая площадь была охвачена геологическими и гидрогеологическими исследованиями масштаба 1:50 000, проведенными 5-м Геологическим управлением (Изотова и др., 1957ф). В отчетах указанных авторов приводится описание докембрийских и четвертичных образований и соответствующие карты.

В 1959–1964 гг. на площади смежного листа Р-36-ХIII проводились геологические съемки масштаба 1:50 000 (Кайрак, Экман и др., 1960ф; Мартинов и др., 1965ф), в результате которых были существенно уточнены разрезы осадочно-вулканических и осадочных пород сегозерско-онежской и иотнской серий, а также установлено сложное строение четвертичных отложений. А.И.Кайрак (1960, 1963) выделяет новую бесовецкую свиту, венчающую разрез сегозерско-онежской серии.

В 1964 г. издана составленная Е.М.Михайлук и Л.П.Гайдобиной Государственная геологическая карта масштаба 1:200 000 листа Р-36-ХIII с объяснительной запиской к ней. Авторами впервые выделены на карте падосская и шуйская свиты (см. их описание в настоящей записке).

В 1962–1964 гг. площадь листа Р-36-ХIII была покрыта геологической съемкой масштаба 1:200 000 (Экман, Вильгер и др., 1964ф), сопровождавшейся структурно-картировочным бурением, гидрогеологическими наблюдениями и просмотром карна ранее пробуренных скважин. Для всей площади были составлены геологические карты ложеморийских пород и четвертичных отложений масштаба 1:200 000.

В 1945–1963 гг. территория листа неоднократно перекрыта листами аэромагнитными съемками масштаба 1:200 000 (Сусленинков, 1946б; Поротова, 1960ф) и 1:100 000 (Сипакова, 1964ф).

Гидрогеологические исследования на рассматриваемой площади производились полуторно с полоково-разведочными, геологобурением и инженерно-геологическими работами, а также в связи с бурением эксплуатационно-разведочных скважин на воду (Березкина, 1958г; Солнышков, 1961г, 1962г).

Многочисленные поисково-разведочные работы на различное строительное сырье (доломиты, песчано-гравийный материал, минеральные краски, коричневые глины) проводились Северо-Западным геологическим управлением, Ленгидрорудтрестом и другими организациями.

При составлении государственных геологических карт листа Р-36-ХII и объяснительной записи к ним в основу положены материалы комплексной геологической съемки масштаба 1:200 000 на этой площади, сопровождавшейся бурением глубоких скважин (Экман и др., 1964г). Частично были использованы результаты геологической съемки масштаба 1:50 000 в районе с. Падозера (Попова, Ляшенко, 1954г). Сведения о четвертичных отложениях были дополнены из работы И. М. Погорелой (1936г). С целью увязки разреза отложений ваддайской серии были учтены материалы Н. А. Пахтусовой (1962), описаний аналогичные обозрания, вскрытие Гонгинской и Олонецкой скважинами лижнее рассматриваемой территории. Использованы также данные аэромагнитной съемки и всех пробуренных глубоких скважин. Некоторые неувязки геологических контуров карты dochetvertichnykh porod lista R-36-ХII с картами ранее составленных смежных листов Р-36-ХI и Р-36-ХIII связаны с получением нового фактического материала при геологической съемке 1962-1963 гг.

При составлении карты полезных ископаемых преимущественно использовались материалы по геологической съемке, поисково-разведочным работам и по разнедже месторождений строительных материалов, а также сводная работа Л. А. Мордюлко (1959 г.) и баланс запасов по разным видам сырья.

В настоящее время по геологическому строению территории листа имеется ряд еще не решенных вопросов. По-прежнему наиболее важным остается определение нижней стратиграфической границы петрозаводской свиты и ее взаимоотношений с более древними образование, а также изучение буровыми и наземными геофизическими работами полного разреза пород гимольско-парандовской серии с целью возможного обнаружения в них практически интересныхрудоносивших магнетита. Открытым остается вопрос о перегорожении продуктов разломления ловадайской коры выветривания (каолинита и др.) в глубоких понижениях кристаллического фундамента.

СТРАТИГРАФИЯ

На территории листа распространены архейские и протерозойские образования, перекрытые четвертичными отложениями.

К архейской группе относятся интрузивные породы — шлаго-клавовые тибето-граниты и тибето-гранодиориты. Они являются основанием для более молодых протерозойских образований.

Протерозойская группа включает комплексы пород нижнего, среднего и верхнего протерозоя. К нижнепротерозойской подгруппе относятся амфиболиты, различные сланцы, магнетитовые кварциты, а также основные и кислые эфузивы гимольско-парандовской серии. Среднепротерозойская подгруппа представлена осадочно-вулканогенным образованием сеговерско-онежской серии. К верхней подгруппе протерозоя относятся осадочные отложения иотийской серии (предположительно), а также песчаники и глины ваддайской серии, несогласно залегающие на архейских и всех более древних протерозойских породах^Х.

Четвертичная система включает нижне-, средне- и верхнечетвертичные, а также современные отложения, которые в виде покрова различной мощности распространены почти повсеместно.

ПРОТЕРОЗОЙ

Нижний протерозой

Гимольско-парандовская серия

К нижнепротерозойской подгруппе отнесены образования гимольско-парандовской серии, представленные городами межозерской и бергаульской свит. Они встречаются в центральной части рассматриваемой территории. По решению Межведомственного стратиграфического комитета (1963 г.) ваддайская серия отнесена к верхней подгруппе протерозоя, а в отношении иотийской серии отмечено, что ее возраст, возможно, доверхнепротерозойский.

риваемой площади в районе пос. Кинесово и Маньга, где слагают сложноскладированную синклинальную структуру меридионального простирания протяженностью около 54 км и шириной до 6 км, с запада и востока ограниченную гранитоидными породами архейского и протерозойского возраста. На юге породы гимольско-парандовской серии перекрыты валдайскими образованиями верхнего протерозоя. Господствующее простирание пород субмеридиональное с падением на запад под углами 50–75° (до 90°). Суммарная мощность их достоверно не установлена ввиду того, что породы в пределах синклинали собраны в мелкие опрокинутые складки.

Нижняя стратиграфическая граница нижнепротерозойских образований в пределах территории листа Р-36-ХП неизвестна. Можно лишь предполагать, что они подстилаются архейскими гнейсо-границами. Верхняя стратиграфическая граница определяется тем, что породы серии прорываются нижнепротерозойскими птилио-микроклиновыми гранитами и габро-диабазами. Стратиграфическое положение и состав образований, отнесенных к нижнему протерозою, позволяют нам сопоставить их со сходными породами парандовской и гимольской серий (К.О.Крапц, 1957 г.; В.М.Чернов, М.М.Стенар, 1960 г.; К.О.Крапц, В.М.Чернов, 1963 г.).

Межозерская свита (Pt_1^{mg}) наиболее широко и полно представлена на участке Кинесово–Маньга, где разрез ее изучен скважинами. В нижней части свиты наблюдается грубое пересланывание амфиболитов, кристаллических магнетитовых, куммингтонит-трянеритовых и графитистых сланцев, а также роговиков, сопровождаемое прослоями (мощность до 0,5 м) бедорудных и железистых кварцитов. выше по разрезу увеличивается количество пачек железистых кварцитов, мощность которых колеблется в пределах 0,4–4,91 м, и появляются кварцевые разности амфиболитов, магнетитовые прослои гранатовых и кварц-серпилитовых сланцев, метадиабазы и метамандельштейны. Суммарная мощность межозерской свиты 350–450 м.

Амфиболиты представлены сланцеватыми, грубообластными или пятнистыми темно-серыми, грязно-зелеными и серовато-зелеными породами тонко-, средне- и крупнозернистого сложения. Среди них выделяются собственно амфиболиты и их кварцевые разности. Минералогический состав характеризуется наличием амфибола – обычно – венчайшей обманки и актинолита – 50–75%, плагиоклаза основного ряда (№ 35–50), иногда олигоклаз-андезина 10–15%, кварца 10–20% (в кварцевых разностях – до 30%). Второстепенные минералы представлены эпидотом, пизитом, карбонатом, хлоритом, сери-

литом, лейкоксеном и всегда рудными. Редко отмечаются гранат, скалолит, турмалин, сфеен и апатит. Структура неметабластовая и гранонематобластовая, реже порфиробластовая, участками пойкилопорфиробластовая, гранопойкиломатобластовая и глохмеробластовая, иногда гранонематобластовая с реликтами дабластовой. Порфиробластические разности амфиболитов характеризуются присутствием порфиробласт амфибила размером до 5 мм по длиной оси, погруженных в гранобластическую массу из основного плагиоклаза № 50–54 и амфибита с примесью пизита, карбоната, сфеена и рудного минерала. Описываемые породы сходны с пебозерскими эфузиями, непосредственно связанными с метамандельштейнами. Это обстоятельство, а также наличие в них остатков первичных структур (диабазовой, ойтовой и габбровой), позволяет предположить, что они представляют собой изменения основные вулканогенные породы. Последующие изменения амфиболитов в результате метаморфизма привели к образованию кристаллических сланцев и роговиков, а также магнетит-амфиболовых сланцев и железистых кварцитов.

Кристаллические сланцы встречаются преимущественно на Маньгинском участке и в районе оз. Чопчем. Текстура их сланцеватая и полосчатая, структура гранонематобластовая с элементами полкилобластовой, реже микрографической и роговиковой. В составе преобладает плагиоклаз (до андезина и олигоклаз-андезина), кварц, хлорит, пизит и эпидот, амфибол играет подчиненную роль. Различные количественные вариации этих минералов дают птилио-амфиболовые, пизит-птилио-амфиболовые и амфибол-кварц-серпилитовые, разности сланцев, иногда с прослоями графита и рассеянной вкрашенностью пирита и халькопирита. Участками сланцы милонитизированы.

Роговики образуют преимущественно маломощные прослои (0,2–0,5 м) и состоят в основном из кварца и плагиоклаза, чаще альбита. Среди них различаются следующие разности: пизит-эпидот-амфибол-кварцевая, альбит-амфибол-кварцевая и гранат-кварц-амфиболовая. Структура их роговиковая, участками гранобластовая и гранонематобластовая, текстура полосчатая.

Магнетит-амфиболовые сланцы наблюдаются в виде редких маломощных прослоев, приуроченных в основном к контакту ортоамфиболов с кварцитами. Сланцы интенсивно гранитизированы, насыщены сульфидами и магнетитом. Амфибол в них представлен куммингтон-трянеритом, реже актинолитом. Присутствуют также кварц, карбонат (кальцит, реже сидерит) и сфеен. В описываемых сланцах наблюдаются реликты первичной породы основного состава, предста-

ленные слойками, состоящими из зерен амфиболя и тонкого агрегата доизита, хлорита и рудной пыли, чередующимися с прослоями кварцитового роговика и линзовидными выделениями рудного минерала.

Амфиболовые, амфибол-магнетитовые и магнетитовые кварциты – тонкополосчатые темно-серые, серовато-зеленые и серые породы, существенно состоящие из кварца и подчиненных ему амфибола и магнетита, количество которых является переменным, определяющим соответствующие разновидности пород описываемой группы. Полосчатая текстура кварцитов обусловлена тонким чередованием слоеев магнетитового, магнетит-амфиболового с примесью граната и турмалина, кварц-амфиболового, амфибол-кварцевого и кварцевого состава. Кроме того, в кварцитах присутствует графитистое вещество в виде примазок, пленок и линзообразных выделений. Отмечается также выраженная и хликоватые обособления сульфидов – пирита, халькопирита, иногда сфalerита, арсено-пирита и леллинита; в одном случае обнаружено золото. Амфибол представлен преимущественно актинолитом, гранатом и куммингтонитом. Содержание магнетита неравномерное: от 10–15% (в амфиболовых разностях) до 25–35% (в магнетитовых кварцитах). Участками кварциты милонитизированы, перемыты и раздроблены, а в контакте с метадиабазами и ортоамфиболитами превращены в роговики.

Генезис описываемых пород трактуется двояко. С одной стороны, имеются данные в пользу отнесения их к породам, возникшим метасоматическим путем, с другой – к породам осадочного происхождения. Возможно, часть железистых кварцитов образовалась метаморфически, как отмечали В.И.Намюшко и К.К.Судиславлев (1946), за счет преобразования основных эжмузитов и, частично, интрузивных пород. Осадочное происхождение некоторой части описываемых пород подтверждается наличием довольно выдержаных по простиранию (до 2–3, реже 5 км) и по мощности пачек рудных кварцитов, частой пережимаемостью их с граубистыми и граубит-серпентиновыми сланцами с гранатом, сульфидами и магнетитом, которые являются осадочными образованиями, и присутствием таких минералов как слюды и гранат.

Граубистые, граубит-серпентит-кварцевые и серпентит-хлорит-графитистые сланцы, образующие пачки, прослой и линзы мощностью от 1 см до 0,7–1,2 м, представляют собой темно-серые и черные тонкополосчатые тонкосланцеватые породы, состоящие из кварца, сериита и небольшого количества альбита и хлорита с примесью граубистого вещества, насыщенного вкрашиваниями сульфидов и

магнетита. Текстура их полосчатая, сланцеватая, структура блестопелтовая. Первичным материалом для город этой группы, по-видимому, служили глинистые и битуминозные отложения.

Метадиабазы и метамандельштейны отмечены в основном в верхах Межозерской свиты в виде покровов мощностью 15–25 м, реже 2–3 м. Это тонкозернистые породы зеленовато-серого и темно-серого цвета массивной и миндалевидной текстуры, участками рассланцованные и превращенные в карбонатизированное и эпидотизированное сланцы с гранатом. Минеральный состав их характеризуется наличием амфибол-актинолита, плагиоклаза (раскинутого до альбиты) с новообразованиями карбоната, эпидот-доизита, хлорита и рудного минерала. В метамандельштейнах миндалевидные (размером от долей мм до 2–3 мм) выполнены кварцем и карбонатом. Структура пород микрообломочная, участками граненомат-порфиробластовая.

Бертаулясская, нижняя подсвита ($Pt_1 \delta_1$). Породы этой свиты выявлены на северном участке Восточно-Маньгинской магнитной аномалии, но выделение их в бертауляскую свиту является условным и вызвано налаживанием плагиопорфиров на породы Межозерской свиты, а также присутствием в последних жильных образований плагиопорфиров.

Плагиопорфириты представляют собой породы светло-серого и розовато-серого цвета, обычно массивные, иногда сланцеватые, состоящие из альбита и кварца с примесью новообразованной серпентита, доизита, реже карбоната, биотита и мусковита. Структура их порфировая, обусловленная наличием порфиробластов плагиоклаза и кварца. Они слагают тела мощностью от 25 до 70 м, реже маломощные жилы (около 0,3 м).

СРЕДНИЙ ПРОТЕЗОЙ

На территории листа распространены осадочные и вулканогенно-осадочные образованиями онежско-сегозерской серии среднего протерозоя.

Сегозерско-онежская серия

Образования сегозерско-онежской серии распространены к северо-восточной части рассматриваемой территории и приурочены к западному крылу Онежского синклиниория. Они представлены вулканогенно-осадочными отложениями туломозерской, заонежской, суйкарской и падосской свит.

Породы туломозерской свиты (Pt_2 tt)

распространены в районе оз. Нижн. Шадозеро и пос. Матросы. Гарфес этой свиты, представленной доломитами, доломитовыми сланцами, переслаивающимися с глинистыми, кремнистыми и другими сланцами и сланцевыми седиментогенными брекчиями, может быть сопоставлен с разрезом нижней пачки (Pt_2 t_2^{fa}) верхней подсвиты туломозерской свиты. Более низкие горизонты свиты в районе не установлены, так же как и неизвестны непосредственные взаимоотношения описываемой тюдии с подстилающими и перекрывающими породами. Полные разрезы отложений туломозерской свиты известны севернее рассматриваемой территории (лист Р-36-ХУГ). Восточнее эти породы вскрыты скважиной в районе пос. Вилги (лист Р-36-ХШ).

Верхняя полоса. *Пачка а* (Pt_2 и l_2). Эта геоморфологическая карбонатная толща по составу и литологической характеристике может быть подразделена на пять литолого-стратиграфических горизонтов (снизу вверх):

1.	Кварц-доломитовый	3
2.	Доломито-глинистый	•
3.	Глинисто-доломитовый	10
4.	Алеврито-глинистый	8
5.	Песчаник (волорослевый)	15

Суммарная мощность пачки равна 384 м.

Кварц-доломитовый горизонт, залегающий в среднем зернистыми доломитами, содержащими иногда прослой, обогащенные кварцем. Доломиты обладают гетерогранобластовой, микротранобластовой и мозаичной структурами и состоят в основном из карбоната (95–100%) и кварца (3–5%). В разностях, обогащенных

кварцем, содержание последнего может достигать 50%. Инерции наблюдается в виде кристаллов различной формы и величины, а кварц — в виде изометричных зерен размером 0,1-1 мм. Химический состав доломитов следующий (в %): CaO — 29,43-30,31; MgO — 20,91-22,18, H.O. — 1,46-3,96, п.п.п. — 44,88-46,20.

Разрез описываемого горизонта венчается слоем тонкозернистых доломитов красного цвета мощностью 6 м. Доломиты отличаются присутствием пирита (до 8%), окислов железа (8%), небольшого количества рудного минерала, а также крайне неравномерным распределением кварца в виде прослойков и желвачных выделений, составляющих местами около 40% всей массы породы.

Доломито-глинистый горизонт, отделенный от нижележащих почв прослоем сланцевой скречки, представлен серым, зеленовато-

серыми и темно-коричневыми глинистыми сланцами (филилами) с прослойками мощностью от 0,1 до 0,5 м розово-серых, красных и фиолетовых, часто брекчированных доломитовых сланцев.

Сланцевая брекчия залегает на красных доломитах первого горизонта и согласно перекрывает сланцы. Брекчия состоит из обломков размером 0,5–3 см глинистых, доломитовых и кварц-хлоритовых сланцев, спементированных красновато-коричневой породой доломитового состава. Мощность слоя 0,44–3,56 м. Отдельные маломощные прослои сланцевой брекции, состоящей из обломков сиреневых доломитовых сланцев, наблюдаются и среди вышележащих гли-

Глинистые сланцы представляют собой сильно измененные тонкозернистые породы темно-серого, буровато-серого, коричневого и часто зеленоватого цвета. Они состоят в основном из кварца (30–70%) и хлорита (20–40%). В незначительном количестве наблюдается изотропное палтовое вещество, бурне окисли железа, рудный минерал и сфеен. Отмечаются также разности пород, обогащенные серилитом (до 25%) и карбонатом (до 15–30%). Среди сланцев различаются хлорит-кварцевые, кварц-хлоритовые, карбонат-слидистые связанные между собой постепенными переходами.

Глинисто-доломитовый горизонт сложен ритмично-слоистыми доломитовыми сланцами, кварц-хлоритовыми сланцами и алевролитами. Шаг ритма 2–3 см. В основании ритмов отмечаются алевритоглинистые сланцы, которые ложатся на слегка размытую поверхность доломитовых сланцев. Сланцы и алевролиты аналогичны породам других горизонтов. Доломитовые сланцы имеют микрогранобластовую и реже кристокристаллическую структуры и состоят из карбоната (50–100%), хлорита, кварца, глинистого вещества и поизита. Местами они оталькованы.

Алеврито-глинистых и глинистых сланцев с прослойками доломитовых сланцев. Алеврито-глинистые сланцы представляют собой тонкопластичные породы, состоящие из чередующихся темно-серых, зелено-блестящих и серых прослоев мощностью 0,5-5 см хлорит-кварцевых кварцевых и доломито-кварцевых сланцев, связанных между собой постепенными переходами. Иногда в них отмечаются знаки ряби и трещины усыхания. Структура сланцев алевропелитовая, микролепидитовая. Они состоят из кварца (50-70%), хлорита (20-40%), карбоната (2-10%), в виде примесей присутствуют турмалин и сферулы карбоната. Среди глинистых сланцев по составу выделяются кварц-хлоритовые кремнистые разновидности, сходные со сланцами доломито-глинистыми.

го гидроизонта. Тонкоголосчатые кремнисто-глинистые сланцы характеризуются чередованием прослоев, отличающихся по содержанию в них пелитового и кремнистого материала. Локальное распространение у контактов с интрузивными диабазами имеют актинолит-каровые, хлорит-амфиболовые и талько-карбонатные сланцы.

Доломитовый (водорослевый) горизонт представлен доломитами, обладающими массивной, пятнистой, брекчийдной и неяснолосчастой текстурами, а также чрезвычайно изменчивой окраской различного цвета. По ряду литологических признаков доломиты подразделяются на три разновидности, связанные между собой постепенными переходами. Розовые доломиты – это в большинстве случаев крупнозернистые и, реже среднезернистые с мозаичной структурой породы, состоящие из карбоната (85–99%) и кварца (1–15%). Карбонат наблюдается в виде зерен размером 0,5–4 мм, в промежутках между которыми располагаются мелкие (0,3–0,4 мм) зерна кварца овальной формы. Химический состав доломитов следующий (в %): CaO – 25,89, MgO – 18,52, Al₂O₃ – 10,49. Кварцодержащие разности доломитов, характеризующиеся красновато-стриевою окраской, обладают гранобластовой или гетерогранобластовой структурами и состоят из кварца (35–100%) и карбоната (доли % – 65%).

Водорослевые доломиты, которыми венчается разрез пород

туломозерской свиты, представляют собой плотные мелкозернистые

породы серого и розово-серого цвета, иногда пятнистого облика.

Эти разности доломитов, выходы которых наблюдаются в карьерах и "деревских" ямах у с.Падозера, содержат постройки сине-зеленых водорослей типа строматолитов, отнесенных Р.В.Бутиным (1959 г.) к роду *Calevia olenica* Butin.

З а о н е ж с к а я с в и т а н е р а с ч л е н е н –
н а я (Pt₂ ^{пн} 1-2). Породы заонежской свиты, распространенные в районе оз.Ниж. и Верх.Падозера, обнажаются в ядре антиклинальной и крыльях синклинальных структур и непосредственно перекрываются осадочно-вулканогенными образованиями суйсарской свиты. Взаимоотношения их с более древними отложениями не установлены. Вероятно, они согласно залегают на водорослевых доломитах или более древних горизонтах туломозерской свиты, если первые сформировались в условиях небольшой локальной лагуны (Попова, 1954). В связи со слабой однотипностью района, разобщенностью нефтогочистенных опорных разрезов, вскрывших различные горизонты заонежской свиты, и неоднаковым положением их в геологических структурах она на карте дается нерасчлененной.

Наиболее низкие горизонты свиты, сложенные шунито-глини-

стыми и шунитовыми сланцами, переслаивающимися с туфосланцами и миндалевидными метадиабазами с вкрапленностью пирита, вскрыты скважиной западнее с.Падозера. Видимая мощность толщи 27,75 м. Черные и темно-серые шунито-глинистые сланцы состоят из пели-кварцевого вещества (75–80%), частично раскристаллизованного в хлорит-кварцевый агрегат, и тонкораспыленного шунитового материала (до 10–12%). Структура их бластопелитовая и алевропелитовая. В состав шунитовых сланцев входит преимущественно углистое вещество (до 85–95%). Мощность прослоев сланцев достигает 3,7 м. Миндалевидные диабазы представляют собой сильно измененные серые и зеленовато-серые породы, характеризующиеся бласто-офитовой структурой. Миндалины выполнены хлоритом, кварцем и углистым веществом. Главными породообразующими минералами являются птициклас и хлорит. Возможно, эти миндалевидные метадиабазы следует считать интрузивными образованиями, внедрившимися в виде маломощных (4,5–7,3 м) согласных тел в толще сланцев.

Туфосланцы – это зеленовато-серые тонкосложные породы с бластоалевритовой и бластоалевропелитовой структурами. Помимо вулканического материала (стекла и хлорита до 40%) в туфосланцах наблюдается глинистое вещество (45–55%), зерна кварца, плагиоклаза и, реже рудных минералов, а также обломки кварцита и хлорито-глинистого сланца. Мощность прослоев туфосланцев достигает 3,9 м.

Средние горизонты заонежской свиты, залегающие выше туфосланцево-сланцевых образований, установлены северо-восточнее оз.Верх.Падозера. В состав этой толщи входит кремнисто-шунитовый и птицикласовый сланцы, переслаивающиеся с доломитизированными известняками. Мощность толщи около 190 м. Кремнисто-шунитовые сланцы представляют собой очень плотные темно-серые и черные породы, местами сильно трещиноватые и брекчированые. Они характеризуются бластоалевропелитовой структурой и микрослоистостью. Основная масса породы сложена тонкораспыленным агрегатом и птицикликами птициклического вещества. Шунито-кремнистые сланцы непосредственно перекрывают вышеупомянутые породы, образуя вещества в виде пластинок и пыли (до 25%), обломков глинистого сланца и чешуек серпента. Структура бластоалевритовая и микрокристаллическая. Мощность слоев кремнисто-шунитовых сланцев 22–28 м, а птициклических 5–13 м. Доломитизированные известники образуют два пласта мощностью 8 и 75 м, венчая сланцево-

карбонатную толщу пород. Они характеризуются стально-серой, почти черной окраской, микрозернистой структурой и состоят из зерен кальцита и доломита, промежутки между которыми выполнены черным шунгитовым веществом. В брекчированных разностях известняков в цементе наблюдается также хлорит-глинистый материал и бурые гидроокислы железа.

Верхние части разреза заонежской свиты сложены туфлитами и перекрывающимися ими диабазовыми порфиритами и мицелевидными диабазами. Туфлиты, залегающие на доломитизированных известняках, представлены серовато-бурыми неяснослоистыми плотными породами. Структура туфлитов блестопелитовая и блестокальдеролитовая в сочетании с кристалловитрокластической. В пелитовой основной массе, пропитанной бурыми гидроокислами железа, включены обломки раскристаллизованного стекла кремнистого состава, реже обломки зерен кварца, плагиоклаза, рудного минерала и лейкоксена. Мощность прослоев туфлитов 3-18 м. Эффузивные образования заонежской свиты наиболее широко распространены восточнее оз. Ник. и Верх.Падозера. В южном направлении они постепенно выклиниваются.

Положение их в верхних частях разреза описываемой свиты детально обосновано работами А.И.Кайряка (1960б) и Е.М.Михайлова (1964).

По составу и характеру микроструктуры среди основных эфузивов выделяются диабазовые порфириты и миндалевидные диабазы. Диабазовые порфириты представляют собой мелкозернистые породы с вкраплениками соскристизированного альбита и, реже пироксена, замещающегося карбонатом и хлоритом. Структура основной массы, в состав которой, кроме плагиоклаза и пироксена, входит вулканическое стекло, полураскристаллизованное в хлорит, интерсертальная, с участками гипотипилитовой. Миндалевидные диабазы, вынчащие разрез, наиболее распространены среди образований заонежской свиты. Мощность их достигает 200-300 м. Среди них по внешнему облику различают мелкокристаллические и афганитовые разности темно-серого и зелено-серого цвета. Они обычно содержат значительное количество миндалин, выполненных пенинитом, реже кварцем, карбонатом и цоизитом. Главными породообразующими минералами диабазов являются плагиоклаз и пироксен, второстепенными — хлорит, эпилом-лопезит, актинолит, карбонат, кварц, лейкоксен, рудные минералы и бурые гидроокислы железа. Структура их микроЭфузивная и блестоэфузивная. Суммарная мощность заонежской свиты 700-800 м. Миндалевидные диабазы, вероятно, с перерывом перекрываются туфогенными породами суйсарской свиты.

Образования суйсарской свиты ($Pt_{2,3}$) распространены ограниченно и отмечены восточнее и северо-восточнее озера Ник. и Верх.Падозера, где они, перекрывая породы заонежской свиты, слагают крылья Падозерской и ядро Карельской синклинальных структур. На территории ядра свита представлена образованиями нижней подсвиты, сложенной туфлитами, туфами, туфопесчаниками и туфосланцами, согласно перекрытыми покровами плагиоклазовых и плагиопироксеновых порфиритов. За пределами рассматриваемого района, на площади листов Р-36-ХУЛ, ХУЛ, ХХШ непосредственно в основании суйсарской свиты местами установлены полимитовые конгломераты и кремнисто-глинистые сланцы с туфовым материалом (Яковleva, 1961, 1962; Кайряк, 1960; Михайлук, 1964).

Нижняя подсвита ($Pt_{2,3,1}$). Туфлиты, туфы, туфопесчаники и туфосланцы, слагающие низы подсвиты, характеризуются резкими изменениями мощности и быстрой фациальной сменой одних разновидностей другими по простираннию. Разрез этих пород северо-восточнее оз. Верх.Падозера, на крыле Карельской синклинали (Экман и др., 1964б), представляется в следующем виде (от молодых к древним):

1. Плагиоклазовые порфириты афганитовые	более 20 м
2. Туфы	14 "
3. Туфлиты	12 "
4. Туфосланцы	II "

Суммарная мощность пачки осадочно-туфогенных пород 37 м. Восточнее оз. Ник.Падозера, на крыле Падозерской синклинали, мощность пачки осадочно-туфогенных пород значительно больше и иногда превышает 300 м. В основании толщи здесь наблюдаются преимущественно туфлиты и туфопесчаники. В южном направлении мощность пачки уменьшается, и она постепенно выклинивается.

Наиболее распространенными разновидностями туфогенных пород являются туфы и туфлиты, которые представляют собой, обычно, серовато-зеленые и серые пористые столястые тонко- и мелкобольшие породы. Столистость в них вызвана чередованием прослоев плинз, отличающихся цветом (от серых до бурых) и зернистостью (от псевдосамитовых до пелитоморфных). Толщина прослоев колеблется от полей мм до 10-15 см. Переходы между ними постепенные. Пространение столястости меняется в зависимости от положения пород в структуре; углы падения, в среднем, составляют 15-25°.

Туфлиты и туфы микроскопически различаются лишь по содержанию

Пирокластического и осадочного материала. Туфы содержат 70–90% вулканического материала, а туфиты состоят на 50–70% из пирокластического и не более 50% осадочного материала. Среди них отмечается разновидность, выделяемая по преобладанию обломков или минералов (плагиоклаз, пироксен, реже кварц, амфибол), или эфузивных пород (порфирит, диабаз и др.), или вулканического стекла, часто полураскристаллизованного в хлоритовый агрегат.

Пирокластический материал представлен округлоугловатыми и полуокруглыми обломками размером от 0,04 до 2–3 мм. Отмечаеться также обломки размером до 0,6–1 см, состоящие из туфосланцев, кварцитов, фyllитов и глинисто-кремнистых сланцев. В основании структуры туфы и туфиты содержат обломки карбонатных пород. Структура их бластоевропелитовая с участками пелитоморфной и алевропелитовой, реже — псевдосаммитовая, гиалопелитовая и пиломакитовая. Цемент, обычно, горового типа и состоит из мельчайших обломков пироксена, амфибола, хлорита, бурого стекла и глинистого материала, местами — карбоната. Изредка встречаются зерна оргита и сфена.

На Орила и Судак. Туфосланцы и туфопесчаники встречаются в виде маломощных прослоев среди туфов и туфлитов. Иногда они залегают в основании толщи на заонежских мицелловидных диабазах, образуя пластины значительной мощности. Туфосланцы и туфопесчаники сходны с такими же образованиями заонежской свиты, отличаясь от них наличием среди пирокластического материала обломков диабазовых пород и отсутствием кремнистого вещества и кварца.

осадочно-туфогенных породах, представлены пластигзовыми и плагиопироксеновыми порфиритами и, реже их обтекированными разновидностями. Суммарная мощность покровов основных вулканитов района не составляет около 100 м. Порфириты представляют собой письменные альбитовые породы зеленовато-серого цвета с порфировыми включениями альбита и реже моноклинного пироксена. Вкрапленники состоят до 25% объема породы. Основная масса сложена ником составляют до 25% объема породы. Основная масса сложена серовато-бурым стеклом, хлоритом, микролитами альбита, пироксена, зернами эпидота и рудного минерала.

Суммарная мощность супесьи в районе составляет 400–500 м. Образование супесчано-глинистых пород, отнекрываются толщей ритмичносложных песчано-глинистых пород, отнесенных к падосской свите.

Образования падосской свиты (Pt_2/ha) состоят из ритмично-слоистых песчано-глинистых пород, которые вскрыты буре-

ием восточнее оз. Ниж. Падозеро и прослежены по редким обнажениям, пока что отложенные, восточно-стремянные в основном восточнее

одна от другой по литологии. Е.М.Михайлов и Л.П.Ладбоина (1964) придерживаются иного мнения. Слойистые песчаники, алевролиты и придержкаются иного мнения. Слойистые песчаники, алевролиты и сланцы, содержащие туфогенный материал (вулканомитовый — по А.И.Кайрику), они выделяют в составе падосской свиты, считая ее южноицландской ритмичнослойной толщей, завершающей формирование сегозерско-онежской серии Южной Карелии. А сланцево-песчаниковую толщу, не содержащую туфогенного материала, они рассматривают среди ранних ютнинских образований, выделив ее в самостоятельную свиту — более древнюю, чем петрозаводская свита. По данным этих авторов, шуйская свита стратиграфически несогласно залегает на ритмичнослойных породах падосской свиты и суйсаарских эффи-зимах.

На территории листа Р-36-ХII образования падосской свиты распространены весьма ограниченно. Здесь не установлены их взаимоотношения с нижележащими суйсаарскими породами, так же как и присутствие в них туфогенного материала. По обнажению на р.Шуе они без видимого несогласия перекрываются квадрато-песчаниками шуйской свиты (Экман и др., 1964Ф).

На территории листа Р-36-ХIII образования падосской свиты распространены весьма ограниченно. Здесь не установлены их взаимоотношения с нижележащими суйсарскими породами, так же как и присутствие в них тщетенного материала. По обнажению на Р-Шве они без видимого несогласия перекрываются квартито-пестанниками щурской свиты (Экман и др., 1964б).

Авторы настоящей записи, выделив падосскую и щурскую свиты, как и на смежном листе Р-36-ХIII (Михайлов, Галдюбина, 1964), считают необходимым отговорить, что не менее обоснованной следующее считать и точку зрения А.И.Кайрика (1960б, 1963, 1964), объединив

нивного все эти образования в единую бесовецкую свиту. При со-
ставлении этих схем следует иметь в виду, что нижняя подсвита
бесовецкой свиты по объему почти соответствует падосской свите.

Существенное отличие заключается в том, что континентальная и
кварцито-песчаники, известные у дер. Ушозера и западнее с. Соло-
менного, А.И. Кайряк относит к базальным слоям бесовецкой свиты,
а Е.М. Михайлук и Л.П. Галдбиной они рассматривают в основании
шуйской свиты, так же как и кварцито-песчаники оз. Лотозера и

с. Кирпичный Завод.

Падосская свита, по особенностям литологии пород и харак-
теру их переслаивания, подразделяется на две пачки.

Пачка а ($Pt_2 n^d$) прослеживается в крыльях Падозер-
ской синклинали и состоит преимущественно из темно-серых и чер-
ных слюдистых вулканомиктовых алевролитов и тонкозернистых пес-
чаников, содержащих тонкие прослои глинистых, глинисто-утягистых
и углистых сланцев. Часто алевролиты и песчаники обогащены зна-
чительным количеством карбоната (до 60%), а местами содержат
обильную вкрапленность пирита. Для верхних частей пачки характер-
но довольно тонкое ритмичное переслаивание алевролитов, сланцев
и, реже тонкозернистых слюдистых песчаников. Ниже породы приоб-
ретают обычно более грубый характер слоистости, на значительных
участках они совершенно неслойистые, карбонатизированы и обога-
щены вулканомиктовым материалом. В средних частях этой пачки
встречаются маломощные прослои мелкозернистых кварцито-песчани-
ков. Нижние части описываемой толщи в пределах рассматриваемой
территории не вскрыты.

Вулканомиктовые алевролиты и песчаники состоят в основном
из хорошо окатанных обломков кварца, вулканического стекла и
платиоклаза. Зерна вулканического стекла обычно раскрошиваются
в хлоритовый, серидит-хлоритовый и серидит-карбонатный ат-
регат. Структура этих пород псамитовая, алевритовая и пойкило-
блластовая. Цемент — поровый, а в алевролитах и иногда и базальный.
Состоит он из хлорита, серидита, кварца, глинистого и углистого
вещества. Нередко цемент насыщен карбонатом. Из акцессорных ми-
нералов отмечаются сфеен, апатит и рудный. Глинистые, алеврито-
глинистые и глинисто-утягистые сланцы представляют собой черные
и темно-серые, часто тонкослоистые породы, состоящие из глини-
стого и углистого вещества, мельчайших чешуй хлорита и серидита.
Структура их обычно пелитовая и алевропелитовая. Алевритовые зер-
на состоят преимущественно из кварца и платиоклаза. Кварцито-
песчаники встречаются редко. Они состоят главным образом из ока-

танноугловатых зерен кварца, единичных обломков платиоклаза,
кремнистых и глинистых сланцев и основных пород. Цемент большей
частью регенерационный кварцевый.

Мощность нижней пачки 100–150 м. Наиболее полный разрез
ее установлен скважиной восточнее с. Падозеро на глубине 112–
166 м, где она перекрыта отложениями верхней пачки падосской
свиты.

Пачка б ($Pt_2 n^f$) сложена ритмично переслаивающимися
мелко- и среднезернистыми архозовыми песчаниками, алевролитами
и сланцами. Значительно меньше распространены среди них кварц-
ито-песчаники и кварцевые песчаники. Цвет пород преимущественно
серый, темно-серый, зеленовато-серый и буровато-серый. Мощность
пачки 200–250 м. В целом для верхней пачки характерно тонкое
или грубое ритмичное чередование сланцев, алевролитов и песча-
ников. Мощности ритмов варьируют от нескольких мм до 10–15 см.
В средней и верхней частях толщи распространены также ритмы мощ-
ностью 2–3,5 м.

Каждый ритм начинается обычно мелко- или среднезернистыми
архозовыми песчаниками с псамитовой структурой. Они состоят в
основном из угловатоокатанных зерен кварца (40–50%), платиокла-
за (20–25%), микроклина (2–10%), вулканического стекла, чешуек
слюды, обломков пород. Цемент преимущественно порового типа,
глинисто-хлорит-серидитового и хлорит-серидит-карбонатного соста-
ва. Выше в разрезе ритма появляются алевролиты с пелито-алеври-
товой структурой, состоящие из мелких зерен кварца и полевого
шпата, погруженных в глинисто-серидитовый и хлорит-серидит-кар-
бонатный цемент. Разрез ритма в основном завершается гли-
нистыми или алеврите-глинистыми сланцами, на размойной поверхности
которых залегает следующий ритм. Сланцы характеризуются пелите-
вой, алевропелитовой и микрогранулепилобластовой структурами.
Они состоят из глинистого материала и серидит-хлоритового атре-
гата с тонкораспыленным утилистым веществом. Алевритовые зерна
представлены кварцем и полевым шпатом, редко — эпидотом и рудным
минералом. Границы между ритмами резкие, отчетливые, а переходы
между слоями внутри ритмов постепенные. В породах верхней пачки
часто наблюдаются зоны размыва, с аутогенным брекчиями, трещины
усыхания, знаки ряби, следы подводного оползания слоеев. В соста-
ве этой ритмичнослоистой толщи отмечаются также редкие маломощ-
ные прослои кварцито-песчаников и кварцевых песчаников, состоя-
щие преимущественно из угловатоокатанных зерен кварца, редких
обломков платиоклаза, сланцев и основных пород.

Породы верхней пачки падосской свиты перекрыты маркирующим горизонтом кварцито-песчаников, лежащих в основании шуйско-иотнической свиты.

ВЕРХНИЙ ПРОТЕОЗОЙ

К верхней подгруппе протерозоя относятся осадочные породы иотнической (условно) и вальдайской серий.

Иотническая серия

Образование иотнической серии на территории листа представ-
лено отложениями шуйской, петрозаводской и шокшинской свит.

Шуйская свита нерасчлененная (Рт3, ю) впервые выделена на геологической карте листа Р-36-ХIII (Михайлов, Галдбина, 1964). По данным этих авторов, образования свиты широко распространены в нижнем течении р.Шуи и районе оз.Лотозера, где они несогласно лежат на основаниях суйской и падосской свит се-
гозерско-онежской серии. Ве верхняя стратиграфическая граница, т.е. соотношение с петрозаводской и шокшинской свитами, не уста-
новлена. Вследствие этого Е.М.Михайлов и Л.Г.Галдбина (1964)
рассматривают шуйскую свиту условно среди наиболее ранних обра-
зований иотнической серии – более древних, чем петрозаводская
свита. А.И.Кайряк (1960, 1963) относит эти отложения к бесовец-
кой свите, венчающей разрез сегозерско-онежской серии, считая
их также более древними, чем песчаники петрозаводской свиты.

На территории листа Р-36-ХIII отложения, относенные к шуй-
ской свите, распространены на р.Шуе юго-западнее с.Верх.Видани,
вскрыты скважинами восточнее с.Половины и на р.Важенке северо-
восточнее с.Верхневажинского. Из-за неполноты данных о разрезе
шуйской свиты, обусловленной сладой обнаженностью, она на карте
дается нерасчлененной. Полная мощность свиты не установлена, но,
возможно, она превышает 300 м.

В основании свиты залегает пачка мелко- и среднезернистых
кварцито-песчаников светло-серого и розово-серого цвета, со-
держащих участками обломки алевролитов и глинистых сланцев па-
довской свиты. Кварцито-песчаники содержат также прослои сляди-
стых аркозовых песчаников мощностью 5,6 м. Мощность пачки кварци-
то-песчаников 13-16 м. В кварцито-песчаниках, кроме кварца, при-
сутствует некоторое количество плагиоклаза и калиевого полевого
шпата, а также обломки глинистых сланцев и кремнистых пород.

Структура их псамитовая, участками гранобластовая. Цемент типа заполнения пор или соприкосновения, по составу кварц-серпилито-
вый, реже – регенерационный кварцевый. Стратиграфически выше лежит пачка преимущественно тонко переслаивающихся мелко- и тонко-
зернистых аркозовых песчаников серого и зеленовато-серого цвета.
Видимая мощность этой толщи около 49 м. Аркозовые песчаники
состоят из угловатоокатанных зерен кварца, плагиоклаза, микро-
литовый цемент порового и, реже, базального типов. Структура пес-
чаников псамитовая.

В средней части свиты распространены кварцевые и аркозо-
вые песчаники и кварцито-песчаники в переслаивании с алевроли-
тическим характером. Изученная мощность этого горизонта около
30 м. Верхняя часть разреза шуйской свиты представлена глинисты-
ми, алеврито-глинистыми и филлитовидными сланцами с прослоями
алевролитов и аркозовых кварцито-песчаников мощностью до 3 м.
Вскрыта мощность этой существенно сланцевой толщи 55 м. Аркозо-
вые кварцито-песчаники и песчаники средней и верхней частей шуй-
ской свиты существенно не отличаются от таких же пород в ее ниж-
них частях. Сланцы представляют собой тонкослоистые темно-серые,
зеленовато-серые и реже юнгловые породы с пелитовой, алевроли-
литовой и микролепидобластовой структурами. Основная пелитовая
масса в них состоит из переменного количества серпилита (20-70%),
глинистого вещества (5-55%), кварца, хлорита, единичных обломков
турмалина, апатита и рудного минерала. Местами, преимущественно
в верхних частях разреза сланцы, в сланцах отмечена примесь угли-
стого вещества и граната. Алевролиты сложены мельчайшими (от
0,1 до 0,01 мм) зернами кварца, в меньшем количестве плагиокла-
за, чешуйками слюды, хлорита, редко в них наблюдаются зерна пиро-
кана, турмалина, апатита и рудного минерала. Структура их алев-
ролитовая. По минеральному составу описываемые отложения отли-
чаются от нижележащих пород падосской свиты почти полным отсут-
ствием обломков вулканогенных пород и повышенным количеством
полевых шпатов в аркозовых песчаниках.

Породы шуйской свиты в участках, где они перекрыты гори-
зонтально лежащими осадками вальдайской серии, характеризуются
развитием в них коры выветривания мощностью до 63 м (район
пос.Верхневажинский). Здесь отчетливо устанавливается постепен-
ный переход незаменимых плотных аркозовых кварцито-песчаников
и сланцев в рыхлую глиноподобную породу, состоящую в основном

из зерен кварца, серулита, хлорита и каолинита (?). Окраска породы пестрая: фиолетово-серая, коричнево-бурая, темно-желтая и зеленоватая. При растворении между пальцами эта порода легко образует блестящую малистую пленку.

По данным Н.А.Пахтусовой (1962), значительно выше рассматриваемой территории, в районе г. Подгорокля, вскрыта толща метаморфизованных кварцито-песчаников, песчаников, алевролитов и сланцев, которая ею сопоставляется с аналогичными образованиями, развитыми на р.Шуе у с.Бесовца. Таким образом, отложими тщистой свиты весьма широко распространены в Западном и Юго-Западном Прионежье.

На описываемой территории, как и на южной смежного листа Р-36-ХХIII, взаимоотношения пород тщистой свиты с петрозаводским или шокшинским песчаниками и кварцито-песчаниками не установлены.

Петрозаводская свита, верхняя подсвита (Ртз? №2), образования петрозаводской свиты распространена вдоль западного склона Онежской возвышенности, протягивающейся от с.Кашкана, западнее оз.Святоозера, к району с.Рабочий Поселок. За пределами описываемого района (к востоку от него) они обнаруживаются у западного берега Онежского озера — от г.Петрозаводска до р.Свири.

Мощность петрозаводской свиты не менее 300 м. Ниже, в том числе за пределами плояди рассматриваемого листа, до сих пор не установлены ее нижние горизонты. На восточном крыле Онежской синеклизы мощность свиты превышает 500–600 м (Е.М.Михайлов, 1964 г.; Мартынов, 1965 г.).

На Важенке у порога Мурно-Кане петрозаводские песчаники согласно первоначально затронуты процессами выветривания (каолинизация, обеспечивание и т.д.), что может свидетельствовать о существовании перерыва в осадконакоплении между этими свитами.

Отложения петрозаводской свиты по литологической характеристике пород подразделяются на две пачки.

Нижняя пачка сложена преимущественно серыми и розовато-серыми мелко- и реже среднезернистыми песчаниками, содержащими иногда гальку глинистого сланца, алевролита и кварца. Среди плотных песчаников отмечается обособление и простой слабо cementированных песчаников мощностью до 0,6–0,8 м, образованных, по-видимому, за счет выщелачивания карбонатного цемента. Небольшие

обособления таких песчаников придают участками породе калерновый облик. Наблюдаются также кварцевые жилки мощностью до 1–2 см. В разрезе нижней пачки преобладают кварцевые жилки, среди которых встречаются отдельные прослои аргозовых и полевошпат-каровых разновидностей и алевролитов.

Песчаники состоят из окатанных и угловатоокатанных зерен кварца, микроклина, ортоклаза и в небольшом количестве шпато-кала. Содержание полевых шпатов в породе неизвестно: обычно от единичных зерен до 5–10%. В полевошпат-каровых и аргозовых песчаниках количество полевых шпатов колеблется от 10 до 25%. Нередко в них наблюдаются мелкие обломки глинистых и кремнистых сланцев, халцедона, микрокварца, алевролита и измененной основной породы. Встречаются также зерна рудного минерала, апатита, реже циркона и турмалина. Структура песчаников, обычно, псамитовая. Цемент типа соприкосновения или поровый, реже — баритный. Максимальное содержание цемента наблюдается в мелковернистых песчаниках и алевролитах, в среднезернистых разностях присутствие цемента незначительное. По составу цемент глинисто-сернистый, редко регенерационный кварцевый или железистый. Алевролиты, не отличаясь по составу минералов от песчаников, характеризуются псаммит-алевритовой структурой и глинисто-сернистым цементом базального типа. Видимая мощность пачки 120 м.

Верхняя пачка сложена в основном средне- и неравномерно-зернистыми песчаниками, в которых иногда встречаются гальки глинистого сланца, алевролита и кварца. Крупнозернистые и тонкосторожные мелкозернистые песчаники наблюдаются в виде редких прословьев мощностью от 0,1 до 0,9 м, реже — до 4 м (в верхних частях разреза толши). В окраске пород этой пачки преобладают серые, розовые и красные тона. Часто песчаники имеют птичий облик за счет их интенсивного обеспечивания, иногда в них наблюдаются кварцевые жилы мощностью до 10 см. В районе р.Важенки, где породы приурочены к тектонической зоне, они рассланцованны, выветрены и имеют грязно-белую окраску с розовыми пятнами, полевые шпаты в них полностью каолинизированы. Слои песчаников падают здесь на северо-восток под углом до 65–70°.

Песчаники состоят преимущественно из окатанных и полуокатанных обломочных зерен кварца (50–80%). Среди полевых шпатов выделяются микроклин, ортоклаз и редко плагиоклаз, содержание которых колеблется от долей до 5–8%. Встречаются псевдоморфозы каолинита по зернам полевых шпатов, а также мелкие обломки глинистых и глинисто-кремнистых сланцев, микрокварцитов, алевролитов,

хальцона и основной породы. Аксессорные минералы представлены единичными зернами магнетита, апатита, циркона и турмалина. Цемент в основном типа соприкосновения или поровый, по составу глинисто-серидитовый, иногда кварцевый регенерационный и железистый. Мощность верхней пачки не менее 170–190 м.

Цифры абсолютного возраста песчаников и сланцев петроводской свиты Западного Прионежья по калий-аргоновому методу колеблются от 1730 до 1860 млн. лет (Полканов, Герлинг, 1961). Возрастное значение габбро-диабазов, прорвавших южногренландские осадочные образования, определяется в 1810 млн. лет (Казаков, 1963 г.), а возраст секущих диабазов сиенитов составляет 1500 млн. лет (Полканов, Герлинг, 1961).

А.И.Тугаринов, Е.В.Биоиков и др. (1963, 1964), с помощью свинцово-уранового метода, определили возраст песчаников и алевролитов района г.Петрозаводска в 1850 ±100 млн. лет (при значительных колебаниях по отдельным пробам). На основании полученных результатов эти исследователи коррелируют петроводские песчаники и южногренландские кварцито-песчаники с ятульскими осадочными образованиями (поздними карелидами), указывая на идентичность их возраста.

Таким образом, определения абсолютного возраста пород петроводской (каменноборской) свиты свидетельствуют о более древнем возрасте южногренландских образований по сравнению с ридейскими отложениями Русской платформы. Однако в настоящее время нет каких-либо геологических данных, подтверждающих возможность сопоставления южногренландской серии с ятульской формацией карелид. Поэтому авторы настоящей записи рассматривают условно южногренландскую древнюю серию верхнепротерозойской подгруппы. На обра-зованиях южногренландской серии через мощную кору вывет-ривания залегают отложения валдайской серии. Такие данные сви-детельствуют о существовании огромного перерыва в процессе накоп-ления осадков этих серий.

Образования шокинской свиты ($Pt_3?; jf$) широко распространены в юго-восточной части территории листа и за ее пределами – в бассейне р.Ивенки и на западном берегу Онежского озера. В рельфе они сгатают обширное плато, восточная, наиболее приподнятая, часть которого носит название Олонецкой возвышенности.

Наиболее полные разрезы южногренландской свиты установлены на западном крыле Западно-Онежской синеклизы в районе р.Важенки (Экман и др., 1964ф) и на противоположном крыле структуры У

сел Шокши, Перасельти и Пухты (Мартынов и др., 1965 г.). Эти разрезы хорошо увязываются между собой, несмотря на значительное (70–75 км) расстояние между ними. Новые данные в большей степени меняют сложившиеся ранее представления об объеме свиты. Мощность только изученной части разреза южногренландской свиты на территории листа Р-36-ХII определяется в 1200–1250 м. Полная мощность свиты не установлена, но по самим остоюющим подсчетам она, вероятно, составляет не менее 1500 м.

Шокинская свита по совокупности литологических признаков подразделяется на четыре мощных пачки, среди которых может быть выделен ряд менее крупных слоев. Эти пачки наблюдаются только по р.Важенке. На преобладающей части площади развиты южногренландской свиты, характеризующейся чрезвычайно слабой обнаженностью, они совершенно не прослеживаются. Вследствие этого южногренландская свита на карте показана нерасчлененной.

Нижняя пачка, обнажающаяся у порога Мурно-Каже на р.Важенке, сложена преимущественно розовыми средне- и мелкозернистыми кварцитами, включающими слой мощностью 13 м кварцевых песчаников розового и фиолетового цвета, характеризующихся тонкой слоистостью. В нижней части толщи отмечены простой розовых среднезернистых и сланцев темно-серых мелко зернистых кварцито-песчаников мощностью соответственно 3 и 7 м. В основании нижней пачки залегает слой плотных крупно- и неравномернозернистых кварцевых песчаников розово-серого и розового цвета, содержащих гравий и мелкую (1–3 см) гальку кварца, алевролита и глинистого сланца. Мощность его 6 м. Этот слой залегает на песчаниках петроводской свиты, отличающихся слабой механической прочностью, грубой пятнистой окраской, обусловленной интенсивным обесцвечиванием породы, и другими следами выветривания.

Кварциты почти полностью состоят из кварца, единичных зерен рудного минерала, циркона, турмалина и апатита. В них также отмечаются мелкие обломки микрокварцита и кремнистого сланца. Структура их гранобластовая регенерационная, иногда зубчатая и мозаичная. Цемент, пленоный или типа соприкосновения, состоит из сурых гидроокислов железа, регенерационного кварца, рудной пыли, серпилита, редко глинистого вещества. Кварцевые песчаники с плоскостной структурой сложены окатанными и угловатоокруглыми зернами кластическими обломками кварца, единичными зернами циркона, турмалина, рудного минерала, редко – апатита и чешуйками мусковита. Цемент поровый и, редко базальный, по составу обычно железисто-серидит-кварцевый. В тонкослоистых песчаниках отдельные прослои содержат повышенное количество циркона и рудного

минерала. Кварцито-песчаники по минеральному составу сходны с кварцевыми песчаниками, отличаясь значительно большей степенью регенерации пементирующего кремнистого материала.

Видимая мощность нижней пачки 102 м. Эта толща сложена лежащей с хорошо изученным разрезом южинской свиты в районе Шокинского полуострова и карьера. Породы петровозодской и южинской свит у порога Мурно-Каже на р. Важенке имеют простирание $\Theta 345^{\circ}$ и пол угловым $65-70^{\circ}$ падают на северо-восток. Крутое падение пород определено здесь тектоническим нарушением нормального залегания слоев. По данным В.М. Тимофеева (1935), такое падение пород связано с образованием флексуорообразной складки.

Следует отметить, что к долине среднего течения р. Важенки приурочена, вероятно, мощная тектоническая зона субмеридионального простирания, связанная с интенсивным рассланцеванием, трещино-вакостью и окварцеванием пород различного возраста и происхождения.

В разрезе южинской свиты рассматриваемой территории, лежащей стратиграфически выше первой пачки, из-за задернованности не установлена толща сложного переслаивания сланцев и песчаников, вскрытая буровыми скважинами западнее с. Шокин в районе с. Пещасельги - оз. Аланкана. Мощность этой толщи на восточном крыле Западно-Онежской синеклизы - 350-400 м. Неустойчивые камеры выветривания сланцы приурочены, как правило, к пониженным участкам рельефа с покровом четвертичных отложений значительной мощности.

Средние части разреза южинской свиты полно обнажаются только в широтно ориентированной канькообразной долине верхнего течения р. Важенки (ул. Генсай-Сельга), где они отчетливо подразделяются на две крупных пачки.

Первая средняя пачка состоит преимущественно из часто переслаивающихся тонко-, мелко- и среднезернистых кварцевых песчаников и кварцито-песчаников темно-серого, серого и розового цвета. Характерны темно-серые прослои и пленки, обогащенные мат-заком. Мощность прослоев и линз колеблется обычно от 0,5-1 мм до 3-5 см. Среди тонкослоистых пород пачки наблюдаются отдельные слои монотонных светло-серых и бледно-розовых кварцито-песчаников мощностью до 1-3 м и более. Песчаники сложены в основном кластическими зернами кварца. Аксессорные минералы пред-ставлени единичными зернами циркона, турмалина, магнетита, тита-

и обломочки кварцита, кремнистого сланца, порфириода, магнетитового кварцита. Структура псамитовая. Цемент поровый, реже базальный, по составу серцит-кварцевый и железисто-серцит-кварцевый. Нередко цемент обогащен густо распыленным агрегатом тонкозернистого магнетита, иногда в разлитной степени окисленного. Кварцито-песчаники по составу тождествены кварцевым песчаникам, отличающимся сочетанием псамитовой и гранобластовой структур.

В центральной части разреза пачки отмечен слой конгломерата мощностью около 65 м. Галька представлена в основном мюльчо-базальт, водяно-прозрачным, реже черным (димитовым) и коричневым кварцем. Встречается также галька темно-серых и розовых песчаников и кварцито-песчаников, обломки выветрелых серых мелковзернистых песчаников, алевролитов и глинистых сланцев. Вверх по разрезу возрастает количество кварцевой гальки, и порода переходит в однородный мономиктовый кварцевый конгломерат. Окатаанность гальки преимущественно хорошая, отмечается также угловатые и слабо окатанные обломки. Размер их до 10-12 см в поперечнике. В конгломератах, наряду с прослоями с большим количеством гальки, наблюдаются прослои светло-серых кварцито-песчаников с редкой кварцевой галькой. Цемент в конгломератах представлен разновозрастным гравелистым кварцевым песчаником, в котором отмечается обломки кварцита и кремнистого сланца.

Формирование осадков описываемой пачки протекало в очень мелководном бассейне или прибрежной зоне водоема и на суше - в зоне пляжа. Видимая мощность пачки 395 м. Аналогами пород этой пачки на восточном крыле Западно-Онежской синеклизы являются песчаники и кварцито-песчаники района с. Пухты - оз. Ржаного, которые также содержат слои конгломератов.

Вторая средняя пачка сложена в основном мелко- и среднезернистыми песчаниками и кварцито-песчаниками розового цвета различных оттенков. Нижние части этой пачки характеризуются довольно тонким переслаиванием тонко-, мелко- и среднезернистых кварцевых песчаников и кварцито-песчаников светло-розового, розового и темно-розового цвета с обильными мелкими знаками ряби. По типу сплоистости и знакам ряби породы этого горизонта сходны с образованием ниже лежащей пачки. Мощность горизонта около 47 м.

Стратиграфически выше лежит горизонт преимущественно мелкозернистых кварцито-песчаников и песчаников розового и темно-розового цвета. Участками они тонкослоистые и плитчатые, с отлично выраженным знаками ряби. Встречается слой бледно-розовых

кварцита-песчаников и кварцитов, а также серых мелкозернистых песчаников. Мощность горизонта около 234 м.

Еще выше по разрезу пачки залегают мелко- и среднезернистые, обычно слабо сортированные кварцита-песчаники и песчаники розового цвета темных и светлых оттенков. Для пород часто характерна массивная текстура или грубая слоистость. Мощность горизонта около 126 м.

Разрез пачки завершается горизонтом тонко-, мелко-, реже, среднезернистых кварцита-песчаников и кварцевых песчаников розового цвета. Нередко породы характеризуются тонкой и косой слоистостью, в них развиты отчетливые знаки ряби. Наслощаются редкие прослои грубых алевролитов. Мощность этого горизонта около 233 м.

Кластические зерна в песчаниках и алевролитах представлены в основном кварцем (95-99%), единично — цирконом, турмалином, рудным минералом, апатитом и чешуйками мусковита. Иногда отмечаются отдельные зерна плагиоглаза и обломочки кварцита, железистого кварцита, серидит-кремнистого и филлитовидного сланца, порфиролита. Структура песчаников преимущественно псамитовая, алевролитов — псаммоалевритовая. Цемент типа соприкосновения, поровый и, реже, базальный; по составу — серидит-кварцево-железистый и серидит-кварцевый. Интенсивность розовой окраски песчаников зависит от количества бурых гидроокислов железа в цементе. Кроме того, в зернах кварца нередко обволакиваются тонкими пленками гидроокислов железа. Кварцита-песчаники, отличаясь от кварцевых песчаников значительно большей регенерацией цементирующего кварцевого материала, тождественны им по минеральному составу. Общая мощность пачки около 690 м. Породы описываемой толщи имеют наибольшее распространение среди образований южнокинской свиты. Ими, вероятно, полностью сложены пологие куполовидные структуры в пределах плоскости развития симметрии. В рельфе они занимают возвышенные участки поверхности плато. Аналоги пород этой пачки на восточном крыле Восточно-Онежской синеклизы лежат стратиграфически выше толщи пород района п. Пухти — оз. Ржаного.

Верхняя пачка, венчающая разрез южнокинской свиты, прослеживается в долине р. Важенки восточнее ул. Генсой-Сельга. Эта пачка представлена мелко-, реже неравномернозернистыми полевошпат-кварцевыми и аркозовыми песчаниками серого цвета, иногда с розоватым и зеленоватым оттенком. Среди песчаников наблюдаются также тонкозернистые алевритовые разности. Песчаники состоят в основном из угловатоокруглых зерен кварца и полевых шпатов. Содержание алевролита колеблется от 5 до 25%, отмечается редкое

зерна микроклина (до 2-3%). Присутствуют также единичные обломки кварцита и серидит-кремнистого сланца, зерна циркона, турмалина, эпилита, рудного минерала, редко апатита, оргита и граната. Структура псамитовая и, реже псаммоалевритовая. Цемент по составу преимущественно серидитовый и, реже кварц-серидитовый. Кроме того, в цемент входит минералы группы эпилита-диопзита (до 5-6%), местами карбонат, бурые гидроокислы железа и рудный минерал.

Видимая мощность верхней пачки 30-50 м. Эти песчаники приурочены, вероятно, только к пологой синклинали, занимавшей площадь обширного понижения в бассейне верхнего течения р. Важенки. Аналогом этой толщи, возможно, является пачка полевошпат-кварцевых песчаников, вскрытая скважиной в центральной части Западно-Онежской структуры у с. Ладцы (Морозов, 1960).

Отложение пород южнокинской свиты происходило в межводном бассейне и частью на суше — в пологе прибоя. Это подтверждается повсеместным развитием в них обильных знаков ряби и косой слоистости. Величина основного показателя ряби ($\frac{L}{h}$) колеблется от 2-4 до 8-10.

Валдайская серия

Валдайская серия подразделяется на два горизонта: гловский и котлинский. Относительно возраста валдайского комплекса единого мнения нет. Некоторые исследователи считают отложения гловского и котлинского (ранее ляминартового) горизонтов более древними, чем кембрийские и относят их, вместе с подстилающими однотипными толщами, к силийской системе палеозоя (Соколов, 1952) или рифейской группе верхнего протерозоя (Шатский, 1952 а, б). По решению Межведомственного стратиграфического комитета (1963г.) валдайская серия отнесена к верхнему протерозою.

Породы т. д. о. в. с. к. о. т. о. г. т. о. и. т. а. (Рт3rd) вскрыты буровыми скважинами в районе пос. Матросы, Верхнего Олонца, Интерпоселка и Верхневажинского. Залегает гловский горизонт несогласно и с резким контактом на коре выветривания архейских и нижне- и среднепротерозойских пород, а перекрывается толщей глини котлинского горизонта или четвертичными отложениями. Мощность горизонта колеблется от 2,2 до 6,5 м, абсолютная отметка кровли — от 6 до 33 м.

Гловский горизонт представлен преимущественно полевошпат-кварцевыми и кварцевыми песчаниками, содержащими прослои алевролитов и глин, и галечниками континергатами. Песчаники представ-

ляют любой слабо спементированные тонко-, мелко-, крупно- и неравномернозернистые породы бурого, буровато-коричневого, реже красноватого, бледно-фиолетового, зеленовато- и голубовато-серого цвета. В целом для песчаников характерна неотчетливая слоистость и слабая сортировка кластического материала в отдельных слоях. Угловатые и полукатаные обломочные зерна состоят из кварца (80–90%) и микроклина (5–15%). Встречаются единичные зерна птилоклаза, циркона, турмалина, рудного минерала, чешуек биотита, мусковита и хлорита. Цемент глинистый, в различной степени насыщенный окисленными рудными частицами, глинисто-железистый, железистый и хлорит-карбонатный. Структура песчаников псевдо-псамитовая или псамитовая. В песчаниках часто наблюдается мелкая угловатая галька кварца. Алевриты, плотные темно-серые породы, встречаются в тонком переслаивании с алевритистыми песчаниками. Мощность прослоев от долей мм до 1–2 мм. Участками алевриты косослоняты. Структура их алевритовая и алевроплитовая. Алевритовые зерна включены в глинистый цемент буроватого цвета и состоят из кварца, микроклина, хлоритизированного биотита, хлорита и мусковита. Аксессории представлены турманином, цирконом, рутилом, рудным минералом, птилоклазом и роговой обманкой. Галечниковый конгломерат отмечен в виде слоя мощностью 3,3 м. Различно окатанная галька (до 5,6 см в диаметре), представленная аркозовыми и кварцевыми песчаниками и кварцито-песчаниками, алевролитами и кварцем, цементируется сильно оклеяненным неравномернозернистым гравелистым песчаником (в верхней части прослоя) и песчано-железисто-глинистым материалом (в основании слоя).

В гловском горизонте отмечены редкие споры, относящиеся к видам: *Protoleiosphaeridium infractum* Andr. (*in lim.*) и *Protoleiosphaeridium foveum* (Tim.) Andr., а также обрывки растительных тканей, подобные пленкам *Laminarites* sp.

Осадки *к о т л и н с к о г о г о р и з о н т а* (*Pt₃ hf*) имеют более ограниченное площадное распространение и вскрыты скважинами юго-восточнее пос. Верхний Олонец на р. Важенке под четвертичными отложениями. Нижний контакт котлинского горизонта с гловскими песчаниками, хотя и согласный, но довольно резкий. Абсолютные отметки кровли толщи колеблются от 33 до 46 м. Мощность котлинского горизонта уменьшается с юго-востока (12,6 м) на северо-запад (4,25 м). Котлинский горизонт представлен глинями с многочисленными тонкими прослоями алевритов и алевритистых песчаников (песков). Цвет осадков различных оттенков (зеленоватого, голубоватого, синеватого) серовато-желтый,

буровато-красный и бледно-фиолетовый. Распределение окраски пятнистое и полосчатое. Мощность прослоев колеблется от долей мм до 6–8 мм, редко до 4–6 см. Глины во влажном состоянии вязкие, пластичные, в сухом – твердые, камеподобные. Им свойственно значительное содержание глинистой фракции (48–56%). На отдельных плоскостях напластования отчетливо видны трещины усыхания.

При микроскопическом исследовании глины обнаруживают алевроплитовую, реже пелитовую и псаммо-пелитовую структуру и ленточную текстуру. В редких случаях отмечается косая слоистость. Наряду с разностями глины, состоящими преимущественно из сурой тонкодисперсной глинистой массы, содержащей лишь рассеянные алевритовые и, реже, псамитовые зерна, отмечаются глины, насыщенные алевритовыми частицами (от 32 до 46%) и являющиеся переходными к алевролитам. Алевритовые зерна угловатой или полуокруглой формы состоят в основном из кварца, реже каолинизированного птилоклаза, микроклина, чешуек мусковита, биотита и хлорита. Иногда отмечаются округлые полукатанные зерна циркона, рутила, турмалина, карбоната, эпиломита. Участками глины насыщена мелкощечупчатым агрегатом сернита, микрокварцем, гидроокислами железа и хлоритом. Алевриты по составу близки к глиням, отличаясь большим (свыше 50%) содержанием алевритовых частиц. Песчаники состоят из кварца (90–95%), сернитизированного птилоклаза (5–10), единичных зерен окисленного железистого минерала, рутила и турмалина.

Органические остатки в глинах представлены немногочисленными темными неправильной формы обрывкам растительной ткани, ошибочно ранее принятой за *Laminarites* sp.

К А Й Н О З О Й

ЧЕТВЕРТИЧНАЯ СИСТЕМА

Четвертичные отложения на территории листа Р-36-ХII распространены повсеместно, залегая почти сплошным покровом на архейских и протерозойских породах. Они отсутствуют лишь на отдельных крутосложных возвышениях коренных пород, с которых они были снесены преимущественно абразивной деятельностью позднеделниковых сассейнов.

Благодаря применению структурного бурения выявлено сложное строение четвертичной толщи. Мощность четвертичного покрова изменяется от долей метра до 124 м. Наибольшие мощности были уста-

новлены в центральной и юго-западной частях территории, в пределах глубокой погребенной депрессии, расположенной к северу и западу от Олонецкой возвышенности.

На описываемой территории развиты ниже-, средне- и верхнечетвертичные и современные отложения, представленные шестью горизонтами морен, пятью разделяющими их толщами межледниковых осадков и покрывающими их поздне- и последледниковыми образованиями.

Четвертичные отложения расщеплены по стратиграфической схеме, разработанной для Карельской серии карт и утвержденной НРС ВСНГИ 26 июля 1962 г., в полном соответствии с унифицированной региональной стратиграфической схемой четвертичных отложений европейской части СССР, утвержденной МСК 26 апреля 1964 г.

Нижнечетвертичные отложения

Нижнечетвертичные отложения на территории листа представлены мореной окского ледником.

Окский горизонт

Ледниковые отложения (§Л206) залегают непосредственно на протерозойских и архейских породах. Морена висит является шестым сверху горизонтом ледниковых отложений. По возрасту этот слой отнесен к окскому времени как застекающий под лихвинскими межледниковыми отложениями (юго-восточнее пос. Маргасы, скв. 10) на абсолютных высотах от 36,5 до 17,5 м. Мощность морены 18,9 м. Условно к окскому леднику отнесена морена, вскрытая буровыми скважинами 1 и 2 в окрестностях пос. Верхнего Олонца. Она непосредственно перекрыта мореной днепровского ледником. Абсолютная высота залегания слоя 29–30 м. Мощность морены колеблется от 5,9 до 7,3 м. Слагается морена пестрой цветом глинями, песчаниками глинами, содержащими обломки слоистых глин и песчаников гдовского и котлинского горизонтов валдайской серии, а также валуны различных кристаллических пород (гранитов, диабазов и др.). В разрезах скв. 1 и 10 морена представлена валунником, мелкоzem из которого, по-видимому, был размыт при сурении. Валуны разнообразны и по размерам и по петрографическому составу. От вышеизложенных ледниковых отложений окская морена отличается более пестрой окраской, варьирующющей от зеленовато-серой до розово-буровой, и значительным обогащением обломками пород валдайской серии. Для тяжелой фракции мелкозема морены характерно необычай-

но высокое содержание бурых гидроокислов железа (64,1%) и лейкосена (10,3%).

К древнечетвертичным отложениям, вероятно, следует отнести морену, вскрытую бурением в долине среднего течения р. Важенки (скв. 6). Здесь она представлена плотным камнелобным валунным глином и суглинкам буровато-коричневого и красноватого цвета.

Среднечетвертичные отложения

К среднечетвертичным отложениям на рассматриваемой территории относятся образования лихвинского и одицковского межледниковых, днепровского и московского ледников.

Лихвинский межледниковый горизонт

Морские отложения (§Л176), отнесены к лихвинскому межледнику, были вскрыты бурением в западной части Петрозаводской депрессии, юго-восточнее пос. Маргасы (скв. 10). Залегают они на окской морене на глубине от 31,5 до 35,4 м, что соответствует абсолютным отметкам 36,5–40,5 м, а перекрываются мореной днепровского ледником. По своему составу осадки относятся к тонкослойным глинам и следистым аллерицитам темно-серого (до черного) цвета. Алевриты участками обогащены углистым веществом и тогда являются отчетливо слоистыми. Разрез этих отложений завершается образованиями, сходными с горизонтом A₂ и B почвенного слоя.

Палинологические исследования показали, что осадки характеризуются спектрами лесного типа. В пыльцевом комплексе среди древесных пород преобладает пыльца березы (16–69%) и сосны (9–49%). Пыльца ели присутствует преимущественно в небольшом количестве (1–9%), образуя лишь два пика – до 21 и 35% на глубинах, соответственно, 73,2 и 31,5 м. Интересно, что пыльца сосны и ели соединяется максимумы на один и тех же глубинах. Широкоистинные породы отмечаются почти по всему разрезу до 3–4% (дуб, граб, вяз и липа). Весьма важной характеристикой осадков является присутствие пыльцы *Rhus sibirica*, дающей почти непрерывную кривую по всему разрезу (вверху до 5–6%), и спорадически *Abies* и *Taxus*. Наибольшее количество пыльцы сибирских форм встречается в почвенном слое. Спорово-пыльцевой комплекс свидетельствует, что толща формировалась в условиях климата более теплого, чем современный, а присутствие пыльцы сибирских древесных форм, ха-

рактерных в основном для лихвинского времени, и положение в разрезе позволяет отнести описываемые осадки к лихвинскому межледниковью. Недостаточно полно проведенные исследования днепровских из этих отложений обнаружили единичные обломки *Coscinodiscus sp.*, на основании которых осадки рассматриваются как предположительно морские.

СРЕДНЕРУССКИЙ НАДГОРИЗОНТ

Днепровский ледниковый горизонт

Ледники отложений (*gl II-2 dn*). Морена, отнесенная к днепровскому ледникому, вскрыта северо-буровыми скважинами в пониженных участках дочетвертичного рельефа в центральной и юго-западной частях рассматриваемой территории (скв. 1, 2, 3, 4, 10, 1-BГ и 1-БЖ). Этот горизонт морены вследуяется пятью, считая сверху. Залегает он непосредственно на доледниковых породах или морских осадках лихвинского межледниковья и местами на окской морене; перекрывается озерными осадками одицковского межледникова I, реже московской мореной. Кровля ледниковых отложений была вскрыта на глубинах от 75 до 115 м. Абсолютные отметки кровли колеблются от 17,5 до 47 м. Мощность морени изменяется от 0,7 до 8,28 м.

Морена характеризуется преимущественно валунно-глинистым составом, и лишь в окрестностях пос. Матросы (скв. 10) были обнаружены валунные суглики. В некоторых разрезах днепровская морена представлена толщей гравийно-валунного материала, мелкозем из которой вымеш при бурении. Мощность таких валунников местами превышает 8 м (скв. 1-БЖ). Цвет морени коричневый, красновато-коричневый, бурий, реже темно-серый. В составе крупнообломочного материала отмечаются шпатомикроклиновые и микроклиновые граниты, плагиоклазовые гнейсо-граниты, гранодиориты и другие кристаллические породы. Характерным для этой морены в данном районе является повышенное, по сравнению с другими отложениями подобного типа, содержание сланцев ладожской серии. В тяжелой фракции глинистой морени присутствует относительно высокое (13-20%) содержание бурых гидроокислов железа (в отличие от вышеизложенных ледниковых отложений).

Одицковский межледниковый горизонт

Озера и озера отложений (*gl II-3 od*), отнесенные к одицковскому межледниковью, были вскрыты шестью скважинами в тек-

же районах, что и днепровская морена (скв. 1, 2, 3, 4, 1-БГ и 1-БЖ). Они залегают на основной морене днепровского ледникова и покрываются московской мореной. Глубина залегания кровли осадков изменяется от 56 до 105 м, абсолютная высота - от 27 до 55 м. Мощность толщи меняется от 4,6 до 31,4 м.

Озерные отложения представлены в основном тонкослоистыми глинами коричневого цвета, реже мелко- и разнозернистым пескам, местами с незначительной примесью мелкой гальки и гравия. Глины отличаются тонкой дисперсиостью и однородностью. В верхних частях слоистость глин обычно деформирована гляциодислокацией.

Палинологические исследования показали, что глины характеризуются спектрами лесного типа. Согласно пыльцевым комплексам, в период их накопления господствовали бересковые и сосново-бересковые леса с примесью ольхи и ели. Пыльца широколистенных пород встречается спорадически до 3%. Исследования диатомовых в глинах из разреза скв. 4 обнаружили 17 видов пресноводной диатомовой флоры. Среди них отмечены следующие формы: *Melosira agrippina* Moore (единично), *M. scabrosa* Oestr (часто), *Opeironata* Martini Herib (единично) и др. По заключению Е.А.Черемшановой, глины, содержащие эту диатомовую флору, формировались в пресноводном бассейне озерного типа.

Несмотря на ограниченные данные, можно все-таки сделать достаточно обоснованный вывод, что климат в то время был умеренным и влажным, современного облика. К одицковскому времени горизонт отнесен по положению его в геологическом разрезе. Всюду - это четвертый сверху горизонт межледниковых отложений.

Московский ледниковый горизонт

Ледники отложений (*gl II-4 m*). Стратиграфически выше осадков одицковского межледникова лежит морена московского времени, вскрытая в семи пунктах теми же скважинами, что и вышеописанные горизонты. Во всех разрезах - это четвертый сверху горизонт морени. Глубина залегания кровли толщи ледниковых отложений колеблется от 43 до 100 м, абсолютная высота - от 33 до 80 м, мощность обычно от 6 до 30 м. Морена представлена валунными глинами, реже суглиниками, иногда отмечается ее размытые разности, представление валунников. Цвет морени преимущественно светло-коричневый и красновато-коричневый, места серый до темно-серого. Во всех разрезах морена отличается большой плотностью. Валунный материал содержится в ней в значи-

тельном количестве. Состав обломков обычный для данного района.

Наиболее часто встречаются валуны платигоказовых гнейс-гравитов, гранодиоритов, гранитов рапакиви и других кислых пород.

В разрезах отдельных скважин отмечено повышенное количество обломков пестрощетниковых глин и песчаников вальдаиской серии (скв.2).

В морене в значительном количестве (больше, чем в других ледниковых горизонтах) отмечены обломки глини из нижележащих одицковских слоев (скв.1 и 2). Этим объясняется пыльноность морены

и отсутствие верхних частей в разрезе нижележащего межледникового.

Поэтому не исключено, что осадки одицковского времени, соответствующие климатическому оптимуму, эродированы ледником. Это обстоятельство подтверждается наличием перестоложенной пыльцы широколистенных пород в морене описываемого ледниковой. Отличительными чертами минерального состава моренных глин и суглинков является повышенное содержание в тяжелой фракции черных рудных минералов (18-27%). От нижележащих ледниковых отложений московская морена отличается пониженным количеством бурых гидроокислов железа (6-12%).

В е р х н е ч е т в е р т и ч н ы е о т л о ж е н и я

Верхнечетвертичные отложения на описываемой территории представлены образованием микулинского, молото-шексминского и онегозерского межледниковых, калининского, осташковского и карельского ледниковых.

ВАЛЬДАЙСКИЙ НАДГОРИЗОНТ

Микулинский межледниковый горизонт

М о р с к и е о т л о ж е н и я (*шлГ-тп*), отнесенные к микулинскому времени, были установлены бурением, как и более древние горизонты, в пределах обширного понижения доледникового рельефа, занимавшего значительную площадь центральной и юго-западной частей территории листа (скв. 1, 2, 3, 4 и 10). Отложения, слагающие этот горизонт, так же как и нижележащие, занимают строго определенное положение в геологическом разрезе. Это третий сверху слой межледниковых образований, залегающий на московской морене и покрытый ледниковыми отложениями калининского ледникова. Глубина залегания кровли осадков непостоянна и меняется от 26 до 62 м, абсолютные отметки колеблются от 73 до 93 м. Мощность колебается в пределах 3,6-18,3 м.

Описываемый горизонт слагается преимущественно песчаником материалом различной зернистости; нередко втолицо осадков включены прослои галечника и гравия. Пропластки глин, суглинков и супесей встречаются значительно реже. Образование осадков этого времени происходило, по-видимому, неравномерно. Местами размы- вание, вероятно, преобладало над аккумуляцией, чем и объясняется отсутствие этих слоев в разрезах некоторых буровых скважин и размыв нижележащей морены московского ледника.

Палеонтологические исследования показали, что песчаные отложения характеризуются спектрами лесного типа (60-82% от общего состава пыльцы). Среди древесных пород доминирует пыльца бересни и сосны, постоянно присутствует пыльца ольхи (до 30%) и ели (до 10%). Пыльца широколистенных пород отмечена в количестве до 5%, почти по всей толще, а лещины - до 19% (пос. Магросы, скв. 10). Среди разнотравья и споровых присутствуют также тепло- и влаголюбивые виды как *Polygonum bistorta* L., *R. persicaria* L., *Rumex* и *Osmunda*. В осадках из разреза скв. 10 было обнаружено 29 видов диатомовых, из которых 7 форм морских, 3 - солоноводных и остальные - пресноводные, представленные в основном видами родов: *Ruppia*, *Eunotia*. Среди морских и солоноводных форм отмечены *Nyalodiscus scoticus* (Ktz.) Grun., *Rhabdonema thalictum* Ktz., *Thalassionema nitzschioides* Grun., *Diploneis similis* (Breb.) C.L., *Navicula Gregaria* Donk. и др. Все виды обладают хорошей сохранностью и количественной оценкой "единично".

Исходя из палеонтологической характеристики отложений и положения их в геологическом разрезе, данный горизонт отнесен к образованием микулинского межледниковых. Описываемые отложения, в свете данных диатомового анализа, отнесены предположительно к морским.

Калининский ледниковый горизонт

Л е д н и к о в ы е о т л о ж е н и я (*шлГ-2/6*). Морена калининского ледниковых имеет большее площадное распространение, чем нижележащие ледниковые и межледниковые отложения. Вскрыта она бурением в основном в тех же пунктах, что и более древние горизонты (скв. 1, 2, 3, 4, 10, 1-Б, 1-В и др.). Калининская морена залегает на микулинских межледниковых отложениях и морене московского ледниковых: покрывается она преимущественно озерными осадками молото-шексминского времени. Всюду - это третий (считая сверху) горизонт морены. Глубина залегания кровли морены колеблется от 26 до 75 м, абсолютная высота - от 57 до

103 к. Мощность ее 0,6-24,35 м.

Морена представлена серыми и темно-серыми валунными супесями, реже суглинками и песками. Крупноблочный материал представлен преимущественно разлинистыми гранитоидами. Однако, местами для этого ледникового горизонта характерно относительно высокое содержание валунов шунит-кремнистых сланцев, амфиболитов, габбро-диабазов и других основных пород. По минеральному составу тяжелой фракции супесчаная и суглинистая морена резко отличается от нижележащих ледниковых отложений повышенным количеством амфибола (22-37%), и минералов группы эпилита-домзита (33-45%), а также меньшим содержанием рудных минералов (10-16%) и бурых гидроокислов железа (1-6%).

Молого-шексинский межледниковый горизонт

О з е р н ы е о т л о ж е н и я (ШПЗ т.). Осадки молого-шексинского времени вскрыты только бурением (скв. 1, 2, 3, 4, 8 и 9) под второй сверху (осташковской) мореной. Они имеют большее распространение к северо-западу, чем нижележащие горизонты. Озерные межледниковые отложения залегают на морене калининского ледникового. Водору — это вторая сверху межледниковая толща. Кровли осадков вскрыта на глубинах от 21 до 68 м, абсолютная отметка ее колеблется от 71 до 119 м. Мощность отложений меняется от 3 до 21.

Озерные осадки слагаются преимущественно серыми и темно-серыми слоистыми и неслоистыми глинами, реже суглинками, супесями и песками. Иногда отложения содержат гальку и гравий. Глинистые осадки, как правило, приурочены к нижним частям разреза, песчаные — к верхним. Глины местами содержат обильные включения вивианиита голубого цвета.

Палинологическое изучение рассматриваемой толщи показало, что она формировалась в условиях межледникового климата. Пыль-пектин спектр, характеризующий время климатического оптимума, был получен в разрезе скв. 3 (пос. Верхнебажанское). Здесь, наряду с пылью ольхи, березы, сосны и ели, по всему разрезу толщи присутствует пыльца широколиственных пород (до 19%) и лещины (до 70%). Среди широколиственных пород доминирует пыльца дуба (до 10%). Кроме того, в этих осадках обнаружено много крупных обломков древесины. Межледниковые осадки, характеризующиеся меньшими теплоизбыточными створово-пыльцевыми комплексами, обнаружены в окрестностях с. Верхний Олонец (скв. 1 и 2). Здесь доминирует пыльца деревицной бересники, местами присутствует много пыльцы ольхи

(до 34%), ели (до 30%) и сосны (35%). Отмечается также пыльца широколиственных пород (до 3-4%) и лихты. Много спор, среди которых господствуют споры срастновых мхов. Из травянистых растений преобладает пыльца осоки. Такие спорово-пыльцевые комплексы свидетельствуют о большой выжженности климата и заболоченности территории. Озерные межледниковые осадки содержат довольно богатую пресноводную фауну, в которой преобладают виды: *Melosira islandica* subsp. *helvetica* O.M., *M. agrenaria* Moore, *M. scabrosa* Oestr., *Cyclotella* sp. (cf. *kuetzingiana* Thwait) *Pinnularia* sp.

Положение описанного горизонта в разрезе и его палинологическая характеристика позволяют датировать его молого-шексинским временем.

Осташковский горизонт

Осташковский максимальный ледниковый подгоризонт

Образование этого ледниковых пользуется значительным распространением. Они представлены ледниками, флювиогляциальным и озерно-ледниковыми отложениями.

Л е д н и к о в ы е о т л о ж е н и я (БПЗ₄ о.). В отличие от морен более древних оледенений, морена осташковского ледникова встречается не только в разрезах буровых скважин как второй сверху моренный горизонт (скв. 1, 2, 3, 4 и др.), но и выходит на дневную поверхность в юго-восточной части территории, где покрывающейся льдами кarelского ледника. В местах, где эта морена вскрыта в разрезах скважин, глубина залегания ее кровли колеблется от 12 до 57 м; абсолютная высота — от 75 до 120 м. В пределах же возвышенного южного плато, где поверхность морены определяет мезо- и микрорельеф, абсолютная высота кровли морены достигает 313 м. Она залегает на озерных осадках молого-шексинского межледниковой, калининской морене и щокинских песчаниках, перекрывает позднеледниковые отложениями осташковского времени, образованиями онегоозерского межледниковой, карельской мореной и современными отложениями. Максимальная установленная мощность достигает 13,55 м.

Морена слагается в основном серыми и темно-серыми валунными супесями, реже — песками, суглинками и глинами. В участках, где морена обработана, она обогащена гравийно-валунным материалом (скв. 3, 8). Обычный состав валунов: глинисто-микроклиновые граниты, платиоклазовые гнейсо-граниты, граниты рапакии и раз-

личи: основные породы. В пределах Олонецкой возвышенности морена приобретает более песчанистый состав, красновато-бурую окраску и обогащается обломками розовых южношведских песчаников. В тяжелой фракции суглинистой и супесчаной морены характерно повышенное содержание минералов группы эпидота-диопзита (37-54%).

Флювиотиалы отложены (фиг. 14) на небольших площадях в юго-восточной части территории листа. Они связаны здесь с образованием типичных заносов (западнее с. Кашкана) и небольшими редкими озмами. Залегают осадки на основной морене осташковского ледникомья. Мощность их обычно 2-8 м. Представлены они песками и песчано-гравийно-галечными образованиями.

Зернистые отложения (фиг. 14) распространены в юго-восточной части территории, преимущественно в бассейне верхнего течения р. Важенки, где слагают невысокие уплощенные камы. Эти отложения залегают на осташковской морене. Мощность их колеблется от 2 до 12 м. Представлены данные отложения песками различной зернистости, содержащими нередко гравий, гальку и, реже валуны. Среди песков встречаются также слой гравийно-галечного материала.

Онегозерский межледниковый подгоризонт

Отложения онегозерского времени имеют более широкое плащаное развитие, чем нижележащие межледниковые осадки, и слагают самий верхний межледниковый горизонт. Эти образования залегают на осташковской морене и покрыты основной мореной кarelского ледникомья. Они были вскрыты многими буровыми скважинами на глубинах от 3 до 26 м в центральной и юго-западной частях территории листа. Абсолютная высота кровли толщи колеблется от 94 до 130 м. Мощность их колеблется от 3,2 до 37,4 м.

Среди осадков онегозерского межледникомья выделяются морские и предположительно озерные отложения.

Озерные отложения (фиг.) вскрыты в разрезах многих скважин: в окрестностях пос. Верхний Олонец (скв. 1 и 2), юго-западнее оз. Бакозера (скв. 1-ВЖ), севернее оз. Ледожского (скв. 1-ЛЛ), у пос. Матросы (скв. 10), в с. Кутчозе-ро (скв. 8) и других пунктах. Эти отложения представлены преимущественно песками различной зернистости, содержащими иногда сияющие включения гальки и гравия, и, редко супесями, иногда с галечниками в низах толщи. В отдельных разрезах отмечены грубозернистые пески с большим количеством гравия, гальки и валунов.

Палинологические исследования разрезов с описываемыми отложениями проведены неполно. В осадках из скв. 1 у пос. Верхний Олонец пылевой спектр отражает господство бересово-сосновых лесов с примесью ольхи (12-28%), ели (3-9%) и широколиственных пород (2-3%). Довольно много пыльцы орешника (8-12%). В травянистой пыльце доминируют злаки и вересковые, отмечена пыльца водных растений. Среди створовых растений в одинаковых количествах встречаются споры папоротников, зеленых и сфагновых мхов. Диатомовых водорослей здесь не обнаружено. Остальные разрезы исследовались на содержание диатомовой флоры, за исключением скв. 10 у пос. Матросы, где встречены единичные створки морских и пресноводных диатомовых.

В свете имеющихся материалов озерный генезис осадков устанавливается предположительно. Положение этих образований в геологическом разрезе и их палинологическая характеристика позволяют сопоставлять их с отложениями онегозерского межледникомья. Морские отложения (шт. 5, скв.) онегозерского межледникомья, широко известные в Карелии и на Колском полуострове, в пределах территории листа достоверно установлены в с. Верхневажинском (скв. 3) и западнее оз. Святозера (скв. 4). Мощность их колеблется от 14,5 до 18,5 м. Эти образования слагаются слоистыми глинами, суглинками и супесями, а также песками, содержащими местами гравий и гальку. Глинистые и супесчаные осадки приурочены к средним, а песчано-галечные слоя — к нижним и верхним частям разрезов.

Палинологические исследования осадков во всех изученных разрезах этой толщи выявили спектры лесного типа, характеризующие климат теплее современного. Так, например, онегозерские слои в среднем течении р. Важенки содержат пыльцу березы (60-90%), ольхи (40-70%), сосны (5-30%) и ели (до 10%). Сумма пыльцы широколиственных пород составляет 4-12% с преобладанием пыльцы граба. Пыльца лещины наблюдается по всей толще (от 7 до 23%). Среди спор mestами встречена Osmunda. Довольно близкий к описанному спорово-пылевому комплексу встречен в разрезе скважин к западу от оз. Святозера. Здесь пыльца широколистных пород присутствует до 3-4%, лещины — до 12-15%. Анализ диатомовых из скважин у с. Верхневажинского выявил комплекс, состоящий из 14 видов морских и пресноводных диатомовых. Здесь встречены: *Thalassiosira*, *Gracilaria* sp., *Chaetoceros clevei* Schmitt., *Rhabdonema arcuatum*

(Лунгб) Ктз. и др. В разрезе скважин западнее оз. Святоозера встречен более белый комплекс морских диатомовых.

По положению в геологическом разрезе, присутствию морской диатомовой флоры и спорово-пыльцевым комплексам, описываемые осадки могут быть сопоставлены только с морскими фаунами онего-озерского межледникова.

Карельский ледниковый подгрунт

Образования карельского ледникова распространены повсеместно, за исключением юго-восточной возвышенной части территории листа, куда карельский ледник не распространялся. Среди них выделяются отложения, соответствующие нижнекарельским слоям и слоем бассейна Балтийского моря.

Нижнекарельские слои представлены ледниковыми, флювиогляциальными и озерно-ледниковыми отложениями.

Ледниковые отложения первого карельского ледника на дне ямы (глуб. 1) развиты повсеместно в северной, центральной и юго-западной частях территории листа. Они отсутствуют лишь в пределах Олонецкой возвышенности. Граница распространения морены подчеркивается комплексом краевых ледниковых образований – моренами и озывами грядами, холмисто-моренным и грядовым ландшафтом. Ледниковые отложения залегают на онегоозерских межледниковых слоях, ошашковской морене и непосредственно на архейских и протерозойских породах; на значительной площади они перекрыты более молодыми осадками различного происхождения. Морена слагает преимущественно разнообразные по форме холмы, гряды и участки моренной равнины. В Шуйской низине, в бассейне р. Важеники, р. Топорной и других местах наблюдаются следы размыва верхнего слоя морены. Мощность морены меняется в широких пределах – от 0,5–1 до 50–60 м. Максимальные мощности установлены на площадях разницы аккумулятивного холмисто-грядового рельефа.

Ледниковые отложения чаще всего слагаются серыми валунными супесями и песками, реже суглинками и изредка глинами. Крупнообломочный материал морены весьма разнообразен. Наряду с различными местными породами, найдены валуны как интузивных, так и осадочных пород Западной Карелии (биотитовых, биотит-магнисилазовых сланцев ладожской серии и др.). Валуны некоторых пород имеют определенные ареали распространения. Валуны гранита рапакии с Улянгского массива не отмечены севернее линии оз. Шотозеро – с. Кийдасово – оз. Пелдожское – среднее течение р. Важеники. К севе-

ро-восточной части территории тяготят обломки осадочно-эрозионных пород среднего протерозоя (миндаевидные диабазы, порфириты, туфы, доломиты, шунгитовые сланцы). Валуны других пород наблюдаются повсеместно. В моренных супесях карельского ледникова обращает внимание высокое содержание кварца (70–72%) в легкой, минералов группы эпилот-диопзита (44–45%) и апатита (до 15%) – в тяжелой фракциях. По сравнению с нижележащими ледниково-отложениями, в верхней морене в минимальном количестве содержатся черные рудные минералы (6–12%) и бурые гидроокисли же-дергатся черные рудные минералы (0,3–0,6%).

Морена местами приобретает чешуйчатое строение, связанное с мелкими колебаниями края ледника. Такое строение морены характерно только для районов краевых зон распространения материковых ледников.

Флювиогляциальные озера отложений (глуб. 1) слагают многочисленные озера, наблюдавшиеся повсеместно в северной, центральной и юго-западной частях территории, и флювиогляциальные дельты у сел. Салменихи и Кийдасово. Местами эти групируются, образуя значительные по протяженности линейно-вытянутые зоны (например, от оз. Сямозера до оз. Ворузъяри, от с. Половина до оз. Пряжинского и др.). Флювиогляциальные отложения залегают на нижнекарельской основной морене. Мощность их определяется высотой озера и достигает местами 50 м. Эти отложения представлены крупнозернистыми гравийно-галечными песками, содержащими часто валуны. Нередко встречаются слои среднезернистых и даже мелкозернистых песков, а также линзы и прослои галечников. Значительная часть песков содержит и пылеватые частицы. В целом литология флювиогляциальных осадков весьма изменчива по их простиранию и мощности.

Озера – ледниковые отложения (глуб. 1) слагают камы, занимающие обширные площади в северной, центральной и юго-западной частях территории листа. Камы развиты здесь повсеместно, исключая значительные участки площа-Шуйской низины (северо-восточнее оз. Вагатозера и др.). Они залегают на нижнекарельской основной морене и покрыты в основном супесями бассейна Балтийского моря. Мощность этих участков колеблется обычно от 2–3 до 20–30 м, достигая участкам 50–60 м (за-паднее с. Эспойло). Камы слагаются различными по крупности песками, содержащими местным гравий, гальку и реже валуны, а также супесями, суглинками и иногда глинами. Они имеют обычно горизонтальную или облакающую слоистость. Часто осадки, слагающие камы, перекрыты слоем морены вытаптывания мощностью от 0,5 до 4–6 км.

Слои бассейна Балтийского моря. Среди этих образований выделяются отложения первого балтийского ледникового озера, первого ильдьевого моря и времени существования второго балтийского ледникового озера.

О з е р н о - л е д н и к о в ы е о т л о ж е н и я
п е р в о г о б а л т и й с к о г о л е д н и к о в о г о
о з е р а (1 9 3 1 1 6 1) распространены главным образом в Шуйской низине и примыкающих к ней понижениях рельефа. Залегают эти осадки преимущественно на морене карельского ледниковой. На преобладающей площади они перекрыты осадками первого ильдевого моря и лишь на отметках выше 136–137 м выходят на дневную поверхность (у оз. Пелдомского, Святоозера, южнее с. Маньги и др. в тех пунктах). Средняя мощность толщи 7 м (от 2 до 14 м).

Описываемые осадки представлены темно-серыми и синевато-серыми ленточными глинами, нередко суглинками и супесями. Реже встречаются ленточные пески, а в низах толщи – галечники и грунтовые пески.

Палинологическое изучение осадков дало противоречивые результаты. Пылевые спектры плохо увязываются между собой, часто прерывистые. Диатомовый анализ показал в них местами белое содержание пресноводной диатомовой флоры.

Основным критерием для установления возраста этой толщи являются перекрывающие ее морские осадки, распространенные до абсолютной высоты 132–134 м. Эти слои здесь могут относиться только ко времени первого ильдевого моря, так как более молодые морские трансгрессии Балтики до таких высот не распространялись.

В южной части территории на абсолютных отметках 100–135 м довольно широко развиты водные осадки, представленные в основном песчаными. Они не изучались в отношении диатомовых и пыльцы. Исходя из высоты залегания и района распространения, эти пески условно отнесены к отложениям первого балтийского ледникового озера.

М о р с к и е о т л о ж е н и я т р а н с г р е с с и –
с и м и о л ь д и я I (1 9 3 1 1 6 1) весьма широко распространены на территории листа. Впервые эти слои были выявлены на Онежско-Ладожском перешейке Б. Ф. Земляковым (1936) и И. М. Покровским (1937 ф.). В 40-х годах в центральной части перешейка финским геологам К. Мёльдером (Mölder, 1944) и Е. Хилли (Hylli, 1943) были описаны новые обнажения ильдевских слоев. Исследованы, проведенные в 1962–1963 гг. на территории листа, широко-

развитие осадков ильдевского моря полностью подтверждилось (Экман, 1964 ф.). Эти слои были вскрыты как в пределах Шуйской низины на абсолютных отметках порядка 80–100 м, так и за ее пределами на высотах до 136 м (район оз. Святоозера). Залегают они на озерно-ледниковых отложениях первого балтийского ледникового озера и покрыты в основном осадками времени существования второго балтийского ледникового озера. На абсолютных отметках выше 95–105 м они местами выходят на поверхность из-под современных отложений. Мощность их колеблется от 1 до 12 м. Представлены и морские отложения темно-серыми и сизовато-серыми глинами и песками, а также иногда гравийно-галечниковыми.

Наряду с неслойстыми отмечаются слойстые осадки.

Палинологическая характеристика ильдевских слоев, как и нижележащих осадков, малоизвестна. В большинстве случаев в них пыльца не содержит или дает прерывистые спектры. В отличие от нижележащей толщи, описываемые отложения содержат достаточно богатые комплексы диатомовых, в состав которых входит большое количество морских видов. Среди них, местами с высокимиоценками, отмечены: *Melosira sulcata* (Ehr.) Kutz., *Grammatophora oceanica* (Ehr.) Grun., *Nyctodiscus scoticus* (Kutz.) Grun., *Thalassiosira gravida* Cl. и др. Большинство форм имеет хорошую сохранность и их залегание *in situ* не вызывает сомнений.

О з е р н о - л е д н и к о в ы е о т л о ж е н и я
в р е м е н и в т о р о г о б а л т и й с к о г о л е д -
н и к о в о г о о з е р а (1 9 3 1 1 6 2) распространены в пределах Шуйской низины, где отмечается на абсолютных отметках от 60 до 95–105 м. Залегают они на вышеописанных морских слоях и перекрываются преимущественно торфами. Мощность осадков колеблется от 1–2 до 4–6 м. По составу они глинистые и суглинистые, реже песчаные и супесчаные. Отмечаются также гравийно-галечные пески с валунами и галечниками. Слонистость отсутствует или выражена отчетливо. Исследование диатомовых из описываемых слоев показывает лишь присутствие единой пресноводной флоры. Результаты пыльцевого анализа также малоизвестны, часто они совершенно не содержат диатомовых пыльцы. Возрастная оценка – как осадков времени второго балтийского ледникового озера – дается на основании их залегания на отложениях первого ильдевского моря. Они могут рассматриваться как образования позднеледниковых изолированных бассейнов, возникших после регрессии ильдевского моря. Это подтверждается отсутствием типичной диатактовой структуры осадков.

С о з р е м е н н ы е о т л о ж е н и я

Среди этих образований выделяются сзерни, алювиальные, органогенные, эпиморально-делювиальные и золовые отложения.

О з е р н ы е о т л о ж е н и я (1IV) на плоскади листа распространены весьма незначительно. Они картируются на небольшой площаи Шуйской низины у с. Верхние Виданы на абсолютных отметках до 55 м, где выделены по материалам А.М.Кайрака и И.М.Экмана (1950), а также в виде узких полос по берегам Сямозера, Важозера и других крупных озер. Эти осадки слагают озерные равнины, низкие террасы, пляжи и валы по берегам современных озер. Мощность озерных осадков 1-5 м. Литологически они представлены песками, содержащими нередко гравийно-галечный материал и валуны, редко — галечниками и супесями. Для отложений местам характерна горизонтальная и реже косая стоячестость.

А л л ю в и а л ь н ы е о т л о ж е н и я (алIV) развиты по берегам рек Шуи, Важенки, Тукини, Сянти, Кутумы, Топорной и других в виде узких прерывистых полос шириной не свыше 50-100 м (на карте показаны в основном вне масштаба). Они налождаются в руслах рек и слагают пойменную и, реже 1-я и 2-я надпойменные террасы. Мощность их не превышает 3-4 м. Представлены эти осадки песками и супесями, нередко заиленными и обогащенными остатками органического вещества, реже — алевритами и суглинками, а также гравийно-галечными песками с валунами и галечниками. Часто аллювиальные отложения совершенно отсутствуют по берегам рек. Тогда видъю них отмечаются скульптурные террасы и эрозионные уступы высотой 2-10 м.

О р г а н и ч е с к ы е о т л о ж е н и я (орIV) распространены повсеместно на территории листа, занимаая около 25% ее площаи. Наиболее крупные болотные массивы расположены в пределах Шуйской низины, восточнее оз. Самозера и северо-восточнее оз. Важозера. Мощность этих отложений колеблется от 0,5 до 6 м. Торфы характеризуются слабой и средней степенью разложения, темно-коричневым или бурым цветом. Наиболее интенсивное развитие торфянников, как и в целом в Южной Карелии, началось здесь со времени среднего голоцен. Торфы залегают преимущественно на нижнекарельской морене и позднеидилических осадках.

Э л ю в и а л ь н ы е о т л о ж е н и я (элIV) отмечены на небольших площаи восточнее оз. Верх.Падозера, южнее оз. Тервалампи и в ряде мест Олонецкой

возвышенности. Они образуют крупнообломочные россыпи, реже осипы. Максимальная устакованная мощность 3 м. Эти образования представлены обломками подстилающих коренных пород. Размеры обломков варьируют от 0,2 до 1,5 м в поперечнике и, как и их форма, зависят в основном от петрографического состава и структурно-текстурных особенностей материнской породы.

Э о л о в и е о т л о ж е н и я (эолIV) отмечены только на юго-восточном берегу Сямозера, у с.Алекки. Они слагают параболическую дону высотой до 4-5 м. Литология их однообразна — это хорошо сортированные мелко- и среднезернистые пески желто-вато-серого и светло-серого цвета.

ИНТРУЗИВНЫЕ ОБРАЗОВАНИЯ

Интрузивные образования на площаи листа Р-36-ХХЛ представлены породами архейского и протерозойского интрузивных никлов.

РАННИЕ АРХЕЙСКИЕ ИНТРУЗИИ

П л а т и о к л а з о в н ы е г н е с о - г р а н и -
ты, тн е й с о - г р а н о д и о р и ты, тн е й с о -
д и о р и ты и связанные с ними мигматиты (18).
Наиболее древними интрузивными образованиями являются сильно из-
мененные гранитоидные породы, по составу отвечающие шпатоклазо-
вым гнейсо-гранитам, гнейсо-гранодиоритам и, реже гнейсо-диори-
там. Они слагают юго-восточную краевую часть Коийкарской глыбы
и отмечены в районе д. Маркелки — ст. Вилла-Гора — пос. Матросы
и в окрестностях оз. Топозера. В северной части территории листа
Р-36-ХХЛ архейские гранитоиды прорваны нижнепротерозойскими гра-
нитами; в юго-восточной части площаи, в районе оз. Топозера,
они граничат со среднепротерозойскими гранитами рапакиви и пе-
рекрываются осадками валдайской серии.

Архейские гранитоиды — это мелко- и среднезернистые темно-
серые и серые, иногда с зеленоватым оттенком породы, обладающие
гранобластической, реже бластогранитной структурами и отнейсо-
ванные в субмеридиональном направлении, параллельно складчатым
структуркам более молодых протерозойских пород. Главная роль в их
составе принадлежит плагиоклазу, кварцу, биотиту. Плагиоклаз,
чаще всего представленный олигоклазом, реже андезином, обычно
сильно замутнен продуктами разложения (серцинитом, эпидотом, ка-
лином, карбонатом); в плагиоклазе, на стыках его с инъекционным
микрокликном, нередко наблюдается кайма альбита или прерывисто-

оторочка мицелита; на отдельных участках отмечается антиперититовая структура замещения плагиоклаза микроклином. Кварц образует скопления зерен линзовидной и кильватерной формы. В катаклизированных разностях, которые являются весьма характерными для пород описываемой группы кварц представлен тонкорубленым агрегатом с резко выраженным волнистым утесанием. Биотит наблюдался в полосчатых скоплениях в ассоциации с кварцем и, как правило, замещен хлоритом. В катаклизированных разностях пластинки биотита деформированы — изогнуты, смяты.

Количество соотношения описанных выше главных минералов и определяют ту или иную разновидность пород группы. Второстепенными минералами являются микроклин, иногда амфибол, причем микроклин либо отсутствует совершенно, либо содержится в незначительном количестве, являясь инъекционным, и характеризуется, как правило, микроперититовым строением и относительной свежестью. В зоне магматизации нижнепротерозойскими гранитами количество микроклина достигает 35%. Из акцессорных минералов обычны апатит, турмалин, циркон, ортит и магнетит. Химический состав пород описываемой группы приводится ниже (Экман и др., 1964).

Оxислы	Юго-западный берег о. Сям-озера	Лебяжье р. Саньги	Вилга-Тора	Верхний Олонец
SiO ₂	62,30	60,64	69,96	64,44
TiO ₂	0,52	0,32	0,43	0,76
Al ₂ O ₃	16,00	15,33	14,24	15,48
Fe ₂ O ₃	5,51	7,05	3,97	6,00
MnO	0,09	0,10	0,05	0,06
CaO	5,03	4,62	1,69	4,29
MgO	3,28	3,93	1,78	2,06
K ₂ O	2,50	2,30	4,20	2,80
Na ₂ O	4,20	4,40	3,30	3,70
П.п.п.	0,18	0,40	0,14	0,50

Как видно из таблицы, состав гранитоидов архейской группы колебается от бедных калием щелочноzemельных гранитов до типич-

ных гранодиоритов. Для всех пород группы характерно высокое содержание Al₂O₃, что обусловлено, по-видимому, ассимиляцией гранитами материала высокотитаноземистых осадочных пород.

В результате воздействия нижнепротерозойских гранитов архейские породы обогащают кварц-полевошпатовым материалом, характер распределения которого в субстрате древних пород зависит от степени магматизации и обуславливает различные морфологические типы магматитов. Так, начальная степень магматизации пород фундамента выражается в наличии порфиробластов полевых шпатов, распределенных в виде отдельных кристаллов, пепочек и пятнистых скоплений. В участках интенсивного развития магматизации наблюдается послойное пропитывание субстрата кварц-полевошпатовым и пегматитовыми жилками. На плоскциях с максимальным проявлением магматизации наблюдается более межгранулярное пропитывание пород кварц-полевошпатовым материалом и образование гранитоидных пород с полосчатой, пятнистой и порфиробластической текстурой. Наиболее широко развиты среди магматитов тонкополосчатые разности смешанного состава.

На архейских гнейсо-гранитах, в тех участках, где они перекрываются образованием валдайской серии, отмечена кора выветривания, мощность которой в районе пос. Верхний Олонец достигает 14,65 м. Кора выветривания представляет собой в различной степени разрушенную и измененную вылитью до глины (в верхних частях породу тряжды-серого цвета, состоящую из слюды, хлорита, эпидота и каолина с примесью гидроокислов железа.

РАННИЕ НИЖНПРОТЕРОЗОЙСКИЕ ИНТРУЗИИ

Нижнепротерозойские интрузивные образования представлены как основным и ультрасовинными породами (табборо-диабазами, табборо, табборо-коритами, плагиоклазитами, плагиоклазовыми цироксенитами), так и гранитоидами микроклинового и плагио-микроклинового состава. Отнесение основных и ультрасовинных пород к нижнему протерозою является условным, ввиду отсутствия данных о взаимоотношениях их с вмещающими породами. Небольшие плоскости распространения их (согласно данным аэромагнитной съемки), близкая к линзовидной форме и расположение вблизи зоны рассланцевания, — все это снижает описываемые образования с гипабиссальным интрузиями обжигового типа, характерными для ранних этапов развития геосинклинальных зон. Отнесение гранитов к этой возрастной группе обусловлено фактом воздействия их на архейские гнейсо-гра-

ниты и на породы межозерской свиты нижнего протерозоя

Т а с ф о - д и а б а з а н (\vee Рт₁) обнаружены с помощью бурения при проверке магнитной аномалии на юго-западном берегу оз. Кроноозера и являются, по-видимому, составной частью интрузивного тела северо-восточного простирания протяженностью около 8 км. Более глубокие части интрузии вскрыты не были. По данным В.С. Алексеевой (1952ф), габбро-диабазы — это массивные крупнозернистые породы темно-серого цвета с зеленоватым оттенком, состоящие из андезина, альбита, уралитовой роговой обманки и небольшого количества биотита, хлорита, кварца, магнетита и титаномагнетита; в единичных зернах присутствуют апатит и пиритин. Спектральный анализ образцов габбро-диабаза показал содержание (в %): Fe и Ti около 1; Pb — 0,001—0,03; Ni — 0,001—0,003; V — 0,06—0,1; Cu — 0,03—0,06; Zn — 0,03; Co — 0,003; Mo — 0,01.

Габбро, габбро-нориты, пилиты
клазиты и плагиоклазовые пирократиты (НЭРт) слагают интрузивное тело северо-восточного
простирания в районе озер Вагозеро и Сылозеро, протяженностью
около 7–8 км (в пределах листа Р-36-ХХII) при ширине до 2 км.
Верхние его части сложены в основном мелто- и среднезернистыми
габбро, содержащими прослои лабрадорита мощностью 1,75–3,3 м,
габбро-норита (1,2 м) и пироксенита (1,6, 1,5 м). Переходы между
этими породами постепенные. В более глубоких частях интрузии от-
мечается крупно- и гигантозернистые лабрадориты и плагиоклазовыи
тироксениты. Для пород интрузии характерны габровая и гипидио-
морфно-зернистая структуры и присутствие андезина, андезин-лабра-
дора и тироксена, чаще всего диопсида, реже энстатита и гиперст-
на. Пироксенит почти целиком состоит из диаплаг-авлита, содержа-
щего включения малых зерен птилоклаза. Вторичные минералы
представлены амфиболом, биотитом и хлоритом, акессорные — скап-
литом, апатитом и кварцем. Химический анализ образцов, взятых из этих
пород (по данным А.М.Шагановой, 1951), показал, что содержание
железа растворимого колеблется в пределах 3,55–8,59%, серы 0,02–
0,43% и фосфора 0,09–0,54%.

Траиниты ($\gamma_1 P_{t1}$), отмеченные в центральной части территории листа Р-36-ХХII в районе озер Тервалампи-Пряжинское-Святозеро, а также на южном и северном берегах оз. Сямозера (Трофимоваволок, Ангей-Лахта), приурочены к краевой зоне протерозойского подвижного пояса, — к области стыка его с архейскими гнейсами-согранитами. Контуры распространения их, в связи с широким развитием четвертичных отложений и наименее обширных ареалов мигма-

тизации, являются условными, проведеными в значительной мере с помощью данных аэромагнитной съемки. В целом в своем залегании они подчинены складчатой структуре вмещающих пород, но на отдельных участках контакты их являются секущими. Господствующее распространение имеют платиомикроклиновые граниты, реже встречаются микроклин-платиоклазовые и микроклиновые разновидности. Резко подчеркнутую роль играют плагиграниты и гранодиориты, образование которых связано, по-видимому, с явлениями контаминации кислотой магмой материала вмещающих пород межозерской свиты и архейских гнейсо-гранитов.

РАННИЕ СРЕДНЕПОТЕРЬОЛСКИЕ ИНТРУЗИИ

Ранние среднепротерозойские интрузивные образования представлены силами диабазов и габбро-диабазов, внедрившихся в толщу пород туломозерской и занежской синт в районе озер Ниж. и Верх. Петозero

Диабазы и габбро-диабазы (νPt_2)

ВЕРХНЕПРОТЕРОЗОЙСКИЕ ИНТРУЗИИ

Это — зеленовато-серые в основном массивные средне- и крупнозернистые, реже мелкозернистые породы с ониксовой, габро-диабазовой и габбровой структурами. Они состоят из пластика (альбита, олигоклаз-андезина и андезина) большей частью замещенного сосудитом, хлоритом, эпидот-диопзитом, и пироксена (авгита, димолита), по которому развиваются актинолит, хлорит, эпидот, карбонат. Аксессорные представлены турмалином, гранатом и апатитом, рудные — постоянно присутствующим магнетитом и титаномагнетитом, а также шпиртом. В периферических частях интрузивных тел наблюдаются миндалевидные и порфировидные разновидности, для которых характерно наличие миндалин, выполненных хлоритом, кальцитом, диопзитом, кварцем и порфировидных выделений пироксена (авгита) размером до 2,5 мм, погруженных в микробиоту основную массу, по составу отвечающую диабазу и габбро-диабазу.

Воздействие пород описываемой группы на вмещающие карбонато-сланцевые отложения выражается в орогенических последних проявлениях в них скоплений новообразованного карбоната, придающих породам пятнистый облик. При этом сами основные породы претерпевают хлоритизацию и карбонатизацию, приобретают афантовое сложение и блесткофитовую структуру.

На диабазах, перекрытых образованиями вадайской серии (район пос. Матросы и Верхневажинский), отмечена кора выветривания мощностью 6,5–8 м. В нижних горизонтах она представлена сильно трещиноватым скречившимся обломком метадиабазом, переходящим через ракушку щебенчатую породу в буровато-коричневую глину карбонато-сланцисто-хлоритового состава.

ПОЗДНИЕ СРЕДНЕПРОТЕРОЗОЙСКИЕ ИНТРУЗИИ

К поздним среднепротерозойским образованиям отнесены дайки пластикаловых пород, секущие отложения заонежской и суйкарской свит.

Платиоклазовые породы (р μ Pt₂) распространены в районе ст. Падозеро в виде дайкообразного тела северо-восточного простирания длиной до 600 м при ширине 100–300 м. Это — массивные с порфировой структурой тонкозернистые зеленовато-серые породы, основная масса в которых по составу и структуре соответствует диабазу, а порфироны вкрашены, размером до 2–3 см, представлены альбитом. Участками основная масса имеет гиалопилитовую структуру и состоит из стекла, хлорита, микролитов пластикала, микрозерен пироксена и рудного минерала.

Комплекс верхнепротерозойских интрузивных образований включает условно граниты рапакиви и габбо-диабазы района озер Пелдожское и Пряжинское. Возраст этих интрузий, как и осадочных отложений иотийской серии, возможно, более древний, чем верхне-протерозойский.

Траниты — рапакиви ($\nu Pt_3?$) отмечены в районе оз. Сювеярви и Топорное (Экман и др., 1964) и являются краевой частью Улягского массива, контуры которого на геологической карте листа Р-36-ХХI проведены условно, — по характеру мат-ничного поля в этом районе. Взаимоотношения гранитов рапакиви с вмещающими породами на территории листа не наблюдались. Непосредственные контакты известны за пределами района оз. Туломозеро, Улягти, Ведлозера). Граниты рапакиви представляют собой неравномернозернистые, в основном, отчетливо порфировидные породы серовато-розового и мясо-красного цвета. Характерная порфировидная структура обусловлена наличием таблитчатых кристаллов полевого шпата (микроклин-пертита, ортоклаз-пертита и олигоклаза), беспорядочно расположенных среди основной мелкозернистой массы; иногда — это овощи удлиненно-округлой формы. Реже отмечается гранитная структура. Кварц наблюдается в виде смоляно-черных кристаллов. Цветной минерал представлен биотитом и, реже, рогово-обманкой. Из вторичных минералов отмечаются мусковит, серебряный обманкой. Из вторичных минералов отмечаются циркон, флюорит, эпидот и хлорит, из аксессорных — определены циркон, флюорит, апатит и, редко, торит. В составе рудной фракции присутствуют гематит, ильменит, шпирт, иногда молибденит.

Габбродиабазы ($\nu \mu Pt_3?$) вскрыты скважиной при проверке Пряжинской (или Пелдожской) магнитной аномалии, имеющей северо-восточное простирание по линии озер Святозеро-Пелдожское-Логиново. Породы, вмещающие интрузивное тело, не установлены. На площади смежного к востоку листа они залегают на границе петров заводской и южинской свит. Габбо-диабазы массивные мелко- и среднезернистые, а также крупнозернистые (вплоть до грубозернистых) серые и темно-серые породы, состоящие из пластикала (лабрадора, андезина-лабрадора, андезина), нередко частично раскисленного до олигоклаза и имеющего в таких случаях зональное строение, и пироксена, представленного диопсид-авгитом, реже гиперстеном. Пластикал замещается соссиритом, эпидотом, хлоритом и карбонатом, пироксен — роговой обманкой, хлоритом, эпидотом, клиноцизитом и биотитом. Всегда присутствует магнетит

в количестве до 5%. В числе акцессорных постоянно отмечается турмалин, гранат и апатит. Структура габбро-диабазов призматическая зернистая с участками габбро-офиотовой и габровой, габро-офиовая и ожиговая.

Химический анализ габбро-диабазов (Экман, 1964ф) показал следующие содержания окислов (в %): SiO₂ – 46,34; TiO₂ – 2,33; Al₂O₃ – 13,27; Fe₂O₃ – 18,04; MnO – 0,13; CaO – 10,04; MgO – 4,74; K₂O – 0,88; Na₂O – 2,50; H₂O (гигр.) – 0,07; п.п.п. – 1,20. Данные анализа соответствуют таковым, имеющимся для квартового габбро-диабаза Западного Прионежья (Кратц, 1950ф), относящегося к иогнанию. Химанализ проб на железо растворимое показал его содержание в пределах 9,75–13,29 (Виленский, 1950ф).

ТЕКТОНИКА

Плодородный листа Р-36-ХII располагается в области соединения Балтийского кристаллического щита и северной окраины Русской равнины, или, согласно схеме геотектонического районирования Карело-Кольского региона (К.О. Кратц, 1958ф), на стыке Койкарской глыбы и Онежской мульды. Наиболее древние кристаллические образования района, представленные архейскими гранитоидами и явившимися юго-восточной частью Койкарской глыбы, образуют архейский структурный ярус. Протерозойские породы, образующие Онежскую мульду и Западно-Онежскую синеклизы, слагают три структурных яруса: нижнепротерозойский, среднепротерозойский и верхнепротерозойский (рис.1).

СТРУКТУРНЫЙ КОМПЛЕКС ФУНДАМЕНТА Архейский структурный ярус

О строении площацей распространения архейских пород, как правило, плохо обнаружено, имеется мало сведений. К тому же внутренняя структура их в значительной мере претерпела перестройку в период карельской складчатости. Кристаллическое основание архея разбито на вытянутые в меридиональном направлении глыбы, разобщенные нижнепротерозойской складчатой зоной. Архейские глыбы структурно сопряжены с нижнепротерозойскими гранитами, наполовину обнаженными на поверхности, и реоморфизированы в результате воздействия которых они сильно метаморфизованы и реоморфизированы. По отношению к Онежскому синклиниорию область, занятую архейскими и нижнепротерозойскими образованиями, можно рассматривать как пологое антиклинальное поднятие.

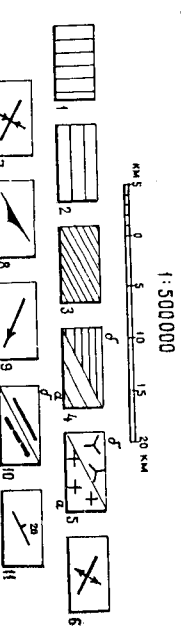
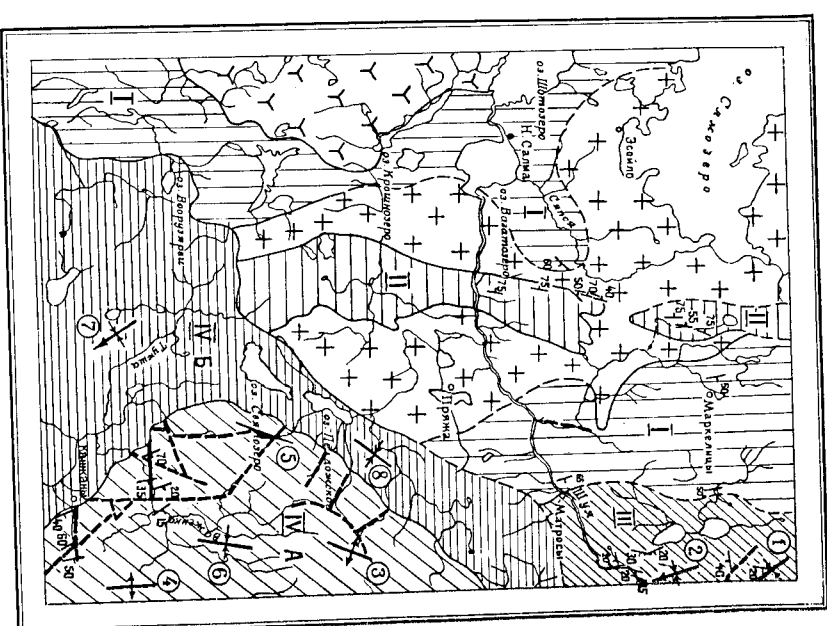


Рис.1. Тектоническая схема

Структурный комплекс фундамента: 1 – архейский структурный ярус (блоки архейского кристаллического фундамента (I), нижнепротерозойский структурный ярус: Кийдасовско-Маньгинская синеклиза – карельская зона (II) – ранние карелии; 3 – среднепротерозойский структурный ярус: Онежская мульда – поздние карелии); платформенный структурный комплекс (IV): 4 – верхнепротерозойский структурный ярус: нижний подярус (A), верхний подярус (B); 5 – оси антиклиналей гранитоидов протерозоя; 6 – оси моноклиналий; 9 – направление погружения осей; 10 – разломы: предполагаемые (a), посттектонические (б); II – элементы залегания пород. Цифры в кружках на схеме обозначены структуры: 1 – Карельская синеклиза (A); 3 – Ильинская синеклиза (B); 4 – Западно-Карельская антиклиналь; 5 – Восточно-Карельская антиклиналь; 6 – Важенская синеклиза; 7 – Туминский прогиб; 8 – Пелложский Важорская впадина (Б); 7 – Туминский прогиб; 8 – Пелложский прогиб



Нижнепротерозойский структурный ярус

Нижнепротерозойский структурный ярус представлен Киндасовско-Маныгинской синклинальной зоной (II), протягивающейся в центральной части территории от оз. Самовера на юге через оз. Чолчек до северной границы площади листа Р-36-ХХII. Протяженность ее около 56 км, ширина не превышает 6 км. В районе Кутумы опи-ваемая структура разделяется на северную и южную части централь-ным антиклинальным поднятием, в котором обнажаются нижнепротеро-зойские плагио-микроклиновые граниты, прорывающие и митматизи-рующие толщу осадочно-эфузивных пород бергагульской и межозер-ской свит, имеющих субмеридиональное простирание полосчатости и сланцеватости.

Структура осложнена мелкими складками, падающими изоклинальными склад-кам, падающими на запад под крутыми углами ($65-75-85^{\circ}$). В ней отмечаются дисъюнктивные нарушения, о чём свидетельствуют зоны просстяния, бреекции и многочисленные трещины с зеркалами скольже-ния. Не исключена возможность, что Киндасовско-Маныгинская син-клинальная структура была заложена в тектоническом понижении ар-хейского кристаллического фундамента и по своей природе являет-ся грабен-синклиналью, испытавшей тектонические подвижки в более поздние этапы своего развития. С запада и востока структу-ра ограничена нижнепротерозойскими гранитоидами, а в южной части перекрывается верхнепротерозойскими образованиями валдайской серии.

Среднепротерозойский структурный ярус

Среднепротерозойский структурный ярус – самая сложная по построению и разнообразие структурная единица в пределах территории листа Р-36-ХХII. На юге она ограничена Киндасовско-Маныгинской синклинальной зоной (II), на севере – Красногорской синклинальной зоной (III). Площадь среднепротерозойской структуры определяется площадью листа Р-36-ХХII и составляет 1500 км².

На юге среднепротерозойский структурный ярус ограничен Киндасовско-Маныгинской синклинальной зоной (II), на севере – Красногорской синклинальной зоной (III). Площадь среднепротерозойской структуры определяется площадью листа Р-36-ХХII и составляет 1500 км².

В северо-западном при погружении на юго-восток под углами $15-20^{\circ}$. Ядро синклинали сложено территиально-осадочными образова-ниями пучской свиты, залегающими с угловым несогласием на более древних осадочно-вулканогенных образованиях падасской и сутсар-ской свит (Михайлов, 1964). Углы падения пород $35-40^{\circ}$, реже 60° , в ядре синклинали они выполняются до $5-20^{\circ}$. Северо-восточ-ный край синклинали осложнен тектоническим нарушением северо-западного простирания. Западная граница структуры неотчетли-ва. В южной своей части синклиналь погружается под образования верхнего подъяруса.

Карельская синклиналь (I) является частью структуры, расположенной на территории смежного ХХIII листа, синклиналью площади она фиксируется южнее р. Чална, где центрикли-ческое заложение структуры отчетливо отражается в рельфе в виде серии параллельно расположенных подковообразных гряд. Ядро синклинали сложено плагиоклавовыми и плагио-пироксеновыми порфи-ритами и их туфами, а на крыльях развиты миндалевидные диадазы, диабазовые горючириты и шунгито-глинистые сланцы. Углы падения пород варьируют от $35-45^{\circ}$ (на крыльях) до $15-20^{\circ}$ (в ядре синкли-нали).

ПЛАТФОРМЕННЫЙ СТРУКТУРНЫЙ КОМПЛЕКС

Верхнепротерозойский структурный ярус объединяет два подъяруса – верхний и нижний. Нижний подъярус представлен северо-запад-ным крылом пологой Западно-Онежской синеклизы с общим погруже-нием ее оси к юго-востоку, сложенной иотийскими кварцито-песча-никами и песчаниками. Площадь распространения последних почти точно оконтуривается с севера и запада отчетливо выраженным в рельфе ступенчатым уступом высотой до $250-300$ м. Простижение уступа (глинта) и пород крыла меняется от северо-восточного (район оз. Пелдожского) через меридиональное (район оз. Святозера) до северо-западного (среднее течение р. Важенки). Углы падения слоя-стости от $15-20^{\circ}$ до 65° . Вблизи осевой части синеклизы порода застегают горизонтально. Протяженность структуры в пределах тер-ритории листа 40-45 км. Крыло синеклизы осложнено серией складок второго и третьего порядка. Размеры складок меняются от $10-15$ км по длине при ширине от $2,5$ до $7-8$ км. Наиболее крупными из них являются Илакская (3) и Восточно-Каштанская (4) антиклинали и усложненная Совдинско-Тукшинская моноклиналь (5), а также зале-

тающих между ними Важенская синклиналь (6).

Верхний подъярус сложен почти горизонтально залегающими песчаниками гловского и глинистыми котлинского горизонтов, входящими в состав валдайского комплекса. Породы с угловым и стратиграфическим несогласием лежат через кору выетывания на более древних осадочных, осадочно-эфузивных и интрузивных образованиях. В пределах площади развития отложений валдайского комплекса выделяется крупный пологий открытый к югу Тукинский прогиб (7). На востоке он ограничен тянгитом и юнитом южных пород, на севере его граница проходит примерно по линии оз. Святозеро и пос. Верхний Олонец, где гловские песчаники лежат на архейских гранито-дахах и амфиболитах межозерской свиты. Западная граница прогиба условно проводится в юго-западном направлении к оз. Святозеру и далее до южной границы района. Протяженность прогиба 22–23 км при ширине до 26 км. Ось прогиба полого наклонена к югу.

В районе оз. Святозера Тукинский прогиб смыкается с Пелдожским прогибом (8), прослеживающимся в виде узкой полосы северо-восточного простирания от оз. Святозеро через средне-течение рек Сомби и Норис (южнее пос. Матросы и с. Половина). Длина прогиба около 40–50 км при ширине до 4–8 км.

Трещинная тектоника

Основными направлениями трещиноватости пород являются следующие: субмеридиональное (от северо-западного 350° до северо-восточного 10°), северо-западное (310 – 330°), северо-восточное (30 – 70°) и субдиагональное. Эти направления подчеркиваются геоморфологическими формами рельефа, главным образом, отрицательного порядка.

Тектонические нарушения (разрывы) субмеридионального направления выражаются на р. Важенке и других пунктах площади листа (см. рис. I). Они затрагивают породы различного состава и возраста и проявляются иногда в наличии следов подвижек (зеркал скольжения, зоны брекчирования). Крупным разрывным нарушением субширотного простирания обусловлено возникновение каньонобразного ущелья Генсойсельга в верхнем течении р. Важенки. Высота обрывистых бортов ущелья достигает 60–80 м. Ущелье заложено в щохинских песчаниках и кварцито-песчаниках, в которых наблюдаются перемещения слоев с небольшими амплитудами. По геоморфологическим признакам восточнее сёл Верхневажинский и Кашкани

намечаются мелкие сбросы или блоксурообразные изгибы пластов щохинских кварцито-песчаников, выраженные в рельефе в виде уступов.

В четвертичное время отрицательные движения фундамента, как и в целом для Балтийского щита, обусловленные ледниковой нагрузкой в эпохи оледенения, сменялись компенсационными движениями положительного знака в межледниковые эпохи. Эпигеотектонические движения участками сопровождались разрывными нарушениями и блоковыми движениями. Признаки молодых блоковых движений отмечены в районе пос. Матросы, где они проявляются в наименее альвиаль-участках (высотой 1–1,5 м), а также интенсивным развитием оврагов на левобережье р. Шуи.

Другим участком неравномерного поднятия суши в пределах территории листа Р-36-ХХI является район оз. Сямозера, где происходит подъем южного и юго-восточного и опускание северо-западного берегов. Поднятие суши проявляется в развитии широких пляжей, террас, береговых валов, дюн и несвойственно высоком типометрическом положении стоянок неолитического человека (Шапановок, Сиргилахта, Курмойла). Опускание северо-западного берега подтверждается затоплением устьев рек Кивач, Сулак, Айменега и отсутствием у них дельтовых образований. Многолетние гидрологические наблюдения водомерного поста у дер. Утмойла также свидетельствуют о повышении здесь уровня воды.

ГЕОМОРФОЛОГИЯ

Рельеф территории листа относится к денудационной, структурно-денудационной и аккумулятивной генетическим категориям.

Денудация и омыление рельефа. Денудационные равнины развиты к северу от р. Шуи главным образом на архейских и протерозойских гранитах, характеризующихся близкой степенью сопротивляемости процессам денудации. Эти равнины наблюдаются на небольших по площади участках на абсолютной высоте от 70 до 140 м среди равнин аккумулятивного генезиса, что обусловлено значительными неровностями дочетвертичного пенеплена. Относительные превышения рельефа на обнаженных частях пенеплена колеблются, обычно, в пределах 5–10 м.

Относительно плоская, слабо расчлененная поверхность равнина нарушается возвышеностями останцового типа, возвышающимися над окружающей местностью на 20–25 м. Такие останцы отмечены к югу от с. Виля-Гора, западнее оз. Верх. Падозеро и у с. Маркелицы.

Вершины останцов плоские, усеченные, склоны круговые. Пластообразная поверхность останцов местами рассеченена нетлубокими расщелинами.

Согласно данным бурения, к югу от р.Шуи пенепленизированная поверхность гранитов полого погружается под осадочные образования ведлайской серии, слагающих северную окраину Русской равнины. Не исключено, что поверхность погребенного пенеплена осложнена глубокими впадинами, которые могли служить местами накопления продуктов разложения из верхней зоны довалдайской коры выветривания. Одна из таких погребенных депрессий протягивается от оз.Святозера в северо-восточном направлении через среднее течение р.Сомбы к истокам р.Вымы, южнее с.Половины (рис.2). Восточнее, за пределами гранит терриории листа, эта депрессия приобретает широтное направление и отчетливо прослеживается до г.Петрозаводска, где соединяется с впадиной, занятой Онежским озером. Далее оз.Святозера направление и морфология депрессии пока не ясны. Вероятно, она меняет свое направление на южное и юго-западное и протягивается через район оз.Чаром, бассейн среднего течения р.Важенки и далее, соединяясь с впадиной Ладожского озера. Ширина депрессии местами сужается до 6-10 км. Абсолютные отметки поверхности этого погребенного пенеплена на значительной площади меняются от -5 до +30 м.

С т р у к т у р а н о - д е н у д а ц и о н н ы й р е л ь е ф . Рельеф данной категории развит преимущественно в северо-восточной и юго-восточной частях территории листа, в пределах поля развития среднепротерозойских осадочных, осадочно-эфлюзионных и пирокластических пород. Особенностью рельефа является зависимость ориентировки и формы его положительных и отрицательных элементов от геологических структур. Эта зависимость отчетливо проявляется в районе озер Ниж. и Верх.Падозера. Здесь породы заонежской, суйсарской и падосской свит смяты в брахиоскладки северо-западного и субмеридионального простирания. В объеме крыльям синклинальных складок соответствуют повышенные участки рельефа, обычно, в виде грядового ряда, а ядра этих структур – пониженные участки. Северо-восточнее оз.Верх.Падозера, где смываются крылья Карельской синклинали, высокие гряды, разделенные узкими ложбинами, имеют подковообразную форму, простирание которых меняется в зависимости от изменения направления крыльев этой структуры. Из-за пестрого литологического состава пород, в результате селективной денудации рельеф приобретает еще более сложную форму. Так, например, на малоустойчивых породах туломозерской и заонежской свит – доломитах, глинистых, карбонатно-

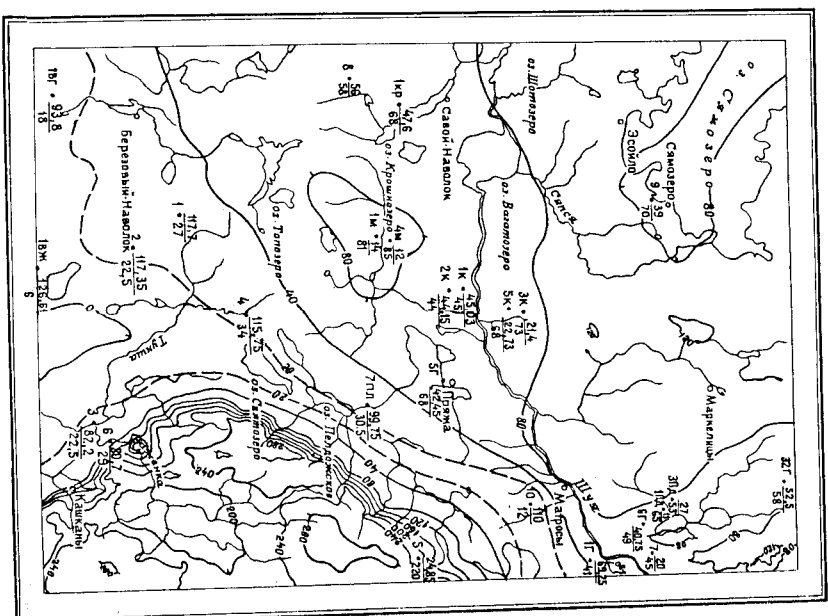


Рис.2. Схематическая карта поверхности кристаллического фундамента

1 – изолинии поверхности кристаллического фундамента; 2 – номера скважин; в числителе – мощность четвертичных отложений и образование ведлайской серии, в знаменателе – абсолютные отметки поверхности фундамента

глинистых, шунитовых и других сланцах, туфо-песчаниках, независимо от их положения в геологической структуре, развиты пониженные заболоченные участки (район понижения озер Ник. и Верх. Падозера и др.). Вулканы суйсарской и заонежской свит, габбро-диабазы и интрузивные диабазы слагают возвышенности, — обычно гряды. Абсолютные отметки рельефа здесь меняются от 60 до 150 м. Относительные высоты гряд не превышают 30–50 м.

Структура иотнийских образований определяет геоморфологию юго-восточной части территории. В современном рельфе она выражена в виде обширного возвышенного плато со слабо расчлененной поверхностью. Плато с севера и запада ограничено крутым ступенчатым уступом (глином) высотой 200–300 м. С ним примерно совпадает граница распространения устойчивых к выветриванию иотнинских песчаников и кварцито-песчаников. На фоне окружающего аккумулятивного рельефа выделяется лишь верхняя часть иотнского уступа высотой до 60–80 м. Абсолютные отметки поверхности плато колеблются от 170 м (р. Важенка) до 314 м (восточнее с. Святозера). Несмотря на значительные колебания абсолютных высот, относительные превышения незначительны. Плато имеет выровненный характер поверхности. В пределах плато устанавливается ряд крупных повышенных участков и между ними одно обширное понижение в бассейне верхнего течения р. Важенки. Антиклинальным структурам в рельфе плато соответствуют куполообразные возвышения, а пологой Важенской синклиниали — понижение.

Таким образом, иотнинское плато в целом представляет собой очень крупную иннерционную форму рельефа, в пределах которой устанавливается, в свою очередь, прямая зависимость устройства поверхности от геологических структур второго порядка. Окончательная моделировка поверхности плато связана в основном с аккумулятивной деятельностью останковского ледника, созданного здесь участки моренной равнины, а также холмисто-моренный ландшафт, камыши, характеризующиеся обычно уплощенными расплывчатыми очертаниями.

А к к у м у л я т и в н и й р е л ь ь ф . Аккумулятивные равнины развиты почти повсеместно в северной, центральной и юго-западной частях территории листа. Наиболее пониженные участки ложеvertитного рельефа этой площади благоприятствовали в ледниковые века накоплению ледниковых отложений. В межледниковые эпохи они обводнялись, так как располагались на низких уровнях, благодаря гляциоморфостатическому прогибу, и в них начали ваться толщи озерных и морских осадков. С аккумулятивной деятельностью максимальной стадии карельского ледника связано в основ-

ном окончательное формирование на этой площади аккумулятивной равнины. Таким образом, эта аккумулятивная равнина имеет сложное строение. Мощность четвертичных отложений на значительной части ее площади превышает 100–120 м.

Поверхность аккумулятивной равнины осложнена преимущественно формами ледниковой и водно-ледниковой аккумуляции. Холмисто-грядовый моренный ландшафт в сочетании с конечными моренами развит в юго-восточной ее части вдоль северного и западного склонов Олонецкой возвышенности, где входит в комплекс краевых образований максимального наступления карельского ледника. Наиболее типичную форму этот рельеф имеет восточнее озер Пелдожского и Святозера. Здесь распространены кругосклонные холмы и гряды, высота которых колеблется от 10 до 30 м, а иногда до 40–50 м. Длина отдельных гряд достигает 2–4 км. Характерно развитие серии параллельно расположенных гряд, среди которых многие имеют черты типичных напорных образований. Расположение конечных морен отчетливо подчеркивает границу распространения льдов максимальной стадии карельского оледенения. Абсолютные отметки рельефа здесь колеблются от 140 до 240 м. Значительное развитие имеют массивы кругосклонных и высоких моренных холмов и гряд западнее оз. Святозера, севернее оз. Топозера, северо-западнее оз. Кутжозера и других местах. Моренные равнины занимают сравнительно небольшие площади и отмечены юго-западнее оз. Ник. Падозера, между реками Тужней и Рандозеркой и других пунктах.

Характерной особенностью рассматриваемой аккумулятивной равнины является широкое распространение озев и камов. Наиболее крупные плосады они занимают в районе озер Сямозера, Шотозера, Крошиозера, Вагозера, Пряжинского и на других участках. Озевые гряды местами группируются в значительные по протяженности линейно-вытянутые зоны. Наиболее крупной из таких зон является полоса озев, проходящая от северной границы района к оз. Ворузь-ярви на расстоянии 70 км, обрамляя восточные побережья озер Сямозера, Шотозера и Топозера. Вторая крупная зона протягивается от оз. Пряжинского через пос. Матросы к с. Половина и далее за пределы границ района в сторону г. Петрозаводска (Сулак-Горы). Эти зоны развития озев, совместно с примыкающими к ним участками камов и холмисто-грядового моренного рельефа, представляют собой, вероятно, маргинальные образования, связанные с осадиллярными подвижками или длительными остановками карельского ледника, отступившего уже от границ своего максимального распространения. Все другие группировки озев, являются менее крупными. Длина отдельных озев, в среднем, колеблется от 0,5 до 3–5 км, а высота

от 6-8 до 20-30 м. Однако, отмечены также озовые гряды высотой до 40-50 м (южнее с. Новая Салминка, у пос. Верхний Олонец). Ширина озова колеблется от 8-15 до 500-700 м. Флювиогляциальные дельты отмечены только у оз. Шотозера и в с. Киндасово. Формы и размеры камов разнообразны. Встречаются пятиугольные холмы высотой до 50-60 м (западнее с. Эсойло). Средняя же высота камов составляет 6-25 м.

С озерно-ледниковой, морской и частью озерной аккумуляцией связана дальнейшая модификация рельефа и образование обширных участков плоских равнин в Шуйской низине, местами в бассейне р. Важенки, у оз. Важозера и других местах. Абразивной и аккумулятивной деятельности сформированы абразивные уровни и поверхности, террасы и вали на береговых склонах древних и современных бассейнов. Наиболее высокая терраса (с отметкой 136-140 м), отчетливо выраженная у с. Святоозера, связана с максимальным уровнем I-го балтийского ледникового озера, а вторая, более низкая (132-134 м), — соответствует наиболее высокому положению осадков I-го поледневого моря. Повсеместно в районе Шуйской низины устанавливаются четкие и разнообразные береговые линии на отметках 95-105 м, соответствующие уровню пресноводного бассейна времени существования 2-го балтийского ледникового озера. Более низкие террасы здесь имеют отметки 80-85, 70-75, 60-65 и 55 м. Процессы заболачивания прошлились повсеместно и выразились в дальнейшей нивелировке пониженного рельефа. Последледниковая деятельность, деятельность ветра и рек также имеют второстепенное рельефообразующее значение. Параболическая дюна высотой до 4-5 м отмечена только на юго-восточном берегу Самозера (с. Алекка). По берегам рек Шуй, Важенки и других местах отмечаются пойма и две надпойменные террасы высотой 1,5-2 и 3-4 м. Часто террасы совершенно отсутствуют и по их берегам отмечается эрозионные уступы высотой от 1-2 до 8-10 м.

ПОЛЕЗНЫЕ ИСКОПАЕМЫЕ

На территории листа Р-36-ХХII известны месторождения твердых горючих и металлических полезных ископаемых и различных строительных материалов преимущественно осадочного происхождения, приуроченных к протерозойским и четвертичным породам. С образованием межозерской свиты нижнего протерозоя связаны неприменимые месторождения магнетитовых кварцитов. Карбонатные породы туломозерской свиты среднего протерозоя являются строитель-

ным материалом и, в частности, могут быть использованы для производства известково-сланцевых изделий. С четвертичными отложениями связаны торф, озерные железныеруды, легкоплавкие кирпичные глины, песчано-гравийно-галечный материал и минеральные краски.

В результате шлихового опробования выясниено, что постоян но присутствующими в шлихах, но в незначительном количестве, являются монацит и хромит, несколько реже наблюдается шеелит, в редких пробах отмечаются золото и розовый турмалин. Какойлибо закономерности и пространственной локализации в распределении полезных минеральных компонентов не намечается.

ГОРОЮЧИЕ ИСКОПАЕМЫЕ

Твердые горючие ископаемые Торф

На территории листа широко развиты торфяно-богатые отложения, образующие массивы различной мощности и размеров. На карте полезных ископаемых нанесены лишь те, которые в настоящий момент рекомендуются к промышленному освоению, т.е. имеющие мощность не менее 0,7 м и площади не менее 100 га. Всего на карте полезных ископаемых нанесены 26 месторождений торфа. Наиболее крупными из них являются Лижесую (30), Кончу — Ламбисую (42) и Важинское (61). Остальные отнесены по своим запасам к средним (14, 22, 36, 63, 65) и мелким (9, 17-21, 23, 25, 35, 38, 41, 43, 44, 48-50).

Тепловые свойства торфов большей частью являются вполне удовлетворительными. Торф можно использовать в качестве топлива. Основной же областью их применения является сельское хозяйство (подстилка и удобрительный материал).

МЕТАЛЛИЧЕСКИЕ ИСКОПАЕМЫЕ

Черные метали Магнетит

Единственным представителем этой группы полезных ископаемых на территории листа Р-36-ХХII является непромышленное месторождение черных металлов (железа), известного под названием Кинь-дасово-Маньтинского, которое объединяет три рудных участка: Северо-Киньдинское (67), Киньдинское (63) и Западно-Маньтинское (69). Участки расположены в центральной части описываемой

территории в районе деревень Маньга и Киндасово и приурочены к единой геологической зоне субмеридионального простирания, в строении которой принимают участие породы межозерской свиты нижнего протерозоя. Рудные участки представляют собой отдельные взаимно параллельные залежи, характеризующиеся тождественным геологическим строением. Рудные горизонты сложены пачками железистых кварцитов среди амфиболитов, зеленых и графитистых сланцев, залегающих почти вертикально с некоторым отклонением на запад и весьма невыдержаных по простиранию. Мощность рудных пачек колеблется в пределах 0,41–4,91 м. Количество рудных горизонтов различное: от двух (Северо-Киндасовский участок) до пяти (Киндасовский участок).

Железистые кварциты представляют собой отчетливо полосчатые породы, в которых полосчатость обусловлена взаимным чередованием магнетитовых прослоев с кварцевыми и роговообманковыми. Магнетитовые прослои мощностью от 0,5 мм до 1–2 см в незначительном количестве содержат сульфиды: пирит, пиротин, халькопирит и, реже, арсенопирит, марказит, сфalerит и галенит; в единичном случае обнаружен слеций золота. Количество железа растворимого в рудах колеблется от 10,3 до 32,13%; наиболее высокое содержание его отмечено на Киндасовском участке, Максимальные количества серы и фосфора ограничены, соответственно, цифрами 2,66 и 0,15%. Кроме того, спектральным анализом в рудах установлено наличие марганца и титана – до 1% каждого, ванадия – до 0,1% и других полезных компонентов в количествах, близких к клараковым. Запасы, подсчитанные по Северо-Киндасовскому и Киндасовскому участкам на глубину 100 м по кат. С₁+С₂, составляют 1,8 млн. т. Ввиду низкого содержания железа в рудах и малой мощности рудных горизонтов, месторождение отнесено в разряд непромышленных, а запасы – к забалансовым.

Озерные железные руды

Лимонит

Озерные руды представлены минералами группы лимонита в виде гидроокислов железа и марганца, примешанных в том или ином количестве к пустой породе. Преобладающими являются руды железа. Соединения марганца имеют подчиненное значение, составляя 0,5–15,9%, в редких случаях до 32%. Эти руды в прошлом имели большое значение. Так, Самозерские и Вагатозерские руды использовались Суоярвским, Кончозерским и Александровским заводами во второй половине XIX в.

С я м о з е р с к о е м е с т о р о ж д е н и е (1, II, I₂, I₃, III), расположенные в северо-западной части площади листа Р-36-ХII, известно с 1860 г. С 1891 по 1893 г. на Суоярвском заводе было переплавлено 45 тыс. тонн самозерской руды. Летом 1930 г. Б.П. Воскобойниковым были обследованы 4 рудных поля (I, II, I₂, I₃) и определены запасы кат. С₁ в количестве 733 тыс.т. Забалансовые запасы составили 274 тыс.т. В пески озера включены рудные мартанцовисто-железистые конкреции размером 0,5–3 мм, иногда более 1 см. Содержание железа и марганца в конкрециях 35–40%, в том числе марганца около 2–3%, иногда до 15%. Рудные скопления отмечены на глубине не более 9 м.

В а т а т о з е р с к о е м е с т о р о ж д е н и е (32) известно с 1859 г. По данным Александровского завода, химический состав руды следующий (в %): SiO₂ – 28,78; Al₂O₃ – 2,21; CaO – сл.; MnO – 2,46; Fe₂O₃ – 39,71; S – сл.; P₂O₅ – 0,96; Fe Metall. – 27,30. Количество руды на 1 км² около 17 тыс.т. Запасы не подсчитывались.

Озерные железные руды в настоящее время не разрабатываются ввиду незначительных запасов.

СТРОИТЕЛЬНЫЕ И ОГНЕУТОРНЫЕ МАТЕРИАЛЫ

К а р б о н а т н ы е п о р о д ы

Доломит

На площади листа Р-36-ХII известно лишь одно месторождение доломитов – В и д а н с к о е (Падозерское – 66). Месторождение расположено вблизи берега оз. Ниж. Падозеро в 30 км к северо-западу от г. Петрозаводска, в 1 км к югу от пос. Падозера и в 2–3 км от ж.д. линии Петрозаводск – Суоярви. Оно неоднократно подвергалось разведке и кустарной разработке с обжигом доломита в напольных печах. По данным разведочных работ (Яриков, 1948ф) и ревизионного обследования (Пекки, 1952ф), месторождение считалось малоперспективным по горнотехническим условиям, ограниченным запасам (200–250 тыс.м³) и низкому качеству сырья. Однако, близость месторождения к Петрозаводску при отсутствии перспектив выявления других месторождений с сырьем более высокого качества вызвали необходимость дополнительного изучения Падозерского месторождения в 1953–1954 гг. (Коростовцева, 1956ф) с целью подготовки запасов доломита для строительной и карбонатной извести и известково-силикатных изделий.

Толща доломитов, относящаяся к туломозерской свите среднего протерозоя, по своему составу весьма неоднородна. На отдельных участках доломиты в различной степени окварцированы. Проблащающей разностью являются серые и розовые доломиты мелко- и среднезернистого сложения. Содержание CaCO₃ в них, в среднем 46,5%, а нерастворимого остатка около 12%.

Проведенными технологическими испытаниями установлено, что доломиты месторождения при соблюдении ряда условий технологического процесса могут быть использованы для получения строительной (ГОСТ 1174-54) кирпичной и карбонатной (ВИУ МГСМ СССР) известки, а также для производства известково-силикатных изделий — силикатного кирпича (ГОСТ 379-53) и силикатных облицовочных плиток. Неглубокое залегание доломитов позволяет вести горные работы открытым способом. Месторождение в настоящее время не эксплуатируется и находится в ведении Управления промстройматериалов Северо-Западного Сознархоза. На балансе на 1/1 1964 г. числятся следующие запасы: кат. ВнСТ — 1866,3 тыс.т.; запасы совне — 891,4 тыс.т. Запасы утверждены ТКЗ (№ 622 от 10/VI 1956 г.) по состоянию на 1/1 1956 г.

Глинистые породы

Кирилловское месторождение (37) расположено в 10 км к северо-западу от пос. Пряжи на правом берегу р. Шуи, на окраине с. Киндасово. Мощность промышленной толщи месторождения от 5,4 до 8,9 м. Глины дисперсные и, в меньшей мере, грубодисперсные, умеренно и слабо пластичные, по своим физико-механическим свойствам отвечают требованиям ГОСТ 530-54 и пригодны для изготовления обычновенного строительного кирпича марки "125". Балансовые запасы на 1/1 1964 г. по кат. А+В+СТ составляют 242 тыс.м³, С₂ — 1022 тыс.м³. Запасы утверждены ТКЗ № 881 от 19/У 1961 г. Вокруг месторождения отмечено наличие песка, пригодного в качестве отходящей добавки к глиням в количестве 39,5 тыс.м³ и по степени разведанности отвечающего кат. Ст. Горнотехнические условия эксплуатации месторождения благоприятные.

Обломочные породы

Обломочные породы представлены рыхлыми песчано-гравийными и валуно-галечно-гравийно-песчаными отложениями. Генетический первые относятся к озерно-ледниковым образованиям и слагают ка-

мовые холмы, вторые — к флювиогляциальным, слагающим озовые тряды различных размеров. И те и другие широко распространены в пределах территории листа Р-36-ХХII, где известно 13 «песчано-гравийных месторождений и 10 месторождений смешанного балласта (валуно-галечно-гравийно-песчаных).

Все разведанные месторождения расположены вдоль железнодорожной и шоссейной магистралей Петрозаводск — Сортавала и грунтовых дорог Пряжа — Кутчозеро и Эсойло — Крошнозеро. Изучение этих месторождений связано с ремонтом и строительством автомобилей дорог и железнодорожных насыпей. Из 23 известных месторождений на балансе запасов числится всего 4 (Эсойло-Лисне Торы, Вилла, Корза и Савала), из которых лишь одно (Эсойло-Лисне Торы) разрабатывается в настоящее время. Подавляющая же часть песчано-гравийно-смешанного балластного материала добывается на мелких месторождениях, запасы которых не учитываются балансом, виду того, что организации, эксплуатирующие эти месторождения, в добывче не отчитываются. Все месторождения отнесены к мелким, за исключением месторождений Эсойло-Лисне Торы (6) и Вилла (46), которые по своим запасам соответствуют средним.

Изучение месторождений проводилось в различное время различными организациями. Так, в 1940 г. Лентранстроектом на отрезке Падозеро — Эсойло дороги Петрозаводск — Сортавала было разведано 10 месторождений (3, 5, 7, 15, 16, 24, 26, 27, 28, 29), из которых 15 и 26 разработаны и законсервированы. В 1953 г. Ленинградским филиалом Гипротранскарьера было разведано 5 месторождений в районе Эсойло (2, 4, 6, 8, 10). В 1956—1957 гг. Ленгипнерурдрест занимался изучением песчаного месторождения Вилла (46).

В 1960—1961 гг. Карельская комплексная экспедиция (Александр, 1962б) провела разведку 7 песчано-гравийных месторождений вдоль дорог Пряжа — Кутчозеро и Эсойло — Крошнозера (31, 33, 51, 52, 53, 54, 55).

Ниже приводится описание месторождений, запасы которых числятся на балансе. Сведения по остальным месторождениям даны в табл. I.

Месторождение Эсойло — Лисне Торы (6) расположено на южном побережье оз. Самсозера. Полезной толщей являются средние и крупнозернистые пески, часто гравелистые, с линзовидными прослоями гравийно-валунного материала и мелко- и тонкозернистого песка с гравием. Мощность ее, в среднем, составляет 15 м. Мощность вскидки 0,1—3,9 м. Материал отвечает техническим требованиям МС на крупно- и среднезернистый

Таблица I

№ п/п	№ по карте	Морфология месторождения	Литология отложений	Средняя мощность полезной толщи, м	Средняя мощность вскрыши, м	Запасы, тыс.м ³		Примечание
						C ₁	C ₂	
I	2	3	4	5	6	7	8	9
I	29	Озовая гряда	Среднезернистые пески с гравием, галькой и валунами	4,60	0,1-0,05	74,0	-	-
2	7	Озовая гряда	Пески с гравием и валунами	-	-	-	268,0	-
3	5	Грядообразный холм	Пески с гравием и валунами (до 30%)	-	-	Кат.В 6,3	-	-
4	3	Озовая гряда	Гравелистые пески (содержание песка 63%, гравия 37%)	2,1	-	26,2	-	-
5	28	Пологий холм	Мелко- и среднезернистые пески с гравием и галькой	1,2-6,0	-	-	45,0	-
6	53	Камовый холм	Песчано-гравийный материал с валунами	2,9	-	6,1	-	-

Продолжение табл. I

I	2	3	4	5	6	7	8	9
7	51	Озовая гряда	Гравийно-песчаный материал	3,9	-	8,0	-	-
8	26	Камовый холм	Пески	3,0	-	-	8,0	Эксплуатировалось
9	27	Пологая возвышенность	Песчано-гравийно-валунный материал	1,3	0,5	-	6,5	-
10	31	Камовый холм	Гравийно-песчаный материал	2,7	-	303,3	-	-
II	33	Озовая гряда	То же	2,6	-	-	30,4	-
12	16	Камовый холм	Песчано-гравийно-галечный материал	2,47	0,47	-	13,4	Эксплуатировалось
13	58	Камовый холм	Песчано-гравийный материал	2,9	-	56,0	-	-
14	54	Озовая гряда	То же	5,15	-	467,0	-	-
15	52	Группа холмов (камов)	"-	2,6	-	48,7	-	-
16	15	Озовая гряда	Песчано-гравийно-галечный материал	13,0	-	-	168,0	-
17	24	Озовая гряда	Среднезернистые пески с гравием и галькой	2,0	-	-	20,0	-

песчаный балласт для дорожного строительства с максимальной глубиной эксплуатации 30 м. Запасы утверждены ТКЗ (№ 526 от 25/УШ 1954 г.) по кат. А+В+С₁ в количестве 2934,5 тыс.м³. На 1/1 1964 г. сумма запасов кат. А+В+С₁ составляет 2192 тыс.м³. Кроме того, в целике вдоль шоссе запасы кат. В+С₁ составляют 172 тыс.м³. Ежегодная добыча составляет 200 тыс.м³ песчаного балласта.

М е с т о р о ж д е н и е В и л л а (46) расположено у восточной граничи площади листа около дороги Петрозаводск - Пряжа и представляет собой озовую гряду северо-восточного простираания, сложенную песчано-гравийными отложениями, участками с примесью валунов. Мощность отложений 15-16 м.

Материал удовлетворяет требованиям для производства морозостойкого гидротехнического бетона, а также для строительства и ремонта дорог. Запасы были подсчитаны на глубину 10,3-12,1 м и утверждены ТКЗ (протокол № 636 от 23/УШ 1957 г.) в следующих количествах: кат. А - 394 тыс.м³, В - 463,3 тыс.м³ и С₁ - 1631,6 тыс.м³. Запасы числятся на балансе. Добыча материала на месторождении не производится.

М е с т о р о ж д е н и е К о р з а (10) расположено близ одноименной деревни, в 1,6 км к западу от ст. Эсойло, средняя мощность полезной толщи 6,5 м, вскрыши - до 0,4 м. Запасы кат. С₁, числящиеся на балансе, но не утверждение ТКЗ, составляют 1032 тыс.м³, в том числе песков и гравия 756 тыс.м³, валунов - 276 тыс.м³.

М е с т о р о ж д е н и е С а в а л а (8) расположено вблизи (к юго-западу) от месторождения Эсойло. Средняя мощность полезной толщи 8,6 м, вскрыши - 0,6 м. Выход песчаной фракции 46%, гравия - 18%, валунов - 21% и загрязнение - не более 2%. Запасы, числящиеся на балансе, но не утверждение ТКЗ, составляют по кат. С₁ - 715 тыс.м³ и С₂ - 624 тыс.м³.

П р о ч и е п о р о д ы

Минеральные краски

Минеральные краски на территории листа Р-36-ХII представлены красящими песками и глинами (земельными красками), болотными железными рудами иогенного происхождения и пигментированным торфом. По содержанию окиси железа и по цвету пигмент красящего сырья представлен марсами темными и светлыми, умбкой жженой, архангельской коричневой и сиеной. На карту полезных ископаемых

Таблица 2

№ п/п	№ по карте	Название месторождения	Мощность, м	Содержание пигмента, %	Колер пигмента	Запасы	Примечание
1	2	3	4	5	6	7	8
I	57	Пряжинское	0,2-1,80	13,85-96,28	Марсы светлый и темный архангельская коричневая, умбра жженая, феодосийская коричневая	Балансовые на 1/1 1964 г. А+В+С ₁ - 19 тыс.т, С ₂ - 0,7 тыс.т. Забалансовые 50 тыс.т	Не утверждены ТКЗ
2	47	Руозмеручайское	0,3-1,15	77,7	Марс светлый, охры	Балансовые на 1/1 1964 г. А+В+С ₁ - 4,4 тыс.т. Забалансовые - 5,6 тыс.т	Утверждены ТКЗ № 648 от 1956 г.
3	60	Святозерское	0,05-1,40	70,0	Марс, охра, умбра	Балансовые на 1/1 1964 г. А+В+С ₁ - 9,5 тыс.т. Забалансовые - 0,8 тыс.т	Не утверждены ТКЗ

Продолжение табл.2

I	2	3	4	5	6	7	8
4	40	Близ устья р.Маньга	0,50	83,94-85,0	Марс коричневый и светло-коричневый	1400 м ³	Не утверждены ТКЗ
5	62	Верхневажинское	0,25-1,55	39,74	Марс светлый и темный	Запасы С ₂ - 1400 м ³	То же
6	39	В районе д.Киндасово	0,15	48,0-47,2	Марс светлый	300 м ³	-"-
7	34	На берегу оз.Вагат	0,15	30,0-77,0	Марс светлый	450 м ³	-"-
8	59	Лесобиржа	0,20	32,47	Марс светлый, умбра жженая	600 м ³	-"-
9	56	Сухое	0,20	39,0-88,0	Марс	500 м ³	-"-

листа Р-36-ХII нанесены II месторождений минеральных красок. Разделенным, числящимся на базансе и мотушами служить сырьевой базой для завода художественных красок являются средние по размерам месторождения Половинное (45) и Пряжинское (57), а также мелкие месторождения Святозерское (60), Руоземерчайское (47) и Верхневажинское (62). Из них лишь одно Половинное месторождение эксплуатируется Ленинградским заводом художественных красок. Большая же часть мелких месторождений (34, 39, 40, 55, 56, 59) характеризуется небольшими запасами и значительной удаленностью от путей сообщения и населенных пунктов, что исключает возможность их промышленного использования в настоящее время.

Наиболее крупным является Полювиинское месторождение (45). Оно расположено вблизи с.Полювина и приурочено к третьей террасе р.Шуи. Земляная краска залегает под тонким растительно-почвенным слоем, мощностью 0,1-0,5 м, на флювиогляциальных и аллювиально-делювиальных отложений четвертичного возраста. Мощность слоя земляной краски от 0,1 до 0,5 м (в среднем 0,82 м). Красильное сырье состоит из гидратных соединений железа, небольшого количества песка и органических примесей. Непосредственно под земляной краской лежит красящий песок от красновато-коричневого до желтовато-коричневого цвета с травянистым, гальковым и единичными валунами. Мощность слоя от 0,2 до 0,7 м. Выделены следующие типы пигmenta: марсы светлый и темный, архангельская коричневая и умбра жженая. Содержание пигмента в сырье высокое (около 60%). Запасы, установленные ТКЗ (№ 859 от 1960 г.) составляли по кат. А+В+С1 - 34,9 тыс.т. Балансовые запасы на 1/1 1964 г. составляют 34,73 тыс.т кат. А+В+С1. Задалансовые запасы - 5,04 тыс.т. Числящиеся на базансе запасов Святозерское (60), Руоземерчайское (47), Пряжинское (57) и Верхневажинское (62) месторождения имеют аналогичное геологическое строение. Сведения по ним, а также по остальным мелким месторождениям (40, 39, 55, 34, 59, 56) сведены в табл.2.

ОБЩАЯ ОЦЕНКА ПЕРСПЕКТИВ МИНЕРАЛЬНОСЫРЬЕВОЙ БАЗЫ РАЙОНА

Черные метали. Наиболее продуктивными породами с точки зрения концентратций в них магнетитового и титаномагнетитового оруденения являются железистые кварциты Межозерской свиты и протерозойские основные породы (диабазы, габро-

диабазы, габбро-нориты). Из них наиболее перспективными являются железистые кварциты зоны Киндасово-Магла, в пределах которых возможно нахождение участков со значительными концентрациями железа. С этой целью в пределах этой зоны рекомендуется установка наземных магнитометрических и буровых работ. Нахождение в диабазах, габбро-диабазах и габбро-норитах промышленных скоплений железа маловероятно, так как все известные до сих пор магнитные аномалии на территории листа Р-36-ХХЛ проверены с помощью бурения, и заслуживающих внимания содержаний железа в них не обнаружено.

С т р о и т е л ь н ы е м а т е р и а л ы . Валунно-галько-травянисто-песчаные и гравийно-песчаные отложения четвертичного возраста в пределах территории листа имеют практически неограниченные запасы как за счет дозревших ранее известных месторождений, так и за счет изучения новых площадей. Последние распространяются следующим образом: 1) северо-восточное побережье оз. Сямозера (Лахта — Чумиаволок — Погья — Лахта); 2) юго-восточное побережье оз. Сямозера (Чуралахта — Сямозеро — Амека);

3) полоса Корза – Рубчейла – Нижняя Салма – Новая Салменица – Родин-Ярви; 4) район Симановой сельти и Кутчозера; 5) район Ритсельти; 6) район Тукия – Верхний Олонец – оз. Пряжинское.

Линия в Кесилье ~~Кирилловске~~ может быть увеличена как за счет разведки в районе Вагатозера, так и доразведки площадей, прилегающих к Киндасовскому месторождению (37), на базе которого возможна организация кирпичного

Месторождения красильного сырья, известные в настоящее время, могут служить сырьевой базой для завода малярных красок, строительство которого намечается в г.Петрозаводске.

В пределах территории листа имеются перспективы для освоения каменно-строительных материалов (гранитов, диабазов, габбро-диабазов, песчаников и кварцито-песчаников, платиоклазовых породитов).

Граниты отмечаются в 3 км юг-юго-западнее ж.-д. ст. Кутыжма оз. Тереклими на площади около 1 км². Возраст их нижнеопротерозойский. Вопрос об использовании гранитов в качестве строительного материала требует специального изучения. Предварительные физико-механические испытания отдельных образцов гранитов показывают, что водопоглощение их равно 0,4% (по ГОСТу не более 0,5%), а объемный вес 2,64 г/см³ (по ГОСТу не менее 2,3 г/см³). Эти качества позволили бы использовать их на бут и щебень, а отдельные монолиты могли бы пойти на изготовление штучных камней.

Диабазы и габбро-диабазы распространены в районе довольно значительно. Наиболее благоприятными условиями как в отношении мощности вскрыши (2–3 м), так и в отношении транспортировки камня характеризуется участок горы Чевак-вара, расположенный в 8 км на запад-юго-запад от ж.-д. ст. Падозеро. Камень может быть использован в камнедобывающем производстве, а также для получения щебня и бута. Объемный вес и водопоглощение, определенные в отдельных образцах, характеризуются соответственно ширинами 2,64–3,03 г/см³ и 0,1–0,4%. Запасы могут быть значительными. Плагиоклазовые порфириты, отмеченные в 1,5 км на восток–северо-восток от ж.-д. ст. Падозеро в виде гряды протяженностью 400 м при ширине 100–200 м и высоте 6–10 м, обладают хорошими декоративными свойствами. На фоне тонкозернистого диабаза темно-серого цвета четко выделяются порфировые вкрапленники размером до 2–3 см по длиной оси серовато-зеленого плагиоклаза. Развитие четырех систем трещин отдельности облегчает возможность получения блоков для изготовления штучных камней различного назначения. Запасы могут быть также значительными.

Песчаники и кварцито-песчаники зафиксированы в юго-восточ-
ной части территории листа Р-36-ХХI на двух разобщенных участ-
ках (Кашканском и Важенском) и относятся к южинской свите
верхнего протерозоя. Цвет их серый, розовый, малиновый, вишне-
вой. Мощность прикрывающего их чехла ледниковых отложений не
превышает 2-3 м. Породы могут быть использованы в качестве стро-
ительного камня для изготовления щебенки, а также для изгото-
ления крупных облицовочных плит и блоков. Объемный вес их –
2,66 кг/см³, а водопоглощение 0,15%. Запасы могут быть значитель-
ными. Вопрос об использовании их требует также дальнейшего изу-
чения.

Среди образований южинской свиты на р.Важенке выявлены
контроллераты, мощность пласта которых около 65 м. Эти контролле-
раты могут оказаться золотоносными, в связи с чем необходимо
привести их изучение.

В дальнейшем необходимо заняться изучением пород шуйской и петрозаводской свит (кварцито-песчаников, глинистых сланцев и др.), песчаников и конгломератов гловского горизонта и доладайской коры выветривания с точки зрения ураноносности этих пород.

На территории листа Р-36-ХП наблюдается развитие значительных толщ коры выветривания (мощность до 68 м). Имеется предположение, что перекрывающие их отложения в значительной мере

образованы за счет материала коры выветривания. В то же время при определенных условиях мог идти процесс дальнейшего разложения продуктов коры выветривания и их перерождение в более грубые депрессии древнего кристаллического фундамента, которые могли служить своеобразными "кладовыми" для полезных ископаемых (каолинита и др.). С целью обнаружения таких месторождений в последнее время успешно применяются геофизические методы поисков, такие как электроразведка (метод вертикального электроздонирования) и сейсморазведка. Причем, первый дает хорошие результаты в случае, если понижения имеют удлиненную вытянутую форму (например, предглинтовая депрессия северо-западнее и западнее от Олонецкой возвышенности в юго-восточной части территории). В юго-западной же части, где, судя по рельефу, можно ожидать понижения в виде западин, карманов, более целесообразной является постановка сейсморазведочных работ.

ПОДЗЕМНЫЕ ВОДЫ

На территории листа Р-36-ХХII подземные воды распространены как в четвертичных отложениях, так и в породах архея и протерозоя.

Воды четвертичных отложений. Четвертичный водоносный комплекс здесь имеет повсеместное развитие. Он включает в себя подземные воды моренных, межморенных, флювиогляциальных, морских, после- и позднеледниковых озерных и аллювиальных отложений, а также воды торфянников.

Среди ледниковых отложений водоноса лишь супесчано-песчаного состава верхнечетвертичного времени. Морены нижне- и среднечетвертичного возраста в силу своего глинистого состава не водоносны и практически являются водоупорами. Водоносность супесчано-песчаной морены характеризуется лебитами от 0,03 до 0,5 л/сек при мощности обводненного горизонта 0,5-1,5 м. Статистические уровни устанавливаются на глубине от 0,0 до 5 м. Наиболее водобильными являются среднезернистые и крупнозернистые пески Ижемского и Онежско-озерского межледниковых. Разобщенные и перекрытые водоупорными глинистыми отложениями на

отделенные водоносные горизонты, они обладают гидростатическим напором. Пьезометрические уровни по отдельным скважинам устанавливаются от 10 до +3,25 м. Дебиты изменяются от 0,5 до 2 л/сек, а удельные лебиты колеблются от 0,1 до 0,5 л/сек. Водоносными среди после- и позднеледниковых отложений являются пески от тонко- до среднезернистых, супеси и ленточные глины. Подземные воды в них имеют безнапорный характер. Средние водопритоки колеблются от 0,2 до 0,4 л/сек. Грунтовые воды в торфах залегают на глубине от нуля до 0,3 м. Водоприток из них не превышает 0,1-0,2 л/сек.

Питание вод четвертичных отложений осуществляется за счет атмосферных осадков. По химическому составу подземные воды углtrapресные и пресные, преимущественно гидрокарбонатные, кальциевые.

Воды архейских и протерозойских пород. В осадочно-эффузивных и изверженных породах архея и протерозоя подземные воды проникают в их верхней трещиноватой части. Она ограничивается глубиной 120-150 м. Наиболее интенсивная зона трещиноватости наблюдается в поверхностной части кристаллических пород, до глубины 10-70 м. Воды трещиновой зоны различных пород гидравлически связаны между собой и образуют единый водоносный горизонт, что подтверждается не только повсеместным их распространением, но и закономерным расположением уровня данного водоносного комплекса, снижающихся от более высоких участков рельефа к более низким.

Подземные воды преимущественно насыщенные. Обусловлено это тем, что кристаллические породы повсеместно перекрыты четвертичными, нередко глинисто-суглинистыми водоупорными отложениями, а также тем, что на большей части территории они залегают ниже местных эрозионных уровней.

Обычно пьезометрические уровни напорных вод устанавливаются на глубине от 0,0 до 34 м. В ряде случаев (у сел Манга, Кин-ласово, Кутчево и на р. Важенка) скважины, вскрывшие подземные воды, самоизливаются, а пьезометрические уровни воды смыли зафиксированы на высоте от 0,34 до 14 м и выше поверхности земли. Высота напора колеблется от нескольких метров до 100 м и более.

В пределах наиболее возвышенной юго-восточной части территории, так называемой Олонецкой возвышенности, подземные воды имеют свойства грунтового потока и залегают на глубине от 19 до 59 м.

х/ Раздел составлен А.А.Касаткиным.

поров, заключаются в химическом составе воды и водопротоке.

Среди архейских и протерозойских пород наиболее водообильными являются граниты рапакиви, доломиты и сланцы туломозерской свиты, шунгитовые сланцы и туфогенные породы заонежской свиты. Дебиты, полученные при откачках из скважин, пройденных в этих породах, колеблются от 0,82 до 6 л/сек при понижении уровня воды от 0,62 до 11,5 м. Удельный дебит не выходит за пределы 0,05 л/сек, а в среднем, равен 0,3 л/сек. В отдельных случаях он равен 3 и 10 л/сек.

Сравнительно меньшей и различной водообильностью отличаются песчаники и кварцито-песчаники шуйской, петрозаводской и шокшинской свит. Так, скв. у с. Рабочий Поселок оказалась практической безводной, а скв. у с. Половина обеспечила при понижении на 45 м дебит в 0,66 л/сек, соответственно чему удельный дебит равен 0,014 л/сек. Однако на отдельных участках эти отложения отличаются высокой водообильностью, что подтверждается исследованиями на территории соседнего листа Р-36-ХШ, где дебит отдельных скважин достигает 12 л/сек (Кайрак, 1960).

Водообильность метадиабазов характеризуется данными откачки из скв. у пос. Верхневажинского. При понижении уровня воды на 23,3 м из скважин был получен дебит в 0,52 л/сек. Более низкая водообильность характерна для мелко- и среднезернистых гранитов. Дебиты скв. у пос. Новая Речка и д. Сапозеро, вскрывшие воды в этих породах, не превышают 0,24–0,45 л/сек при понижении соответственно на 26 и 40 м. Весьма слабо водообильны гнейсо-гранодиориты, габбро-диабазы и породы межозерской свиты: амфиболиты, кристаллические сланцы, железистые кварциты. Дебиты скважин, пройденных в этих породах, не превышают сотых долей л/сек.

По химическому составу подземные воды коренных кристаллических пород слабо минерализованы, пресные, преимущественно гидрокарбонатно-кальциевые, реже гидрокарбонатно-хлоридные и сульфатные.

В заключение обзора подземных вод можно сделать вывод, что наиболее водообильными и перспективными для целей водоснабжения являются межморенные отложения, представленные среднезернистыми и крупнозернистыми песками, песчаники шуйской, петрозаводской, шокшинской и доломиты туломозерской свит, а также граниты рапакиви.

ЛИТЕРАТУРА

О ПУБЛИКАЦИЯХ

Библиков Е.В., Тутаринов П.И., Зиновьев С.Н., Мельников Г.П. О возрасте Карельской формации. Геохимия, № 8, 1964.

Бискуп Т.С. Четвертичные отложения и геоморфология Карелии. Госиздат КАССР, 1959.

Бутенев Н. Геогностическое обозрение западного берега Онежского озера. Геол. журн., ч. I, 1830.

Бутий Р.В. Органические остатки в протерозойских отложениях Южной Карелии. Тр. Карельского филиала АН СССР, вып. XXII, 1960.

Галобина Л.П. Литологические особенности и условия образования иотийских песчаников и кварцито-песчаников Карелии. Сб. статей молодых научных сотрудников Ленинградских теол. учрежд. АН СССР, вып. I, М.-Л., 1958.

Галдобина Л.П. Кварцито-песчаники и песчаники Прионежья. Техн.-эконом. бюлл. Кар. Совнархоза, № 4, 1958.

Галдобина Л.П. Иотийские образования района Присиеняя Карельской АССР. Изв. Карельского и Кольского филиала АН СССР, № 5, 1958.

Гельмерен Г.П. Теологическое исследование Олонецкого горного округа, произведенное в 1856, 1857, 1858 и 1859 гг., Горн. журн., кн. ХII, 1860.

Теология СССР. Том XXXVII (Карельская АССР), ч. I и II, Тосгоотехиздат, 1960.

Гильярова М.А. Спилиты Кончозерского района Карело-Финской ССР. Изд. ЛГУ, 1941.

Гильярова М.А. К стратиграфии и тектонике Карельской формации Центральной Карелии. Ученые записки Лен. гос. пед. ин-та, т. 72, 1948.

Гильярова М.А. Стратиграфическое положение Суйсарского вулканического комплекса. Уч. зап. ЛГУ, № 209, сер. геол. наук, вып. 7, 1956.

Зембичий Я. О шокшинских и соломенских камнях. Тр. СПБ. Мин. об-ва, т. I, 1830.

Зембичий Я. Ф. Четвертичная геология Карелии. Изд.

Иностранцев А.А. Геологический очерк Повенецкого уезда Олонецкой губернии и его рудных месторождений. Маг.

по геол. России, т. III, 1877.

К а й р я к А.И. Бессовецкая свита – новая осадочная толща в составе протерозоя Южной Карелии. Тр. Карельского филиала АН СССР, вып. XXII, Петрозаводск, 1960.

К а й р я к А.И. Бессовецкая свита как новая стратиграфическая единица протерозоя Южной Карелии. Тр. Ленинград. об-за естествопытателей. том I, XXIII, вып. I, изд. ЛГУ, 1963.

К о м а р о в В.И. Геогностические примечания к карте Олонецкого горного округа. Горн. журн., ч. I, 1842.

К о м а р о в В.И. О строительном материале Олонецкой губернии. Горн. журн. № 10, 1851.

К о п е л и о в и ч А.В., С и м а н о в и ч И.М. Стадии и этапы преобразования южно-ионийских пород. Бюлл. МИГР, 1964.

К р а т п К.О. Геология Карелии. Карелии. Изд. Акад. наук СССР, М.-Л., 1963.

Л е в и н с о н – Л е с с и н г Ф.Ю. Олонецкая диагазовая формация. Тр. СПБ об-за естествопыт., т. XIX, 1888.

М и х а й л ю к Е.М., Г а л д о б и н а Л.П., А л е к - сеева В.С., Э к м а н И.М. Государственная геологическая карта масштаба 1:200 000. Серия Карельская, лист ХХШ. Объяснительная записка, 1964.

М у р ч и с о н Р.В. Геологическое описание Европейской России и хребта Уральского. Горн. журн., 1846.

П а х т у с о в а Н.А. Результаты глубокого бурения в Юго-Западном Прионежье. Матер. по геол. полезн. ископ. Северо-Запада РСФСР, вып. 3., 1962.

П е р е в о з и к о в а В.А., П е т р о в а Е.А. Государственная геологическая карта масштаба 1:1 000 000, лист Р-35, З6 (Петрозаводск). Объяснительная записка. Гостехиздат, 1959.

П о к р о в с к а я И.М., Ш е п у к о в а В.С., З е м - л я к о в Е.Ф. Новые данные о позднеледниковом морском Балтийско-Беломорском соединении. Тр. Сов. секц. МАИЧЕ, вып. 5, 1941.

П о л к а н о в А.А. Геология хотландия-иотния Балтийского щита и проблема докембрейского перерыва, Изв. АН СССР, сер. геол., № I, 1956а.

П о л к а н о в А.А. Геология хотландия-иотния Балтийского щита. Тр. лабор. геол. докембр., вып. 6, 1956б.

П о л к а н о в А.А., Г е р л и н г Э.К. Теорхронология и геологическая эволюция Балтийского щита и его складчатого образования. В сб.: "Вопросы геохронологии и геологии." Тр. лабор. докембр., вып. 12, 1961.

С о к о л о в Б.С. О возрасте древнейшего осадочного покрова Русской платформы. Изв. АН СССР, сер. геол., № 5, 1952.

С у д о в и к о в Н.Г. Геологический очерк юго-западного побережья Онежского озера. XVII сесс. Межд. геол. конгр. Северн. экскурс., Л., 1937.

С у д о в и к о в Н.Г. Обзор стратиграфии, тектоники имагматической деятельности докембра Карельской АССР. Страграфия СССР, т. I, Докембр, Изд. АН СССР. 1939.

Т и м о ф е е в В.М. Геологический очерк бассейна р. Свири и западного и северо-западного побережья Онежского озера. Перв. Всерос. геол. съезд, Лг., 1-12 июня 1922 г. Путев. геол. экскурс., 1922.

Т и м о ф е е в В.М. Предварительный отчет о геологических исследованиях в районе Онежско-Ладожского водораздела летом 1923 г. Изв. Геол. ком., т. 43, № 7, гл. XXX, 1924.

Т и м о ф е е в В.М. Каменные строительные материалы Прионежья, ч. I. Кварцито-песчаники. Изд. КЕЛС АН СССР, 1927.

Т и м о ф е е в В.М. Карта каменных строительных материалов Прионежья. Тр. Лен. геол. разн. Треста, вып. I, 1932.

Т и м о ф е е в В.М. Петрограffiti Карелии. Изд. АН СССР, М., 1935.

Т у г а р и н о в А.И., З и к о в С.И., Б и д и - к о в Е.В. Основные определения абсолютного возраста осадочных пород Свищово-урановым методом. Геохимия, № 3, 1963.

Ш а т с к и й Н.С. О границе между палеозоем и протерозоем и о рифейских отложениях Русской платформы. Изв. АН СССР, сер. геол., № 5, 1952а.

Ш а т с к и й Н.С. О древнейших отложениях осадочного чехла Русской платформы и об ее структуре в древнем палеозое. Изв. АН СССР, сер. геол., № I, 1952б.

Я к о в л е в а В.В., С а з и н а А.М. Геологическая карта СССР масштаба 1:200 000, лист Р-36-XVI. Серия Карельская. Объяснительная записка. Гостехиздат, 1962.

Е ск о л а Р. On the petrology of Eastern Fennoscandia. Fennia, 45, № 19, 1925.

Н у у р р а Е. Itämeren historia u usimpien Itä-Karjala-sa suoritettujen tutkimusten valossa. Terra, № 3-4, 1943.

М а р м о V. Ein vulkanischer Komplex der früh-jotnischen Zeit bei Suolu in Ost-Karelien. Annales academie scientiarum Fenniae, ser. A. III, Geologica-Geographica, 1949.

M ö l d e r K. Das Karellische Eismeer im Lichte der fossil Diatomeneinfunde. Bull. Comm. Géolog. de Finl., № 132, 1944.

Фондовая

Алекеева В.С. Отчет о поисково-разведочных работах по выяснению природы Крошиозерской аномалии (1952-1955 гг.). Фонды СЗГУ, 1953.

Бerezkina Г.А. Заключение о результатах бурения разведочных на воду скважин № 4, 5 на территории пос. Пряжа, Пряжинского района КАССР. Фонды СЗГУ, 1958.

Бerezkina Г.А. Заключение о результатах бурения разведочно-эксплуатационной на воду скважины № 1 на территории промплощадки МВО-МВД (24 км шоссе Петрозаводск - Пряжа). Фонды СЗГУ, 1959.

Биск Г.С. Геология четвертичных отложений южной и восточной Карелии. Отчет по работам, проведенным в 1951-

1952 гг. Фонды Института геологии (г.Петрозаводск), 1953.

Вильеский А.М., Зуммер А.К. Отчет Кинда-совской геологопримывской партии о работах, проведенных по изучению Восточно-Маньгинской и Пряжинской (Пелдожской) магнитных аномалий в 1949-1950 гг. Фонды СЗГУ, 1950.

Талобина Л.П. Литология южнокарельских отложений, Дисс. на соискание уч. степ. канд. геол. мин.-наук. Фонды Ин-

ститута геологии. Петрозаводск, 1959.

Изотова Е.М., Делескевич Л.Ф. Геологическое строение и гидротектонические условия территории, прилегающей к западному побережью Онежского озера и верхнему течение р. Свири. Отчет партии № 631 за 1957 г. Фонды СЗГУ, 1958.

Кабанов И.С. Отчет о работе Пряжинской геофизи-

ческой партии в 1945 г. Фонды СЗГУ, 1946.

Кайрак А.И., Экман И.М. и др. Отчет о поисково-съемочных работах масштаба 1:500 000, проведенных Петроводской партией в районе г.Петрозаводска в 1959-1960 гг. Фонды СЗГУ, 1960.

Кратц К.О. Геология и петрология основных пород южнокарельской платформы Карелии. Дисс. на соиск. уч. степ. канд. геол.-мин. наук. Фонды Института геологии (г.Петрозаводск), 1950.

Михаилов Е.М., Баранов А.И. Отчет о геологических съемочных работах Южно-Петрозаводской партии в Прионежском и Кондопожском районах КАССР летом 1949. Фонды СЗГУ, 1950.

Морозов М.И., Сиромятник Н.Д. Отчет о поисково-съемочных работах Ладинской партии масштаба 1:200 000, проведенных в южной части Прионежского района КАССР в 1959 г. Фонды СЗГУ, 1960.

Намюшко В.Н., Смирнов Б.И., Суди - славлев К.К. Отчет о поисково-разведочных работах в Маньгинском районе КАССР. Фонды СЗГУ, 1946.

Покровская И.М., Семенова А.Ф. Отчет о работах, произведенных летом 1935 г. в Южной и Юго-Восточной Карелии, в западной части 54-го листа и восточной части 40-го листа десятиверстной карты. Фонды СЗГУ и ВСЕМ, 1935.

Покровская И.М. Отчет о работах Карельской четвертичной партии. Фонды СЗГУ и ВСЕМ, 1937.

Попова В.А., Лапенко Л.Г., Костен - ко И.Ф. Отчет о геологосъемочных и поисковых работах на гематит в Прионежском, Петровском и Медвежегорском районах КФССР в 1953 г. Фонды СЗГУ, 1954.

Поротова Г.А., Суслеников В.В. Отчет о результатах аэрогеодизической съемки территории КАССР за 1959 г., Фонды СЗГУ, 1960.

Симанович И.М. Постседиментационные преобразования пород Покшинской свиты (Карелия). Дисс. на соиск. учен. степ. канд. геол.-минер. наук. Москва, 1964 г. Фонды геол. ин-та Акад. наук СССР.

Сипакова М.С. Отчет о результатах аэрогеодизических исследований в Карельской АССР и восточной части Архангельской обл. за 1963 г., Фонды СЗГУ, 1964.

Солнишков А.В. Заключение по результатам бурения разведочно-эксплуатационной на воду скв. 32, расположенной пос. Новая Речка Пряжинского района КАССР в 1961 г. Фонды СЗГУ, 1961.

Солнишков А.В. Отчет о результатах работ побурению разведочно-эксплуатационной на воду скв. 63 на ж.-д. ст. Падозеро Пряжинского р-на КАССР в 1962 г. Фонды СЗГУ, 1962.

Суслеников В.В. Отчет Онежско-Ладожской аэромагнитной партии за 1945 г. Фонды СЗГУ, 1946.

Шатанова А.М. Отчет Южно-Карельской экспедиции по проверке Вагозерской и Важозерской магнитных аномалий в Олонецком и Пряжинском районах КФССР. Фонды СЗГУ, 1951.

Экман И.М., Вильтер Ю.А. и др. Отчет о геологических съемочных работах масштаба 1:200 000, проведенных Пряжинской партией в Прионежском и Кондопожском районах КФССР в 1962-1964 гг. Фонды СЗГУ, 1964.

Приложение I

Список

МАТЕРИАЛОВ, ИСПОЛЬЗОВАННЫХ ДЛЯ СОСТАВЛЕНИЯ КАРТЫ ПОЛЕЗНЫХ ИСКОПАЕМЫХ ЛИСТА Р-36-ХКП МАСШТАБА 1:200 000

1	2	3	4	5
1	2	3	4	5
№/п	Фамилия и инициалы автора	Название работы	Год составления материала, или изда-	Местонахождение его фондо-вый номер (П.-Петро-издательства (П.-Петро-заводск, Л.-Ленинград)
1	2	3	4	5
1	Александров В.И., Хетте В.П.	Отчет о поисково-разведочных работах на песчаногравийный материал, проведенных в Пряжинском, Олонецком и Суоярвском районах КАССР (Олонецкая партия) в 1960 г.	1961	Фонды СЗГУ П-752, Л-17893
2	Борисов П.А.	Очерк геологии и полезных ископаемых Олонецкой губернии. Материалы по стат. экон. исследование Олонецкой губернии. Петрозаводск	1910	Фонды СЗГУ
3	Бреслер С.М.	Краткий геолого-экономический обзор полезных ископаемых Карельского административного района, баланс полезных ископаемых по состоянию на 1/1 1960 г.	1961	Фонды СЗГУ П-603, Л-15551
4	Былинкина Е.Н., Покровский С.Д.	Краткая сподка месторождений озерно-золотых золотомарганцевых руд Ленинградской области и КФСР	1949	Фонды СЗГУ Л-8445
5	Виленский А.М., Зуммер А.К.	Отчет Кимасовской геологопоисковой партии о работах, проведенных по изучению Восточно-Маньгийской и Пряжинской (Пелдожской) магнитных аномалий в 1949-1950 гг.	1950	Фонды СЗГУ П-393, Л-10235
6	Вигт К.Н.	Докладная записка в Госплан Карельской республики по разведке болотных и озерных руд в Олонецкой губернии в 1896-1897 гг.	1926	Фонды СЗГУ Л-2217
7	Воскобойников Б.П.	Отчет по работам Сямозерской партии ЛГРГТ	1932	Фонды СЗГУ, П-41, Л-483
8	Гайс Л.И.	Отчет о поисково-разведочных работах на Кимасовском месторождении кирпичных глин в Пряжинском районе КАССР (Задонежско-Пряжинская партия, 1960 г.)	1961	Фонды СЗГУ
9	Г. І.-І.	Геология СССР, том XXXVII, Геология технадат	1960	
10	Гольман Л.И.	Отчет о геологопоисковых работах на песчано-гравийные материалы на участке ст. Эсойло - Новые Пески	1953	Фонды СЗГУ
11	Тольман Л.И.	Отчет о геологоразведочных работах на месторождении песчаного балласта "Эсойло" (Лысые Горы), 1954 г. Лен.филиал Гипротранскарьер	1954	Фонды СЗГУ Л-12416

1	2	3	4	5
12	Елаховская Е.С.	Сводка-кадастр каменно-строительных и декоративных материалов КФССР	1948	Фонды СЗГУ П-347, Л-7948
13		Инструкция по организации и производству геолого-съемочных работ в масштабе 1:200 000 и 1:100 000	1955	Технеол-техиздат
14		Карта железорудных озер Олонецкой губернии и Карельской Коммунны	1921	Фонды СЗГУ П-10, Л-2229
15	Коростовцева Е.А., Панова З.П.	Отчет о геологоразведочных работах на Видимском месторождении доломитов в КФССР	1956	Фонды СЗГУ П-573, Л-14833
16	Кулленкал В.М.	Отчет по обобщению материалов поисков, разведки, промышленной оценки месторождений минерального кра- сочного сырья на территории Северо-Запада РСФСР	1963	Фонды СЗГУ Л-18526
17	Митрофанова З.Т., Глини Карамели Филиппов Г.П.		23	Морозов А.Н.
18	Мордышко А.А.	Странник месторождений строительных материалов Карельской АССР	24	Намошко В.И., Смирнов Б.Н., Судиславлев К.К.
19	Морозов, А.Н., Делюсин В.И., Пьянков О.А.	Отчет о разведке Поло- ниского и Святоозерского месторождений красильного сырья в Карельской АССР в 1956 г.	1956	Тосиздат КАССР
20	Морозов А.Н.	Отчет о поисках красящего сырья в 1956 г. на Онежско-Ладожском перешейке КАССР	1957	Фонды СЗГУ П-615, Л-15253
21	Морозов А.Н.	Проект Северной ПРЛ на поиски и разведку месторождений красящего сырья в пределах Онежско-Ладожского перешейка КАССР на 1958-1959 гг.	1957	Фонды СЗГУ
22	Морозов А.Н., Шокала И.В.	Отчет о разведке Пряжинского месторождения красящего сырья в 1957 г. на территории Онежско-Ладожского перешейка КАССР	1958	Фонды СЗГУ П-619, Л-15712
23	Морозов А.Н.	Отчет о поисках красящего сырья в Вологодской области в 1958-1959 гг.	1962	Фонды СЗГУ
24		Отчет о поисково-разведочных работах в Маньгинском районе КАССР, 1946 г.	1946	Фонды СЗГУ П-283, Л-6918
25		Отчетный баланс запасов доломита для обжига на известь по состоянию на 1/1 1964 г. Мурманская область, КАССР, Ленинградская область, Вологодская область, Архангельская область	1964	Фонды СЗГУ 20-29
26		Отчетный баланс запасов карбонатно-черепичных глин по состоянию на 1/1 1964 г. КАССР и Мурманская область	1964	Фонды СЗГУ 15-91 45-83

1	2	3	4	5
1	2	3	4	5
27	Отчетный баланс запасов песчано-гравийно-галечного материала по состоянию на 1/1 1964 г. КАССР	1964 Фонды СЭГУ 45-83	32 Экман И.М. и др.	Отчет о геологосъемочных работах м-ба 1:200 000, проведенных Пряжинской партией в Прионежском и Кондопожском районах КАССР в 1962-1964 гг.
28	Отчетный баланс запасов минеральных красок по состоянию на 1/1 1964 г.	1964 Фонды СЭГУ 34-14	Архангельская, Вологодская, Новгородская, Ленинградская, Псковская области, КАССР	Отчет о реконструированных и отлобовательских работах на Виданском месторождении доломитов в КАССР в 1951 г.
29	Пекки А.С., Соколов В.А.	1952 Фонды СЭГУ П-432, Л-1113	33 Яриков У.М.	Отчет о геологоразведочных работах на Виданском (Падозерском) месторождении доломитов в 1944-1945 гг.
30	Полтава О.А.	1957 Фонды СЭГУ П-572, Л-15469		
31	Токарский М. Озерные руды окрестностей Сямозера и Кончозера (выписка) Торфяной фонд РСФСР. Ка-рельская АССР	1899 Фонды СЭГУ		
		Гл.управ-ление торфяно-го фонда при Сове-те Мини-стров РСФСР и Институте геологии Кар.фин. АН СССР		

Приложение 2

Список

ПРОМЫШЛЕННЫХ МЕСТОРОЖДЕНИЙ ПОЛЕЗНЫХ ИСКОПАЕМЫХ ПОКАЗАННЫХ НА ЛИСТЕ Р-36-ХП КАРТЫ ПОЛЕЗНЫХ ИСКОПАЕМЫХ МАСШТАБА 1:200 000

№ на карте	Индекс клетки на карте	Вид полезного ископаемого и наименование месторождений	Состояние эксплуатации	Тип месторождения (К-ко-рениное, р-рос-сийское)	№ ис-пользованного материала по списку (прилож. I)
1	2	3	4	5	6
		ГОРЮЧИЕ ИСКОПАЕМЫЕ			
		Т в е р д ы е т о р ю ч и е			
		и с к о п а е м ы е			
		Торф			
9	1-1	Атвенсую	Не эксплуатируется	К	32
		Без названия (1)	ЛОСЬ		
	48	П-4	То же	К	32
	64	ГУ-4	Без названия (2)	-"	K
	63	ГУ-4	Болото № 20	-"	K
	17	1-2	Большое у Корбияри	-"	K
	61	ГУ-2	Важинское	-"	K
	38	П-2	Водусую	-"	K
	18	1-2	Горбун (Загадное Сибирское)	-"	K
	25	1-3	Келмсую	-"	K
	36	П-2	Киндасово	-"	K
	35	П-2	Киндасово I	-"	K
	42	П-3	Койву-Ламбисую	-"	K
	22	1-3	Лагейссую и Дружкассую	-"	K
	30	П-1	Лижесую	-"	K
	41	П-3	Матросы I-II	-"	K

1	2	3	4	5	6
21	1-3	Одчусую	Не эксплуатировалось	К	32
		Паласую (Кузьмисую)	То же	К	32
	43	П-3	Приозерское	-"	K
	20	1-2	Речное	-"	K
	65	ГУ-4	Сумеросую	-"	K
	44	П-3	Шаньгин-Ламбисую	-"	K
	49	П-4	Шуйя	-"	K
	19	П-2	Чиркас	-"	K
	14	1-2	Чувновсую	-"	K
		СТРОИТЕЛЬНЫЕ И ОГНЕУПОРНЫЕ МАТЕРИАЛЫ			
		К а р б о н а т н ы е			
		п о р о д ы			
		Доломит			
	66	1-4	Виданское (Падозерское)	Не эксплуатировалось	К 3,9,12, 15,18, 25,29, 33,34
		Г л и н и с т ы е			
		п о р о д ы			
		Глины кирпичные			
	37	П-2	Киндасовское	Не эксплуатировалось	К 8,17, 18,26, 33
		О б л о м о ч н ы е			
		п о р о д ы			
		Смешанный балласт (песок, галька, гравий, валуны)			
	2	I-1	Антен-Лактинское	Не эксплуатировалось	К 10,18, 33

1	2	3	4	5	6
1	2	3	4	5	6
7	I-1	Близ с.Эсойло	Не эксплуатиро-валось	K 10,18, 33	K 3,10, II,18, 27,33
29	II-1	Близ дер.Угмойла	To же	K 18	
5	I-1	Близ дер.Чукойла	"-	K 18	
28	I-4	В районе оз.Ладозеро	"-	K 13	
53	III-1	Карьер З6 км	"-	K 18,33	
10	I-1	Корза	"-	K 3,10,18, 27,33	
27	I-4	На берегу р.Чевжа.	"-	K 18,33	
16	I-2	Пражинское	"-	K 3,10,18, 27,33	
8	I-1	Савала	"-	K 18,33	
15	I-2	Слангинское	Законсер-вировано	K 18,33	
		Травянисто-лесчаный материал			
46	II-4	Выдла	Не эксплуатиро-валось	K 18,27, 30,33	K 3,16,19, 20,21,22, 28,33
3	I-1	В р-не дер.Алекка.	To же	K 18	
51	III-1	Кутчозеро	"-	K 1,33	
52	III-1	Кийкояла	"-	K 10,18,33	
4	I-1	Мельничный ручей	"-	K 10,18,33	
31	II-1	Ниж.Салма	"-	K 1,33	
33	II-1	Нов.Салменица	"-	K 1,33	
26	I-3	На берегу р.Куттижма	Законсерви-ровано	K 18,33	
58	III-3	Рытосельга	Не эксплуатиро-валось	K 1,33	
54	III-1	Родин-Ярви	To же	K 1,33	
52	III-1	Славе-Ярви	"-	K 1,33	
24	I-3	32 км ж.д. Петрозаводск - Сортавала	"-	K 18,33	

Приложение 3

**СИСТЕМА
НЕПРОМЫШЛЕННЫХ МЕСТОРОЖДЕНИЙ ПОЛЕЗНЫХ ИСКОПАЕМЫХ, ПОКАЗАННЫХ
НА ЛСТИКЕ Р-36-XXII КАРТЫ ПОЛЕЗНЫХ ИСКОПАЕМЫХ МАСШТАБА 1:200000**

СОДЕРЖАНИЕ

№ на кар- те	Индекс на клетки на карте	Вид полезного иско- паемого и наименова- ние месторождений	Состояние эксплуатации	Тип ме- сторож- дения (К-ко- рен- ное, Р-рос- сий- ское) по спи- ску (при- лож. I)	№ ис- пользован- ного мате- риала по спи- ску (при- лож. I)	Стр.
		МЕТАЛЛИЧЕСКИЕ ИСКОПАЕМЫЕ				
		Ч е р н ы е М е т а л л ы				
		Магнетит				
69	III-2	Западно-Маньгинское	Не эксплуа- тировалось	K	5,9, 24,33	
68	II-2	Киндашовское	То же	K	5,9, 24,33	
67	II-2	Северо-Киндашовское	"	K	5,9, 24,33	
		Озерные железные руды				
		Лимонит				
32	II-1	Вагатозерское	Эксплуати- ровалось в петровские времена	K	2,4, 6,14	
I	I-1	Самозерское I	То же	K	2,3,4, 6,7, 14,31	
II	I-2	Самозерское 2	"	K	3,4,6, 7,14, 31	
I2	I-2	Самозерское 3	"	K	3,4,6, 7,14,31	
13	I-2	Самозерское 4	"	K	3,4,6, 7,14,31	